

Учреждение образования  
«БЕЛОРУССКИЙ ГОСУДАРСТВЕННЫЙ ТЕХНОЛОГИЧЕСКИЙ  
УНИВЕРСИТЕТ»

А.И.Клынок, Г.С.Петров

## ФИЗИЧЕСКАЯ ХИМИЯ

Тексты лекций для студентов  
химико-технологических специальностей  
заочной формы обучения

УДК 544(075.8)  
ББК 24.5я7

К 51

Рассмотрены и рекомендованы к изданию редакционно-издательским советом университета

кандидат химических наук, доцент кафедры физической химии

А. Ф. Полуян;  
кандидат химических наук, доцент, заведующий кафедрой

естественнонаучных дисциплин МГВРК Л. А. Тихонова

Рецензенты:

кандидат химических наук, доцент кафедры физической химии БГУ

А. Ф. Полуян;

кандидат химических наук, доцент, заведующий кафедрой

естественнонаучных дисциплин МГВРК Л. А. Тихонова

**Кильюк, А. И.**

К 51      Физическая химия : тексты лекций для студентов химико-технологических специальностей заочной формы обучения / А. И. Кильюк, Г. С. Петров. – Минск : БГТУ, 2006. – 170 с.

ISBN 985-434-651-X

Пособие содержит тексты лекций по основным разделам курса «Физическая химия»: химическая термодинамика (три закона термодинамики, учение о химическом и фазовом равновесии, учение о растворах), электрохимия, химическая кинетика.

Предназначено для студентов химико-технологических специальностей заочной формы обучения.

## ПРЕДСЛОВИЕ

В основу данного пособия положены лекции по курсу «Физическая химия», читаемые авторами на протяжении ряда лет для студентов химико-технологических специальностей заочного факультета Белорусского государственного технологического университета. Необходимость написания пособия продиктована наблюдаемым дефицитом литературы по физической химии, поскольку многие из рекомендуемых обычно литературных источников (например, [1–5]) являются малодоступными как по причине физической изношенности, так и ввиду сравнительно небольших тиражей соответствующих изданий, что в значительной степени осложняет организацию учебного процесса для студентов (особенно заочной формы обучения). К тому же многие учебники по физической химии являются достаточно сложными, не адаптированными для самостоятельной работы с ними студентов-заочников.

Настоящее издание представляет собой попытку восполнить недостаток выпущенной литературой. Книга полностью соответствует образовательным стандартам, типовой программе по дисциплине «Физическая химия», утвержденной 24.05.2001 г. Министерством образования Республики Беларусь (регистрационный № ТД-104/тип), и рабочим программам по данной дисциплине для студентов химико-технологических специальностей высших учебных заведений Республики Беларусь. В ней достаточно подробно и по возможности просто изложены основные разделы физической химии (химическая термодинамика, электрохимия, химическая кинетика), она написана с учетом многолетнего опыта преподавания данной дисциплины в БГТУ. В материале пособия можно довольно легко разобраться самостоятельно после усвоения теоретических основ химии, физики, высшей математики в объеме знаний студентов младших курсов вузов. По мнению авторов, издание данной книги будет способствовать повышению качества подготовки специалистов химико-технологического профиля.

Авторы благодарны рецензентам – доцентам А. Ф. Полуяну и Л. А. Тихоновой, а также профессору Л. А. Башкирову и другим преподавателям кафедры физической и коллоидной химии БГТУ за замечания и предложения, вместе с тем они отдают себе отчет в том, что данная книга не лишена некоторых недостатков. Авторы заранее признательны всем читателям за замечания и предложения, которые, безусловно, будут учтены ими в дальнейшей работе.

© УО «Белорусский государственный  
технический университет», 2006

ISBN 985-434-651-X

## 1. ОСНОВНЫЕ ПОНЯТИЯ ХИМИЧЕСКОЙ ТЕРМОДИНАМИКИ

### 1.1. Основные понятия химической термодинамики

*Физическая химия* – это наука, объясняющая химические явления и устанавливающая их общие закономерности на базе принципов физики и с использованием экспериментальных физических методов.

*Главные задачи* физической химии – изучение и объяснение закономерностей, определяющих направленность химических процессов, скорость их протекания, влияния на эти процессы различных факторов с целью определения условий достижения максимального выхода необходимых продуктов. Одна из важнейших проблем современной физической химии – установление связи между строением вещества и его реакционной способностью.

*Термодинамика* как наука изучает связь между теплотой, работой и свойствами веществ, причем она изучает только макроскопические свойства вне зависимости от пространства и времени. Поэтому в равновесной термодинамике (в отличие от неравновесной) время как параметр отсутствует.

В *общей термодинамике* разрабатываются основные положения термодинамики и ее математический аппарат.

*Техническая термодинамика* представляет собой применение общей термодинамики для исследования явлений, связанных с обменом энергии в тепловой и механической формах; в ней дается теоретическое обоснование принципов конструирования и эксплуатации различных тепловых машин и аппаратов, в т. ч. двигателей внутреннего горения, реактивных двигателей, паросиловых установок, холодильных машин и др.

*Химическая термодинамика* – это раздел термодинамики (и, естественно, физической химии), изучающий химические реакции и физико-химические процессы с помощью термодинамических методов, а также зависимости термодинамических свойств веществ от их состава, агрегатного состояния и внешних параметров – температуры, давления и др. Часто под химической термодинамикой понимают только учение о химическом равновесии, основными задачами которого являются предсказание направления протекания химической реакции, ее выхода и равновесного состава реакционной смеси в зависимости от исходного состава, температуры и давления. При этом учение о химическом равновесии неразрывно связано с термохимией, термодинамикой растворов, учением о фазовом равновесии, термодинамикой поверхностных явлений, учением об электродных потенциалах, статистической термодинамикой и др.

*Термодинамическая система* (основной объект физической химии) – часть окружающего нас мира, включающая в себя совокупность некоторых объектов, выбранная для изучения ее свойств и отделенная от всего остального мира (окружающей среды) реальной или воображаемой границей, называемой границей раздела.

По характеру взаимодействия с окружающей средой системы делят на изолированные, закрытые и открытые. *Изолированная система* не способна обмениваться с окружающей средой ни энергией, ни веществом ( $U, V, m = \text{const}$ ); *закрытая система* может обмениваться с окружающей средой энергией, но не веществом ( $U, T \neq \text{const}, m = \text{const}$ ); *открытая система* способна обмениваться с окружающей средой и энергией, и массой ( $U, V, m = \text{const}$ ). По степени сложности системы различают на *одногенные* (состоящие из одной фазы) и *многогенные* (состоящие из двух и более фаз), а также на *одно- и многокомпонентные*.

Термодинамический *параметр* – определенное свойство системы (температура, давление и т. д.), характеризующее ее состояние. *Экстенсивные* параметры (объем, энергия и т. д.) зависят, а *интенсивные* (температура, давление) – не зависят от массы системы.

Экстенсивные параметры состояния обладают свойством аддитивности, т. е. значение экстенсивного параметра ( $\mathcal{E}$ ) для системы в целом складывается из значений экстенсивных параметров отдельных частей этой системы ( $\mathcal{E}_i$ ):

$$\mathcal{E} = \mathcal{E}_1 + \mathcal{E}_2 + \mathcal{E}_3 + \dots + \mathcal{E}_n. \quad (1)$$

Так, например, масса ( $m$ ) и объем ( $V$ ) системы в целом складываются из масс и объемов отдельных частей системы:

$$m = m_1 + m_2 + m_3 + \dots + m_n$$
$$V = V_1 + V_2 + V_3 + \dots + V_n$$

Интенсивные параметры состояния не являются аддитивными, но обладают следующим характерным свойством. Если система находится в состоянии равновесия, то значения любого интенсивного параметра ( $I_i$ ) в каждой части системы ( $I_i$ ) одинаковы и равны значению этого параметра для системы в целом ( $I_i$ ):

$$I_i = I_{i_1} = I_{i_2} = I_{i_3} = \dots = I_{i_n}. \quad (1.2)$$

Так, если система находится в равновесии, то температура каждой ее части одинакова и равна температуре системы в целом ( $T$ ):

$$T = T_1 = T_2 = T_3 = \dots = T_n,$$

то же можно сказать о любом другом интенсивном параметре состояния системы, например о давлении:

$$p = p_1 = p_2 = p_3 = \dots = p_n.$$

*Состояние системы* – это совокупность ее термодинамических параметров. Параметры состояния могут быть связаны между собой т. н. уравнением состояния, примером которого (для идеального газа) является уравнение Менделеева – Клапейрона  $p \cdot V = n \cdot R \cdot T$ , или  $\mathcal{J}n, p, V, T = 0$ .

Термодинамический *процесс* – это изменение состояния системы, сопровождающееся изменением хотя бы одного ее параметра, который в конце процесса принимает строго определенное значение. Различают *изотермические* ( $T \equiv \text{const}$ ), *изобарические* ( $p \equiv \text{const}$ ), *изохорические* ( $V \equiv \text{const}$ ), *адиабатические* ( $Q = 0$ ), *экзотермические* ( $Q < 0$ ) и *эндо-термические* ( $Q > 0$ ) процессы.

Процессы могут быть *самопроизвольными* (протекающие без вмешательства – подвала энергии – извне) и *несамопроизвольными* (протекающими за счет энергозатрат), *обратимыми* и *необратимыми*. Обратимый термодинамический процесс – это процесс, который может быть проведен в обратном направлении без того, чтобы в системе или в окружающей среде остались какие-либо изменения.

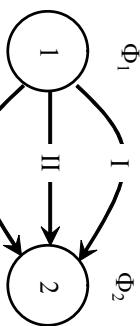
В результате протекания самопроизвольных процессов в любой изолированной системе с течением времени устанавливается *равновесие*, т. е. такое состояние, при котором параметры системы остаются неизменными во времени, причем из состояния *устойчивого равновесия* система без вмешательства извне выйти не может.

*Круговой (циклический) процесс* – процесс, при протекании которого система возвращается в исходное состояние. *Химическая реакция* – разновидность процесса, при котором на-

блюдается изменение химического состава системы.

*Функция состояния* – такое свойство системы, величина которого целиком определяется данным состоянием системы, а ее изменение при переходе системы из одного состояния в другое не зависит от пути перехода,

Рис. 1.1. К определению функции состояния



а определяется только начальным и конечным состоянием системы.

Пусть система переходит из состояния 1 в состояние 2 тремя путями: I, II, III (рис. 1.1). Тогда изменение ( $\Delta\Phi$ ) функции состояния ( $\Phi$ ) равно (1.3):

$$\Delta\Phi_I = \Delta\Phi_{II} = \Delta\Phi_{III} = \Phi_2 - \Phi_1 = \Delta\Phi. \quad (1.3)$$

Функция состояния  $\Phi$  обладает следующими свойствами:

$$\int_1^2 d\Phi = \Phi_2 - \Phi_1 = \Delta\Phi \quad (1.4)$$

$$\Phi = \Phi(x, y), \quad d\Phi = \left( \frac{\partial \Phi}{\partial x} \right)_y dx + \left( \frac{\partial \Phi}{\partial y} \right)_x dy, \quad \frac{\partial^2 \Phi}{\partial x \partial y} = \frac{\partial^2 \Phi}{\partial y \partial x}, \quad (1.5)$$

$$\oint d\Phi = 0, \quad (1.6)$$

где  $d\Phi$ ,  $dx$ ,  $dy$  – бесконечно малые изменения функции состояния  $\Phi$  и ее переменных (параметров)  $x$  и  $y$ .

Функции процесса ( $\Phi\text{II}$ ) характеризуют не состояние системы, а сам процесс и зависит от пути перехода из одного состояния в другое. Бесконечно малое значение функции процесса записывают как  $\delta\Phi$ . Соотношения (1.3)–(1.6) для функций процесса не выполняются, а выполняются (1.7), (1.8):

$$\int_1^2 \delta\Phi\text{II} = \Phi\text{II}, \quad (1.7)$$

$$\oint \delta\Phi\text{II} = \Phi\text{II}. \quad (1.8)$$

## 1.2. Первый Закон Термодинамики. Внутренняя Энергия, Теплота, Работа

*Нулевой Закон Термодинамики* (принцип Фаулера, закон термического равновесия) – две системы, находящиеся в термическом равновесии с третьей, находятся в термическом равновесии друг с другом.

*Первый Закон Термодинамики* – теплота, подводимая к системе, расходуется на изменение внутренней энергии системы и на совершение системой работы над окружающей средой (1.9):

$$\delta Q = dU + \delta A, \quad (1.9a)$$

или

$$Q = \Delta U + A, \quad (1.9b)$$

где  $\delta$  – бесконечно малое изменение функции состояния ( $U$ );

$d \square$  бесконечно малое изменение функции состояния ( $A$ );

$A$  – работа процесса;

$U$  – внутренняя энергия системы;

$\Delta$  – конечное изменение какой-либо характеристики.

Соотношение (1.9a) выражает первый закон термодинамики в дифференциальной, а (1.9b) – в интегральной форме.

*Внутренней Энергии* системы называется сумма всех видов энергии за исключением кинетической энергии системы как целого и ее потенциальной энергии положения.

*Работа и теплота* – не виды энергии, а способы ее передачи, причем под работой понимают передачу энергии в виде упорядоченного (согласованного), а под теплотой – в виде хаотического (несогласованного) движения частиц.

Знаки теплоты и работы в термодинамике определяются направлением передачи энергии:  $\delta Q > 0$ , если теплота поглощается (эндотермический процесс), и  $\delta Q < 0$ , если теплота выделяется системой (экзотермический процесс). Работа считается отрицательной ( $\delta A < 0$ ), если она совершается над системой, и положительной ( $\delta A > 0$ ), если она совершается самой системой над окружающей средой.

Элементарную (бесконечно малую) работу  $\delta A$  часто записывают в виде двух слагаемых (1.10):

$$\delta A = \delta A' + p \square dV, \quad (1.10)$$

где  $\delta A'$  – элементарная полезная работа;

$p \square dV$  – элементарная объемная работа (работа расширения, если она совершается системой над окружающей средой, т. е. против сил внешнего давления).

В общем виде с учетом (1.10) первый закон термодинамики (1.9a) можно записать как (1.11a):

$$\delta Q = dU + \delta A' + p \square dV, \quad (1.11a)$$

и, если  $V = \text{const}$ , т. е.  $p \square dV \equiv 0$ , то

$$\delta Q = dU + \delta A', \quad (1.11b)$$

а в случае, когда полезная работа не совершается, т. е.  $\delta A' \equiv 0$ , то

$$\delta Q = dU + p \square dV. \quad (1.11b)$$

Если система совершает круговой процесс ( $\Delta U = 0$ ), то уравнение (1.9b) примет вид (1.12)

$$Q = A, \quad (1.12)$$

откуда следует невозможность создания вечного двигателя (*perpetuum mobile*) первого рода, т. е. устройства, способного совершать работу без подвода тепла извне (без каких-либо энергозатрат).

### 1.3. Термология процессов при постоянном объеме ( $Q_p$ ) и постоянном давлении ( $Q_V$ ). Связь между $Q_p$ и $Q_V$ для химических реакций

Рассмотрим химическую реакцию. Для нее  $\delta A' = 0$  и первый закон термодинамики имеет вид (1.76). Тогда в случае изохорического процесса ( $V \equiv \text{const}$ ),  $dV = 0$  и из (1.76) получим

$$\delta Q_p = dU. \quad (1.13a)$$

$$Q_p = \Delta U. \quad (1.13b)$$

Таким образом, если реакция протекает при  $V \equiv \text{const}$ , то ее тепловой эффект  $Q_p$  равен изменению внутренней энергии в ходе реакции. Поскольку внутренняя энергия является функцией состояния системы, то  $Q_p$  также приобретает свойства функции состояния системы, т. е. не зависит от пути перехода системы из исходного состояния в конечное.

При изобарическом процессе ( $p \equiv \text{const}$ ),  $p \square dV = d(p \square V)$

$$\delta Q_p = dU + \delta A' + p \square dV. \quad (1.14)$$

Под знаком дифференциала стоит новая функция состояния, которую называют *энталпийей* и обозначают  $H \equiv U + p \square V$ . Тогда

$$\delta Q_p = dH, \quad (1.15a)$$

$$Q_p = \Delta H. \quad (1.15b)$$

Таким образом, тепловой эффект реакции, протекающей при постоянном давлении, равный изменению энталпии  $\Delta H$ , также принимает свойства функции состояния и не зависит от способа перехода от исходных веществ к продуктам реакции (количества стадий процесса).

Рассмотрим реакцию, протекающую при постоянном давлении  $p$ .

По определению  $H \equiv U + p \cdot V$

и

$$dH \equiv d(U + p \cdot V) \equiv dU + p \cdot dV + V \cdot dp \equiv dU + p \cdot dV (p \equiv \text{const})$$

и

$$\Delta H = \Delta U + p \cdot \Delta V. \quad (1.16)$$

Если реакции протекают без участия газообразных веществ (т. е. в твердой или жидкой фазе), то  $\Delta V \approx 0$

и

$$\Delta H \approx \Delta U, Q_p \approx Q_{V^{\square}} \quad (1.17)$$

Если в реакции участвуют газообразные вещества, то, записав уравнения Менделеева – Клапейрона для начального

$$p \cdot V_1 = n_1 \cdot R \cdot T$$

и конечного состояния системы

$$p \cdot V_2 = n_2 \cdot R \cdot T,$$

для процесса, протекающего при  $p, T = \text{const}$ , получим

$$p \cdot (V_2 - V_1) = (n_2 - n_1) \cdot R \cdot T, \quad (1.18)$$

где  $n_1$  и  $V_1$  – исходное количество молей газообразных веществ (исходных реагентов) и их суммарный объем;

$n_2$  и  $V_2$  – конечное количество молей газообразных веществ (продуктов реакции) и их суммарный объем.

$\Delta V$  – изменение объема системы в ходе реакции;

$\Delta n$  – изменение числа молей газообразных веществ в результате одного пробега реакции (1.19):

$$\Delta n = \sum_{\text{прод}} n_j - \sum_{\text{исх}} n_i. \quad (1.19)$$

Один пробег реакции означает, что в ходе реакции превращается такое количество молей реагирующих веществ, которое соответствует их стехиометрическим коэффициентам в уравнении реакции.

Например:



10



Подставляя (1.18) в (1.16), получаем (1.20):

$$\Delta H \equiv \Delta U + \Delta n \cdot R \cdot T, Q_p = Q_{V^{\square}} + \Delta n \cdot R \cdot T. \quad (1.20)$$

## 1.4. Расчет стандартного теплового эффекта химической реакции.

### Закон Гесса, следствия из него

Согласно закону Гесса, полученному экспериментально, тепловой эффект реакции, протекающей при постоянном давлении ( $Q_p = \Delta H$ ) или при постоянном объеме ( $Q_V = \Delta U$ ) и постоянной температуре, определяется только природой и состоянием исходных веществ и продуктов реакции и не зависит от числа и вида промежуточных стадий. Закон Гесса основан на том, что  $Q_p$  и  $Q_V$  равны изменениям функций состояния (см. формулы (1.15) и (1.16)).

Рассмотрим процесс перехода от исходных веществ к продуктам реакции при  $p, T = \text{const}$ . Составим так называемый термохимический цикл (рис. 1.2). Пусть реакцию можно провести III путь I путь,  $\text{путь}$  (II путь) или три (III путь) стадии. Тогда по закону Гесса

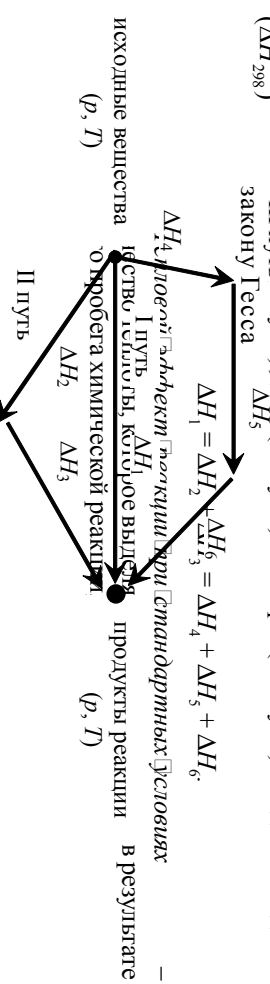


Рис. 1.2. Иллюстрация закона Гесса

Рис. 1.2. Иллюстрация закона Гесса

Реакция протекает при *стандартных условиях*, если все участники реакции – исходные реагенты, и продукты реакции, – находятся в стандартном состоянии. Основным стандартным состоянием газообразных веществ является чистое вещество в состоянии идеального газа с давлением  $p = 1$  атм (101 325 Па), находящееся при любой фиксированной температуре. Для твердых и жидких (конденсированных) веществ основное стандартное состояние – это состояние чистого вещества, находящегося под внешним давлением  $p = 1$  атм при заданной температуре. В определение стандартного состояния фиксированная температура не входит, хотя иногда говорят о г. н. стандартной температуре, равной 298,15 К (округленно 298 К).

Тепловой эффект химической реакции при стандартных условиях можно рассчитать, используя следствия из закона Гесса.

*Первое следствие из закона Гесса:* тепловой эффект реакции равен разности между суммой стандартных теплот образования из простых веществ продуктов реакции и суммой стандартных теплот образования из простых веществ исходных реагентов с учетом стехиометрических коэффициентов (1.21):

$$\Delta H_{298}^{\circ} = \sum_{j=1}^n v_j \cdot \Delta H_{f,298,j}^{\circ} - \sum_{i=1}^m v_i \cdot \Delta H_{f,298,i}^{\circ}, \quad (1.21)$$

где  $\Delta H_{f,298}^{\circ}$  – стандартная теплота образования химического соединения,  $\text{кДж} \cdot \text{моль}^{-1}$ ;

$v$  – количества веществ, соответствующие стехиометрическим коэффициентам участников реакции (индекс  $j$  соответствует продуктам реакции, индекс  $i$  – исходным реагентам), моль.

*Стандартная теплота горения* химического соединения ( $\Delta H_{\text{стор},298}^{\circ}$ ) – это тепловой эффект, сопровождающий процесс окисления 1 моля химического соединения газообразным молекулярным кислородом при стандартных условиях и температуре 298 К с образованием определенных продуктов реакции –  $\text{CO}_{2,\text{газ}}, \text{H}_2\text{O}_{\text{ж}}$  и др.).

$\Delta H_{\text{стор},298}^{\circ}(\text{CH}_4) = -890,31 \text{ кДж} \cdot \text{моль}^{-1}$  – это тепловой эффект реакции окисления 1 моля газообразного метана газообразным молекулярным кислородом с образованием углекислого газа и жидкой воды при стандартных условиях и температуре 298 К:



## 1.5. Термоемкость вещества при постоянном объеме и давлении

Под *термоемкостью* понимают количество теплоты, необходимое для нагревания некоторого определенного количества вещества на 1 К. Различают среднюю и истинную теплоемкость вещества.

*Средняя теплоемкость* вещества определяется соотношением

$$c_{T_1-T_2} = \frac{Q}{T_2 - T_1} = \frac{Q}{\Delta T}, \quad (1.23)$$

тальлических кальция (металл), углерода (графит) и газообразного кислорода при стандартных условиях и температуре 298 К:



*Второе следствие из закона Гесса:* тепловой эффект реакции равен разности между суммой стандартных теплот сгорания исходных реагентов и суммой стандартных теплот сгорания продуктов реакции с учетом стехиометрических коэффициентов:

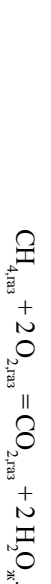
$$\Delta H_{298}^{\circ} = \sum_{i=1}^n v_i \cdot \Delta H_{\text{стор},298,i}^{\circ} - \sum_{j=1}^m v_j \cdot \Delta H_{\text{стор},298,j}^{\circ}, \quad (1.22)$$

где  $\Delta H_{\text{стор},298}^{\circ}$  – стандартная теплота сгорания химического соединения,  $\text{кДж} \cdot \text{моль}^{-1}$ ;

$v$  – количества веществ, соответствующие стехиометрическим коэффициентам участников реакции (индекс  $j$  соответствует продуктам реакции, индекс  $i$  – исходным реагентам), моль.

*Стандартная теплота горения* химического соединения ( $\Delta H_{\text{стор},298}^{\circ}$ ) – это тепловой эффект, сопровождающий процесс окисления 1 моля химического соединения газообразным молекулярным кислородом при стандартных условиях и температуре 298 К с образованием определенных продуктов реакции –  $\text{CO}_{2,\text{газ}}, \text{H}_2\text{O}_{\text{ж}}$  и др.).

$\Delta H_{\text{стор},298}^{\circ}(\text{CH}_4) = -890,31 \text{ кДж} \cdot \text{моль}^{-1}$  – это тепловой эффект реакции окисления 1 моля газообразного метана газообразным молекулярным кислородом с образованием углекислого газа и жидкой воды при стандартных условиях и температуре 298 К:



Под простым веществом в термодинамике понимают вещество, которое состоит из атомов одного рода и находится в том агрегатном состоянии, в котором оно наиболее устойчиво при стандартных условиях и данной температуре (в нашем случае при 298 К). Так, при стандартных условиях и  $T = 298$  К простыми веществами являются газообразный хлор  $\text{Cl}_{2,\text{газ}}$ , жидкий бром  $\text{Br}_{2,\text{ж}}$  и кристаллический иод  $\text{I}_{2,\text{тв}}$ .  $\Delta H_{f,298}^{\circ}[\text{CaCO}_3] = -1206,83 \text{ кДж} \cdot \text{моль}^{-1}$  – это тепловой эффект реакции образования 1 моля кристаллического карбоната кальция из крис-

Если уменьшить интервал температур  $\Delta T$  до бесконечно малой величины  $dT$ , то можно получить выражение для истинной теплоемкости вещества (1.24):

$$c = \lim_{\Delta T \rightarrow 0} \bar{c}_{T_1-T_2} = \lim_{\Delta T \rightarrow 0} \frac{\mathcal{Q}}{\Delta T} = \frac{d\mathcal{Q}}{dT}. \quad (1.24)$$

Различают также удельную и молярную теплоемкости. *Удельная теплоемкость* ( $c_{\text{уд}}^{\circ}$ , Дж · кг<sup>-1</sup> · К<sup>-1</sup>) по величине численно равна количеству теплоты (Дж), необходимому для нагревания единицы массы (1 кг) вещества на 1 К. *Молярная теплоемкость* ( $c$ , Дж · моль<sup>-1</sup> · К<sup>-1</sup>) численно равна количеству теплоты, необходимому для нагревания 1 моля вещества на 1 К.

Поскольку при  $V = \text{const}$   $\delta\mathcal{Q}_V = dU$ , а при  $p = \text{const}$   $\delta\mathcal{Q}_p = dH$ , то для истинных молярных изохорной ( $c_V$ ) и изобарной ( $c_p$ ) теплоемкостей можно записать выражения (1.25) и (1.26):

$$c_V = \frac{\delta\mathcal{Q}_V}{dT} = \left( \frac{\partial U}{\partial T} \right)_V = \frac{dU}{dT}, \quad (1.25)$$

$$c_p = \frac{\delta\mathcal{Q}_p}{dT} = \left( \frac{\partial H}{\partial T} \right)_p = \frac{dH}{dT}. \quad (1.26)$$

В справочниках приведены значения стандартной молярной изобарной теплоемкости вещества ( $c_{p,298}^{\circ}$ ), т. е. теплоемкости 1 моля вещества при стандартных условиях ( $p = 1$  атм) и температуре 298 К, размерностью [ $c_{p,298}^{\circ}$ ] = Дж · моль<sup>-1</sup> · К<sup>-1</sup>.

Теплоемкость вещества зависит от температуры. Для температур выше комнатной температурную зависимость теплоемкости обычно выражают в виде полиномов (1.27):

$$c_p^{\circ} = a + b \cdot T + c \cdot T^2, \quad (1.27a)$$

$$c_p^{\circ} = a + b \cdot T + \frac{c'}{T^2}. \quad (1.27b)$$

На практике температурной зависимостью теплоемкости часто пренебрегают, считая, что в узком интервале температур она практически постоянна, т. е.  $c_p^{\circ} \neq f(T) = c_{p,298}^{\circ}$ .

Из формулы (1.21) легко получить выражение для расчета количества теплоты, необходимого для изобарного нагрева 1 моля вещества от начальной температуры  $T_1$  до конечной  $T_2$ :

$$\mathcal{Q}_p = \Delta H = \int_{T_1}^{T_2} c_p dT = c_p \cdot (T_2 - T_1). \quad (1.28)$$

$T_1 = 298$  К,  $T_2 = T_{\text{И}}$

$$\mathcal{Q}_p^{\circ} = \Delta H^{\circ} = \int_{298}^T c_{p,298}^{\circ} dT = c_{p,298}^{\circ} \cdot (T - 298), \quad (1.29)$$

если нагревают  $n$  моль вещества, то

$$\mathcal{Q}_p^{\circ} = \Delta H^{\circ} = n \cdot \int_{298}^T c_{p,298}^{\circ} dT = n \cdot c_{p,298}^{\circ} \cdot (T - 298). \quad (1.30)$$

## 1.6. Зависимость теплового эффекта химической реакции от температуры. Уравнение Кирхгофа

Тепловой эффект химической реакции зависит от температуры. При  $p = \text{const}$  эта зависимость выражается *уравнением Кирхгофа* (1.31):

$$\left( \frac{\partial \Delta H}{\partial T} \right)_p = \Delta c_p, \quad \text{или} \quad \frac{d\Delta H}{dT} = \Delta c_p, \quad (1.31)$$

где  $\Delta c_p$  – изменение изобарной теплоемкости в результате одного пребыва химической реакции, Дж · К<sup>-1</sup>.

$$\Delta c_p = \sum_{j=1}^m v_j \cdot c_{p,j} - \sum_{i=1}^n v_i \cdot c_{p,i}. \quad (1.32)$$

Если реакция протекает при стандартных условиях, то уравнение Кирхгофа (1.31) имеет вид (1.33):

$$\frac{d\Delta H^{\circ}}{dT} = \Delta c_p^{\circ}. \quad (1.33)$$

где – изменение стандартной изобарной теплоемкости реагентов в результате одного пребыва химической реакции, Дж · К<sup>-1</sup>.

Выражения (1.31), (1.33) называют *дифференциальными формами уравнения Кирхгофа*, а параметр (в общем случае) –

*температурым коэффициентом теплового эффекта химической реакции.*

Рассмотрим выражение (1.33). В зависимости от знака имеют место следующие случаи (рис. 1.3):

1)

Функция  $\Delta H^\circ$  является возрастающей функцией температуры, т. е. в этом случае с ростом температуры увеличивается.

2)

Ситуация обратная: функция  $\Delta H^\circ$  – убывающая функция температуры, т. е. в этом случае с ростом температуры уменьшается.

3)

В этом случае величина теплового эффекта химической реакции  $\Delta H^\circ$  не зависит от температуры (что часто наблюдается для твердофазных реакций).

Для практических расчетов уравнение Кирхгофа надо пронтигрировать, предварительно разделив переменные:

$$\Delta H^\circ = \Delta c_p^\circ > 0$$

$$\Delta c_p^\circ = 0$$

$\Delta c_p^\circ < 0$

При этом получим *уравнение Кирхгофа в интегральной форме:*

$T \square$

Рис. 1.3. Температурные зависимости теплового эффекта химической реакции  $\Delta H^\circ$  при различных знаках

нение Кирхгофа примет вид

$$\Delta H_T^\circ = \Delta H_{298}^\circ + \int_{298}^T \Delta c_p^\circ dT, \quad (1.35)$$

где  $\Delta H_T^\circ$  – тепловой эффект химической реакции при температуре  $T$ ,

– тепловой эффект химической реакции при 298 К (может быть рассчитан по уравнениям (1.21) или (1.22)).

На практике, особенно при вычислениях, в которых не нужна высокая точность, используют следующие приближения:

1) принимают, что

т. е. в результате реакции суммарная теплоемкость веществ не изменяется (иначе говоря, суммарная теплоемкость продуктов реакции равна суммарной теплоемкости исходных реагентов).

Тогда

$$\Delta H_T^\circ \approx \Delta H_{298}^\circ; \quad (1.36)$$

2) считают, что  $\Delta c_p^\circ \neq f(T) = \text{const} = \Delta c_{p,298}$ .

Тогда

$$\Delta H_T^\circ = \Delta H_{298}^\circ + \Delta c_{p,298}^\circ \cdot (T - 298), \quad (1.37)$$

где  $\Delta c_{p,298}^\circ$  – изменение стандартной изобарной теплоемкости в результате одного пробега химической реакции, Дж · К<sup>-1</sup>:

$$\frac{\Delta H_{p,298}^\circ}{\Delta H_{T_1}^\circ} \underset{T_1 \rightarrow T_2}{\underset{\Delta c_{p,T_1}^\circ \text{ значит } \Delta c_p^\circ dT}{\approx}} 0. \quad \Delta c_{p,298}^\circ = \sum_{j=1}^m v_j \cdot c_{p,298,j}^\circ - \sum_{i=1}^n v_i \cdot c_{p,298,i}^\circ. \quad (1.38)$$

Расчет теплот фазовых превращений (испарение, плавление и т. д.) производится аналогично расчету теплового эффекта химической реакции с небольшим отличием. Поскольку теплота фазового превращения рассчитывается на 1 моль вещества (по определению), то она выражается не в кДж (как для теплового эффекта химической реакции), а в кДж · моль<sup>-1</sup>. Так, для процесса



$$\Delta H_{\text{исп.373}}^\circ = \Delta H_{\text{исп.298}}^\circ + \Delta c_{p,298}^\circ \cdot (373 - 298). \quad (1.39)$$

$$\Delta H_{T_1}^\circ = \Delta H_{T_1}^\circ + \int_{T_1}^{T_2} \Delta c_{p,T}^\circ dT. \quad (1.34)$$

Если  $T_1 = 298$  К и  $T_2 = T$ , то уравнение

$$\Delta c_{p,298}^\circ = c_{p,298,\text{H}_2\text{O}_\text{газ}}^\circ - c_{p,298,\text{H}_2\text{O}_\text{ж}}^\circ, \quad (1.41)$$

причем в данном случае  $[\Delta H_{\text{исп.373}}^\circ] = [\Delta H_{\text{исп.298}}^\circ] = \text{кДж} \cdot \text{моль}^{-1}$ ,  $[\Delta c_{p,298}^\circ] = \text{Дж} \cdot \text{моль}^{-1} \cdot \text{К}^{-1}$  (испарение – фазовый переход).

## 1.7. Самопроизвольные и несамопроизвольные процессы.

### Второй Закон Термодинамики

В изолированной системе вследствие отсутствия внешнего воздействия могут протекать только самопроизвольные процессы. На основании первого закона термодинамики нельзя определить возможность протекания процесса и указать условия, при которых наступает состояние равновесия. Ранее (в XIX в.) в качестве критерия возможности протекания самопроизвольных процессов использовали тепловой эффект.

Согласно *принципу Бертио*, самопроизвольно могут протекать только экзотермические ( $\Delta H \leq 0$ ) реакции или процессы. Иногда это действительно так, однако в природе имеется значительное число процессов, протекающих самопроизвольно и сопровождающихся не выделением, а поглощением тепла ( $\Delta H \geq 0$ ): растворение веществ в воде, испарение жидкостей и т. д.

Строгий критерий направленности процессов может быть дан только с помощью *второго закона термодинамики*, вводящего понятие *энтропии*. Существует ряд формул, приводящих к одному и тому же результату.

*Формулировка Клаузиуса:* единственным результатом любой совокупности процессов не может быть переход теплоты от менее нагретого тела к более нагретому.

*Формулировка Томсона (Кельвина):* единственным результатом любой совокупности процессов не может быть полное преобразование теплоты в работу. Иными словами, никакая совокупность процессов не может сводиться только к превращению теплоты в работу, тогда как превращение работы в теплоту может быть единственным результатом процесса (совокупности процессов).

*Формулировка Планка:* в природе каждый физический или химический процесс протекает так, чтобы увеличить сумму энтропий всех тел, участвующих в этом процессе.

*Формулировка Ферри:* состояние с максимальной энтропией является наиболее устойчивым состоянием изолированной системы.

*Формулировка Больцмана:* любой самопроизвольный процесс протекает в направлении, в котором система переходит из менее вероятного состояния в более вероятное.

Математической записью второго закона термодинамики является т. н. *равенство-неравенство Клаузиуса* в дифференциальной (1.42а) или интегральной (1.42б) формах:

$$\Delta S \geq \int \frac{\delta Q}{T}, \quad (1.42a)$$

где  $S$  – новая функция состояния, называемая *энтропией*, Дж. К<sup>-1</sup>;

– элементарная приведенная теплота процесса, Дж; знак «=» относится к обратимым, а «>» – к необратимым процессам.

Согласно Клаузиусу, существует некая величина (термодинамическая функция), которая является функцией состояния и изменение которой для обратимого изотермического процесса равно приведенной теплоте процесса. Эта величина была названа «ентропией».

Термодинамика ничего не говорит о физическом смысле энтропии, связанном с молекулярным строением вещества. Больцман, изучая молекулярно-кинетические свойства газов, показал, что содержание второго закона термодинамики и смысл энтропии целиком определяется атомно-молекулярной структурой вещества и носит статистический (вероятностный) характер. Энтропия является функцией термодинамической вероятности системы:

$$\frac{\delta S}{T} \geq \frac{k \delta \Omega / W}{T}, \quad (1.43)$$

где  $k$  – постоянная (константа) *Больцмана*,  $k = 1,38 \cdot 10^{-23}$  Дж · К<sup>-1</sup>;  $W$  – термодинамическая вероятность системы, показывающая, каким равновероятным числом *микросостояний* может быть реализовано данное *макросостояние* системы.

Уравнение (1.43) носит название *формулы Больцмана*.

Макросостояние – совокупность *макропараметров* (параметров, характеризующих систему в целом, например, давление  $p$ , температура  $T$ ), а микросостояние – совокупность *микропараметров* (параметров, характеризующих отдельные частицы, составляющие систему, например, координаты  $(x_p, y_p, z_p)$  и скорости  $(v_{x_p}, v_{y_p}, v_{z_p})$  этих частиц), характеризующих систему.

Не следует путать термодинамическую вероятность с математической. Математическая вероятность равна отношению термодинамической вероятности к общему числу состояний с одинаковой энергией, она всегда меньше или равна 1; термодинамическая же вероятность равна 1 или больше ее, причем  $W$  для реальных систем, состоящих из большого

числа частиц (атомов, молекул или ионов), выражается достаточно большими числами.

Для изолированных систем ( $\delta Q = 0, Q = 0$ ) второй закон термодинамики может быть записан в виде

(1.44) или

$$(для необратимых процессов), \quad (1.45a)$$

$$(для обратимых процессов) \quad (1.45b)$$

и сформулирован следующим образом: в изолированной системе любой самопроизвольный процесс протекает только с увеличением энтропии и заканчивается тогда, когда энтропия системы  $S$  достигает своего максимального значения (при этом система приходит в состояние равновесия).

Проиллюстрировать все сказанное можно с помощью зависимости энтропии системы  $S$  от пути процесса при  $U, V = \text{const}$  (рис. 1.4). Путь процесса – какая-либо величина, которая изменяется при протекании процесса – поддается экспериментальному определению. Как видно, система может самопроизвольно перейти из А в В ( $A \rightarrow B$ ), а также из С в В ( $C \rightarrow B$ ), тогда как обратные процессы ( $B \rightarrow A, B \rightarrow C$ ) термодинамически невозможны, при этом состояние В является равновесным состоянием системы.

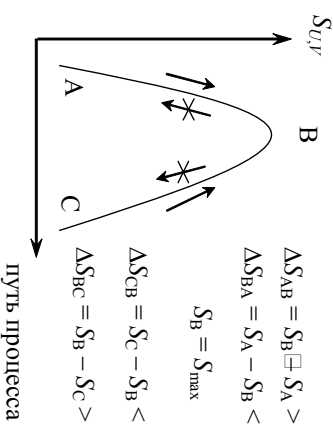


Рис. 1.4. Энтропия как критерий равновесия

и возможность протекания процессов  
в изолированных системах

Таким образом, критерии возможности протекания процессов и равновесия для изолированных систем имеют следующий вид:

процесс термодинамически возможен;  
система находится в равновесии;

процесс термодинамически невозможен.  
или

При этом является условием равновесия (условие экстремума), – условием устойчивости этого равновесия (показывает, что экстремум является максимумом функции).

### 1.8. Расчет изменения энтропии в различных процессах

Переход системы из исходного состояния в конечное может осуществляться различными способами – как обратимо, так и необратимо, при этом реальные процессы протекают, как правило, необратимо (с конечной скоростью). Поскольку энтропия является функцией состояния, ее изменение не зависит от пути перехода системы из одного состояния ( $S_1$ ) в другое ( $S_2$ ):

**При любом пути переходения изменения энтропии в реально протекающем процессе  $\Delta S$  об обратимом процессе ( $\Delta S_1$ ) его необходимо заменить обратимым процессом ( $\Delta S_2$ ) либо суммой нескольких обратимых процессов ( $\Delta S_3 = \Delta S_{\text{необр}} + \Delta S_{\text{обр}}$  считая процессом для отдельных состояний  $(S_1)$  и  $(S_2)$ ), затем просуммировать изменения энтропии для отдельных состояний  $(S_1)$  и  $(S_2)$ , либо процесс обратимо проводится в необратимом порядке  $\Delta S_4$  либо  $\Delta S_5$ .**

Рис. 1.5. К расчету энтропии необратимых процессов

Рис. 1.5. К расчету энтропии необратимых процессов

*Расчет изменения энтропии в процессе фазового перехода.* К фазовым переходам (ф.п.) относят процессы испарения, сублимации, плавления и т.д., которые при постоянном давлении протекают обратимо при постоянной температуре. В ходе обратимо протекающего при  $p$ ,  $T = \text{const}$  процесса

$$\Delta S_{\phi,p} = \frac{Q_{p,\phi}}{T} = \frac{\Delta H_{\phi,p}}{T_{\phi,p}}$$

Если фазовый переход протекает при стандартном давлении  $p = 1$  атм, то

$$\Delta S_{\phi,n}^o = \frac{\Delta H_{\phi,n}^o}{T_{\phi,n}}, \quad (1.46)$$

где  $\Delta H^o$  рассчитывают по формулам (1.39)–(1.41).

*Расчет изменения энтропии при изобарном нагреве (охлаждении) вещества.* При  $p = \text{const}$

$$(1.47)$$

Если  $p = 1$  атм,  $T_1 = 298$  К,  $T_2 = T$ , и  $c_p^o \neq f(T) = c_{p,298}^o$ , то формула для расчета изменения энтропии при нагреве 1 моля вещества имеет вид (1.48):

$$\Delta S^o = S_T^o - S_{298}^o = \int_{298}^T \frac{c_p^o}{T} dT = c_{p,298}^o \ln \frac{T}{298}, \quad (1.48)$$

для расчета изменения энтропии при нагреве  $n$  моль вещества – вид (1.49):

$$\Delta S^o = n \cdot \int_{298}^T \frac{c_{p,298}^o}{T} dT = n \cdot c_{p,298}^o \ln \frac{T}{298}. \quad (1.49)$$

*Расчет изменения энтропии при изохорном нагреве (охлаждении) вещества.* При  $V = \text{const}$

$$\Delta S = S_{T_2} - S_{T_1} = \int_{T_1}^{T_2} \frac{\delta Q_U}{T} = \int_{T_1}^{T_2} \frac{c_V}{T} dT \quad (1.50)$$

и, если  $c_V \neq f(T) = \text{const}$ ,  $T_1 = 298$  К,  $T_2 = T$ , то для расчета изменения энтропии при нагреве  $n$  моль вещества:

$$\Delta S = n \cdot \int_{298}^T \frac{c_V}{T} dT = n \cdot c_V \ln \frac{T}{298}. \quad (1.51)$$

*Расчет изменения энтропии при изотермическом расширении (сжатии) идеального газа.* Подставив выражение (1.42а) в (1.11), получим так называемое обобщенное выражение первого и второго законов термодинамики (1.52):

$$TdS \geq dU + p \cdot dV + \delta A'. \quad (1.52)$$

при этом, если полезная работа  $A' = 0$ , получим (1.53):

$$(1.53)$$

и, выразив из (1.53)  $dS$  для обратимого процесса

$$(1.54)$$

Учитывая, что, согласно (1.25),  $dU = c_V dT$ , а уравнение Менделеева – Клапейрона для 1 моля идеального газа имеет вид  $p \cdot V = R \cdot T$ , при  $T = \text{const}$  (изотермический процесс) получаем

$$(1.55)$$

Интегрируем последнее выражение от  $V_1$  до  $V_2$ :

$$\frac{T_2 dS}{V_2} = \frac{\partial U}{\partial T} + \frac{\partial PV}{\partial T} \frac{\partial S}{\partial P} dT = \int_{V_1}^{V_2} \frac{R}{T} dV = R \cdot \ln \frac{V_2}{V_1}. \quad (1.56)$$

Таким образом, при изотермическом расширении ( $V_2 > V_1$ ) энтропия идеального газа увеличивается ( $\Delta S > 0$ ). Так как при  $T = \text{const}$  для идеального газа справедлив закон Бойля – Мариотта:

$$p \cdot V = \text{const}, \text{ или } \frac{V_2}{V_1} = \frac{p_1}{p_2}, \quad (1.57)$$

то, подставив (1.57) в (1.56), получим (1.58):

$$\Delta S = R \cdot \ln \frac{p_1}{p_2} = -R \cdot \ln \frac{p_2}{p_1}, \quad (1.58)$$

т.е. при изотермическом сжатии ( $p_2 > p_1$ ) энтропия идеального газа уменьшается ( $\Delta S < 0$ ).

Если выразить давление в атмосферах, то при  $p_1 = 1$  атм и  $p_2 = p$

$$\Delta S = -R \cdot \ln p. \quad (1.59)$$

Учитывая, что  $\Delta S = S_2 - S_1 = S - S^o$ , получим (1.60):

(1.60)

Интегрируя (1.63) от  $T = 0$  до  $T$  (К) и, соответственно, от  $S_0^o$  до получаем (1.64):

где  $S$  – энтропия 1 моль идеального газа при давлении  $p$ , атм;

$S^o$  – энтропия 1 моля идеального газа при давлении 1 атм;

$p$  – безразмерная величина, численно равная давлению газа, выраженному в атмосферах.

Если расширению (сжатию) подвергается  $n$  моль идеального газа, то формулы (1.56), (1.58), (1.59) будут иметь вид (1.61):

$$(1.61) \quad S_T^o = \int_0^T \frac{C_p^o}{T} dT.$$

**1.9. Третий закон термодинамики. Постулат Планка.**  
**Абсолютная энтропия вещества, ее экспериментальное определение**

*Третий закон термодинамики* в виде постулата Планка гласит: энтропия идеального индивидуального кристаллического вещества при абсолютном нуле равна нулю и математически записывается как

$$(1.62) \quad \lim_{T \rightarrow 0K} S_T^o = 0, \text{ или } S_0^o = 0.$$

Идеальное твердое тело – это твердое тело с идеальной, бездефектной кристаллической решеткой, термин «индивидуальное» указывает на то, что речь идет не о твердом растворе, в котором даже при нулевой температуре остается некоторый беспорядок. Постулат Планка не выполняется для реальных веществ (криスタлов), поскольку в них, в отличие от идеальных кристаллов, всегда есть примеси и различного рода дефекты кристаллической решетки, и для них даже при  $T = 0$  К энтропия больше нуля.

Постулат Планка можно обосновать с помощью формулы Больцмана (1.43). Действительно, поскольку состояние идеального кристалла можно реализовать единственным способом, то при  $T = 0$  К термодинамическая вероятность системы  $W = 1$ , следовательно,  $S_0^o = 0$ .

Выше было показано, что для обратимых процессов при  $p = \text{const}$

$$(1.63) \quad dS = \frac{C_p}{T} dT, \text{ или } dS^o = \frac{C_p^o}{T} dT \text{ (при } p = 1 \text{ атм).}$$

(1.64)

Согласно постулату Планка,  $S_0^o = 0$ , поэтому для веществ, не претерпевающих фазовых переходов в интервале температур от  $T = 0$  до  $T$ , получаем (1.65):

$$(1.65) \quad S_T^o = \int_0^T \frac{C_p^o}{T} dT.$$

Зависимость  $C_p^o = f(T)$  получают экспериментально, величину интеграла  $\int_0^T \frac{C_p^o}{T} dT$  определяют аналитическим или графическим методом, а наличие точки отсчета  $S_0^o = 0$  позволяет рассчитывать не только изменение энтропии вещества при его изобарном нагреве, но и величину его *абсолютной энтропии*. Если  $T = 298$  К, то

$$(1.66) \quad S_{298}^o = \int_0^{298} \frac{C_p^o}{T} dT,$$

**Задание 1.6.3** Построить график  $S_T^o = f(T)$  для стандартной энтропии вещества  $S_0^o = 0$  и  $T = 298$  К. Показать, что  $S_{298}^o = \int_0^{298} \frac{C_p^o}{T} dT = \frac{1}{2} R \ln \left( \frac{T_{298}}{T_0} \right) + S_0^o$ , где  $R = 8,314 \text{ Дж} \cdot \text{К}^{-1}$  – универсальная газовая постоянная,  $T_0 = 273,15$  К – температура тригонометрического нуля,  $S_0^o = 0$  – стандартная энтропия вещества при  $T = 0$  К.

## 1.10. Расчет изменения энтропии химической реакции при различных температурах

Знание величин  $S_{298}^o$  для химических соединений дает возможность рассчитать изменение энтропии в результате химической реакции напрямую, без использования термохимических циклов:

$$(1.67)$$

где  $\Delta S_{298}^o$  – изменение энтропии в результате одного прохода химической реакции при стандартных условиях и температуре 298 К,  $\text{Дж} \cdot \text{К}^{-1}$ ,

— значения абсолютных молярных стандартных энтропий участников химической реакции,

$\text{Дж} \cdot \text{моль}^{-1} \cdot \text{К}^{-1}$ ;

$v$  — количества веществ, соответствующие стехиометрическим ко-

эффициентам участников реакции (индекс  $j$  соответствует продуктам реакции, индекс  $i$  — исходным реа-

гентам), моль.

Изменение энтропии в резуль-

тате одного пробега химической реакции при любой температуре можно рассчитать при помощи уравнения (1.68):

$$(1.68) \quad \Delta C_{p,T}^o = -\Delta G_{p,T}.$$

в котором  $\Delta C_{p,298}^o$  рассчитывают по формуле (1.38).

Как видно из формулы (1.68) и рис. 1.6, характер зависимости  $\Delta S_T^o = f(T)$  определяется знаком  $\Delta C_{p,298}^o$ , как и характер зависимости  $\Delta H_T^o = f(T)$  (рис. 1.3, формула (1.37)).

## 1.11. Термодинамические потенциалы

Выразим из объединенного выражения первого и второго законов термодинамики (1.52) элементарную полезную работу  $\delta A'$ :

$$(1.69) \quad \delta A' = -dU + TdS - pdV = -dU + d(TS) = -d(U - TS).$$

Под знаком дифференциала стоит новая функция состояния, которую обозначают  $F \equiv U - TS$  и называют *энергией Гиббса или изохорно-изотермическим потенциалом*.

Тогда

$$(1.71a)$$

Рассмотрим обратимый изобарно-изотермический ( $p = \text{const}$ ,  $T = \text{const}$ ) переход системы из одного состояния в другое. При этом

$$(1.72) \quad \delta A' = -dU + TdS - pdV = -dU + d(TS) = -d(U - TS).$$

Под знаком дифференциала стоит новая функция состояния, которую обозначают  $F \equiv U - TS$  и называют *энергией Гиббса или изохорно-изотермическим потенциалом*.

Тогда

При знаком дифференциала стоит еще одна функция состояния, которую обозначают  $G \equiv U - TS + pV \equiv H - TS$  и называют *энергией Гиббса или изобарно-изотермическим потенциалом*.

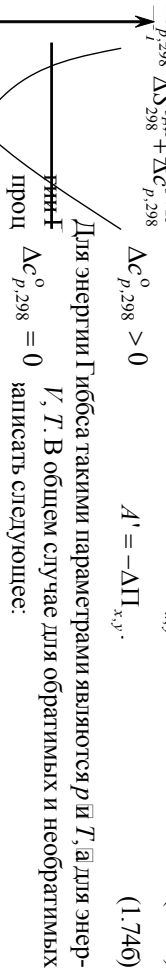
Тогда

$$(1.73a) \quad A' = -\Delta F_{p,T}.$$

Обе новые функции состояния ( $F$  и  $G$ ) являются примерами т. н. термодинамических потенциалов. *Термодинамический потенциал* ( $\Pi$ ) — такая функция состояния, убыль которой ( $-\Delta \Pi$ ) при обратимом переходе системы из одного состояния в другое при условии постоянства двух соответствующих параметров ( $x, y$ ) равна максимальной полезной работе системы:

$$(1.74a) \quad \Delta S_{p,T}^o = \frac{\partial \Pi}{\partial T} \Big|_{p,T}, \quad \Pi = \Delta S_{p,T}^o + \Delta C_{p,298}^o.$$

$$(1.74b) \quad \Delta C_{p,298}^o > 0 \quad \Pi = -\Delta \Pi_{x,y}.$$



Для энергии Гиббса такими параметрами являются  $p$  и  $T$ , а для энтропии Гиббса —  $T$ . В общем случае для обратимых и необратимых процессов  $\Delta C_{p,298}^o = 0$  записать следующее:

$$(1.75a) \quad \delta A' \leq -d\Pi_{x,y} \quad (\delta A' \leq -dF_{p,T}, \quad \delta A' \leq -dG_{p,T}).$$

$$(1.75b) \quad \Delta C_{p,298}^o < 0 \leq -\Delta \Pi_{x,y} \quad (\delta A' \leq -\Delta F_{p,T}, \quad \delta A' \leq -\Delta G_{p,T}).$$

Таким образом, термодинамические потенциалы можно рассматривать как критерии направленности процесса и равновесия в термодинамических системах. 1.6. Температурные зависимости  $\Delta S_T^o$  (с. 1.6. Температурные зависимости  $\Delta S_T^o$  в результате одного,  $y = \text{const}$ ) термодинамические потенциалы уменьшаются с ростом температуры. Для обратимого перехода химической реакции  $\Delta S_T^o < 0$ ,  $\Pi_2 < \Pi_1$  и достигают минимума при равновесии при различных знаках  $\Delta C_{p,298}^o$ . В других системах критерием направленности процесса и равновесия является энтропия. В общем случае (для любых систем) таким критерием выступает термодинамический потенциал  $\Pi$ .



(рис. 1.8, линия 4), такая реакция термодинамически возможна при любых  $T$ .

Таким образом, предварительную оценку возможности протекания химической реакции, а также выбора температурного интервала ее проведения можно делать уже на основании знаков  $\Delta H_T^\circ$ ,

Как видно из рис. 1.8, при низких температурах возможны экзотермические реакции ( $\Delta H_T^\circ < 0$ , линии 2, 4), а при высоких – реакции, протекающие с увеличением энтропии ( $\Delta S_T^\circ > 0$ , линии 3, 4). Получается, что при низких температурах возможность протекания химической реакции определяется, главным образом, первым ( $\Delta H_T^\circ$ ), а при высоких – вторым ( $-T \cdot \Delta S_T^\circ$ ) стагаемыми в уравнении (1.78). Иначе говоря, при низких температурах преобладает *энталпийный*, а при высоких – *энтропийный фактор*, т. е. вклад энтропии в вероятность самопроизвольного протекания химической реакции возрастает при повышении температуры.

Рассмотрим взаимосвязь между  $G$  и  $F$  ( $\Delta G$  и  $\Delta F$ ):

$$\text{При условии } p = \text{const выражение упрощается до (1.81):} \quad (1.80)$$

$$dG = dF + p \cdot dV. \quad (1.81)$$

Интегрируя последнее равенство, получим (1.82):

$$\Delta G = \Delta F + p \cdot \Delta V. \quad (1.82)$$

Если в реакции участвуют газообразные вещества, то с учетом уравнения Менделеева – Клапейрона

$$p \square \Delta V = \Delta n \square R \square T$$

получаем уравнение (1.83):

$$\Delta G \boxplus \Delta F \boxplus \Delta n \square R \square T, \quad (1.83)$$

где  $\Delta n \boxplus$  изменение числа молей *газообразных* веществ в результате *одногопробега* реакции (см. формулу (1.19), подраздел 1.3).

Если реакции протекают без участия газообразных веществ (т. е. в твердой или жидкой фазе), или если  $\Delta n = 0$ , то  $\Delta V \approx 0$

$$\Delta G \approx \Delta F. \quad (1.84)$$

## 1.12. Характеристические функции. Уравнения Гиббса–Гельмгольца

*Характеристической функцией* называется такая термодинамическая функция (функция состояния), с помощью которой и ее частных производных можно выразить в явном виде *любое* термодинамическое свойство системы. Характеристическими функциями являются  $U = U(S, V)$ ,  $H = H(S, p)$ , а также функции  $F = F(V, T)$  и  $G = G(p, T)$ , получившие название энергии Гельмгольца и энергии Гиббса соответственно.

Выразим из объединенного выражения первого и второго законов термодинамики (1.52) для обратимых процессов величину  $dU$ :

$$\text{Если полезная работа отсутствует } (\delta A' = 0), \text{ то} \quad (1.85)$$

Рассматривая внутреннюю энергию как функцию энтропии и объема  $U = U(S, V)$ , можно записать выражение для ее полного дифференциала:

$$\boxed{\Delta U_T = \Delta U(S, V, T) - \Delta U(T, V, S)} = \boxed{\left( \frac{\partial U}{\partial S} \right)_V dS + \left( \frac{\partial U}{\partial V} \right)_S dV}. \quad (1.86)$$

Сравнивая сомножители при  $dS$  и  $dV$  в выражениях (1.86) и (1.87), получаем, что

$$\left( \frac{\partial U}{\partial V} \right)_S = -p. \quad (1.88)$$

Полный дифференциал функций  $G = U - TS + pV = H - TS$  и имеет вид (1.89):

$$\Delta G \boxplus \Delta F \boxplus \Delta n \square R \square T, \quad (1.89a)$$

$$\text{где } \Delta n \boxplus \text{ изменение числа молей } \text{газообразных} \text{ веществ в результате } \text{одногопробега} \text{ реакции (см. формулу (1.19), подраздел 1.3).}$$

Выражая полные дифференциалы функций  $G = G(p, T)$  и  $F = F(V, T)$  через их частные производные, получим (1.91):

$$(1.90a)$$

$$(1.90b)$$

### 1.13. Понятие о химическом потенциале

(1.91a)

Выражения (1.86)–(1.92), полученные в предыдущем подразделе, справедливы для закрытых систем, т. е. систем с постоянной массой.

Для открытых же систем, масса и состав которых могут изменяться, энергия Гиббса, энергия Гельмгольца, энталпия и внутренняя энергия являются также функцией количества образующих данную систему индивидуальных компонентов (веществ). Рассмотрим это на примере энергии Гиббса:  $G = G(p, T, n_1, n_2, \dots, n_k)$ , где  $n_1, n_2, \dots, n_k$  – это число молей 1, 2, ...,  $k$ -го компонента. Тогда выражение для полного дифференциала энергии Гиббса имеет вид (1.98):

$$dF = \left( \frac{\partial F}{\partial V} \right)_T dV + \left( \frac{\partial F}{\partial T} \right)_V dT. \quad (1.91b)$$

Сопоставляя (1.90) и (1.91), получаем (1.92):

$$\left( \frac{\partial G}{\partial p} \right)_T = V, \quad \left( \frac{\partial G}{\partial T} \right)_p = -S, \quad (1.92a)$$

$$\left( \frac{\partial F}{\partial V} \right)_T = -P, \quad \left( \frac{\partial F}{\partial T} \right)_V = -S. \quad (1.92b)$$

Учитывая свойство коммутативности операторов  $\partial$  и  $\Delta$  для химической реакции (или физико-химического процесса) можно записать выражения (1.93):

(1.93a)

$$\left( \frac{\partial \Delta F}{\partial V} \right)_T = -\Delta P, \quad \left( \frac{\partial \Delta F}{\partial T} \right)_V = -\Delta S. \quad (1.93b)$$

Поставив  $S$  из (1.92) в формулы  $G = H - T, S$ , а  $\Delta S$  из (1.93) – в выражения (1.76), (1.77), получим серию уравнений (1.94)–(1.97):

(1.94)

(1.95)

часто химический потенциал  $\mu_i$  относят к 1 молю добавляемого компонента, тогда физический смысл химического потенциала можно сформулировать следующим образом. *Химический потенциал* – это изменение энергии Гиббса однородной многокомпонентной системы при добавлении к ней 1 моля данного компонента при постоянных температуре, давлении и составе системы (т. е. добавление должно производиться при бесконечно больших количествах всех компонентов).

В отличие от энергии Гиббса, химический потенциал является интенсивным параметром,  $[\mu_i] = \text{кДж} \cdot \text{моль}^{-1}$  (или Дж · моль<sup>-1</sup>), его величина называемыми *Гиббса* [Гельмгольца].

чина не зависит от массы системы, а зависит от природы системы (природы входящих в нее компонентов), ее состава, температуры и давления.

Вообще говоря,  $\mu_i$  зависит от силы химического взаимодействия данного компонента с другими, чем это взаимодействие сильнее, тем меньше  $\mu_i$ .

Комбинируя уравнения (1.90а), (1.98) и (1.99), получим уравнение (1.100), которое в химической термодинамике называют *функциональным уравнением Гиббса для гомогенной многокомпонентной системы*:

$$dG = V \cdot dp - S \cdot dT + \sum_{i=1}^k \mu_i \cdot dn_i. \quad (1.100)$$

При постоянных  $p, T$  уравнение (1.100) превращается в соотношение (1.101), называемое *уравнением Гиббса Дюгема*:

$$dG = \sum_{i=1}^k \mu_i \cdot dn_i, \text{ или } G = \sum_{i=1}^k \mu_i \cdot n_i. \quad (1.101)$$

Химический потенциал  $i$ -го компонента  $\mu_i$  можно выразить, аналогично (1.98), (1.99), как производную функций  $F, H, U$  (1.102):

$$\mu_i = \left( \frac{\partial F}{\partial n_i} \right)_{V, T, n_j \neq i} = \left( \frac{\partial H}{\partial n_i} \right)_{S, p, n_j \neq i} = \left( \frac{\partial U}{\partial n_i} \right)_{S, V, n_j \neq i}, \quad (1.102)$$

а фундаментальное уравнение Гиббса (1.100) записать относительно любой из этих функций ( $F, H, U$ ) в виде уравнений (1.103):

$$dF = -p \cdot dV - S \cdot dT + \sum_{i=1}^k \mu_i \cdot dn_i, \quad (1.103a)$$

$$dH = V \cdot dp + T \cdot dS + \sum_{i=1}^k \mu_i \cdot dn_i, \quad (1.103b)$$

$$dU = -p \cdot dV + T \cdot dS + \sum_{i=1}^k \mu_i \cdot dn_i. \quad (1.103b)$$

Зависимость химического потенциала идеального газа в смеси от его парциального давления имеет вид (1.104):

$$\mu_i = \mu_i^\circ + R \cdot T \cdot \ln p_i, \quad (1.104)$$

где  $\mu_i^\circ$  – химический потенциал идеального газа, т. е. его потенциал при его же парциальном давлении

– стандартный химический потенциал идеального газа, т. е. его потенциал при стандартном давлении,

$p_i$  – безразмерная величина, численно равная парциальному давлению идеального газа, выраженному в атмосферах  $\bar{p}_i = \{p_i \text{ (атм)} / 1 \text{ атм}\}$ .

Химический потенциал зависит от природы вещества, температуры и парциального давления этого вещества в смеси, т. е. стандартный химический потенциал зависит только от природы вещества и температуры и не зависит от  $p_i$  (поскольку отнесен к стандартному давлению), т. е.  $\mu_i^\circ = \mu_i^\circ(T) \neq \mu_i^\circ(p_i)$ .

Химический потенциал реального газа в смеси выражают не через его парциальное давление  $p_i$ , а через его парциальную активность или парциальную летучесть

$$\hat{\mu}_i^\circ = \mu_i^\circ \delta T \delta M_i^\circ,$$

## 2. ХИМИЧЕСКОЕ РАВНОВЕСИЕ

### 2.1. Понятие химического равновесия. Константа равновесия химической реакции, способы её выражения

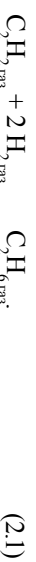
Реакции, которые могут протекать в двух противоположных направлениях, называются *обратимыми*. Состояние химической системы, когда скорость прямой реакции становится равной скорости обратной реакции, называется *состоанием химического равновесия*, а концентрации участников реакции в этом состоянии – *равновесными парциальными давлениями* (парциальные давления – равновесными парциальными концентрациями), не изменяющимися с течением времени.

Устойчивые равновесия (в т. ч. химические) характеризуются следующими общими признаками:

- 1) *незменностью* равновесного состояния системы при сохранении внешних условий;
- 2) *подвижностью* равновесия, т. е. самопроизвольным восстановлением равновесия после прекращения внешнего воздействия, вызванного незначительное отклонение системы от положения равновесия;
- 3) *динамическим характером* равновесия, т. е. установлением и сохранением его вследствие равенства скоростей прямого и обратного процессов;
- 4) *возможностью* перехода к состоянию равновесия с двух противоположных сторон, т. е. вводя либо только исходные вещества, либо только продукты реакции;
- 5) *минимальным значением*  $G$  (или  $F$ ) в изобарно-изотермическом (или изохорно-изотермическом) процессе или соответствующим экстремальным значением другой функции состояния при иных путях проведения процесса.

Для химических реакций из приведенных общих условий можно вывести конкретные условия равновесия, одним из которых является закон действующих масс (закон действия масс).

Рассмотрим обратимую реакцию:



Для прямой реакции при постоянной температуре ( $T = \text{const}$ ) скорость реакции равна

$$(2.2)$$

где  $k_{\text{пр}}$  – константа скорости прямой реакции.

Для обратной реакции скорость реакции

$$v_{\text{обр}} = k_{\text{обр}} \cdot C_{C_2H_6}, \quad (2.3)$$

где  $k_{\text{обр}}$  – константа скорости обратной реакции.

В состоянии равновесия

где  $C_{C_2H_6}^*$ ,  $C_{C_2H_2}^*$  и  $C_{H_2}^*$  – равновесные (\*) концентрации участников реакции;

$K_c$  – константа равновесия химической реакции, выраженная через равновесные концентрации реагентов, или *концентрационная константа равновесия*.

Выражение (2.4) является математическим выражением закона действующих масс для рассмотренной реакции, который в общем случае формулируется следующим образом: *отношение производителя равновесных концентраций (равновесных парциальных давлений) продуктов реакций, взятых в степенях, равных их стехиометрическим коэффициентам, к аналогичному произведению для исходных реагентов при данной температуре есть величина постоянная для данной реакции*.



$$C_2H_{2,газ} + 2 H_{2,газ} \rightleftharpoons C_2H_{6,газ} \quad (2.5)$$

где  $p_{C_2H_6}^*$ ,  $p_{C_2H_2}^*$  и  $p_{H_2}^*$  – равновесные (\*) парциальные давления участников реакции,

$K_p$  – константа равновесия химической реакции, выраженная через равновесные парциальные давления реагентов.

Константы равновесия  $K_p$  и  $K_c$  зависят только от природы участников реакции и от температуры и не зависят ни от концентраций, ни от парциальных давлений участников реакции, ни от общего давления в реакционной системе.

Константы равновесия  $K_p$  и  $K_c$  являются термодинамическими константами равновесия, т. е. безразмерными величинами. При этом в вы-

ражение для  $K_p$  вместо обычно подставляют безразмерную величину, численно равную равновесному парциальному давлению  $i$ -го реагента, выраженному в атмосферах. Однако при выражении  $K_p$  (или  $K_C$ ) из закона действующих масс ее численное значение будет зависеть как от формы записи уравнения реакции, так и от единиц измерения входящих в закон действующих масс величин (равновесных парциальных давлений или равновесных концентраций участников реакции). Рассмотрим два уравнения реакции:



$$(2.7) \quad K_p = \frac{x_{\text{C}_2\text{H}_6}^*}{x_{\text{C}_2\text{H}_2} \cdot x_{\text{H}_2}}, \quad (2.11)$$



выражена через безразмерные величины – молярные доли, зависит от природы участников реакции, температуры, а также, как будет показано ниже, от общего давления в реакционной системе.

В общем виде выражения (2.4), (2.5), (2.11) имеют вид

$$\text{Как видно из (2.7), (2.9), величина } K_{p, (2.6)} \neq K_{p, (2.8)} : \quad (2.12)$$

$$\text{или } (K_{p, (2.6)})^2 = K_{p, (2.8)}. \quad (2.10)$$

Так же легко показать, что численное значение  $K_p$  (или  $K_C$ ) в общем случае будет зависеть от того, в каких единицах измерения выражены парциальные давления (Па или атм) или концентрации (моль · л<sup>-1</sup> или моль · м<sup>-3</sup>) участников реакции.

Чтобы избежать несогласованности, во-первых, приводя значения константы равновесия ( $K_p$  или  $K_C$ ), указывают, какой форме записи уравнения реакции соответствует это значение, а во-вторых, приводят т. н. «формальную размерность» константы равновесия химической реакции:

$$[K_C] = [C]^{\Delta v}, \text{ например } [K_p] = [\text{атм}]^{\Delta v},$$

$$\frac{K_p^* \cdot 10^{12} \cdot T^{\frac{\Delta v}{2}}}{P_p^* \cdot \sum_i^n p_i^{*\frac{v_i}{2}}} \cdot \frac{10^{12}}{p_{\text{без}}^{*\frac{v_2}{2}} \cdot p_{\text{без}}^{*\frac{v_3}{2}}}, \quad (2.14)$$

$$K_C = \prod_{i=1}^n (C_i^*)^{v_i}, \quad (2.15)$$

где  $p_i^*$ ,  $C_i^*$ ,  $x_i^*$  – равновесные парциальные давления, равновесные концентрации и равновесные мольные доли участников реакции;

$v_i$  – их стехиометрические коэффициенты в уравнении реакции ( $v_i > 0$  для продуктов реакции и  $v_i < 0$  для исходных реагентов).

Если в обратимой реакции, протекающей при небольшом давлении, наряду с газообразными веществами участвуют также чистые индивидуальные вещества в конденсированном (твердом или жидким) состоянии, то в выражение для константы равновесия такой гетерогенной реакции входят парциальные давления (в случае  $K_p$ ) или концентрации (в случае  $K_C$ ) только газообразных веществ. Так, для гетерогенной реакции (2.16)



выражена также через равновесные мольные доли ( $x^*$ ) участников реакции. Так, для реакции (2.1)

$$K_x = \frac{x_{\text{C}_2\text{H}_6}^*}{x_{\text{C}_2\text{H}_2} \cdot x_{\text{H}_2}}, \quad (2.11)$$

где  $K_x$  – константа равновесия химической реакции, выраженная через равновесные молярные доли реагентов;  $x_{\text{C}_2\text{H}_6}^*$ ,  $x_{\text{C}_2\text{H}_2}$  и  $x_{\text{H}_2}^*$  – равновесные молярные доли участников реакции

где  $\Delta v$  – изменение числа молей газообразных участников реакции в результате одного пробега реакции.

Помимо равновесных концентраций ( $C^*$ ) и равновесных парциальных давлений ( $p^*$ ), константа равновесия газофазных реакций может быть

(2.17)

Константу равновесия химической реакции можно выражать различными способами –  $K_p$ ,  $K_c$  или  $K_x$ , – при этом каждая из констант может быть выражена через другую.

Так, для газофазной реакции (2.1) при небольших давлениях, когда можно считать, что участники реакции ведут себя как идеальные газы и для них выполняются законы Менделеева – Клапейрона

$$p \cdot V = n \cdot R \cdot T, \quad p_i \cdot V = n_i \cdot R \cdot T, \quad (2.18)$$

откуда

$$(2.19)$$

и Дальтона

где  $P$  – общее давление в реакционной смеси, легко показать, что

$$K_p = K_c \cdot (R \cdot T)^{-2}, \text{ или } K_c = K_p \cdot (R \cdot T)^2, \quad (2.20)$$

$$K_p = \frac{p_{C_2H_6}^{*2}}{p_{C_2H_2}^{*} \cdot p_{H_2}^{*2}} = \frac{(x_{C_2H_6}^{*} \cdot p)}{(x_{C_2H_2}^{*} \cdot p) \cdot (x_{H_2}^{*} \cdot p)^2},$$

$$K_p = K_x \cdot p^{-2}, \text{ или } K_x = K_p \cdot p^2. \quad (2.21)$$

При этом из (2.21) видно, что, поскольку величина  $K_x$  зависит от общего давления в реакционной смеси.

В общем виде выражения (2.20), (2.21) имеют вид

$$K_p = K_c \cdot (R \cdot T)^{\Delta v}, \text{ или } K_c = K_p \cdot (R \cdot T)^{-\Delta v}, \quad (2.22)$$

$$K_p = K_x \cdot p^{\Delta v}, \text{ или } K_x = K_p \cdot p^{-\Delta v}, \quad (2.23)$$

где  $\Delta v$  – изменение числа молей газообразных участников реакции в результате одного пробега реакции.

Отметим, что, если, используя выражения (2.20), (2.22), связывают между собой  $K_p$  выраженную в атмосферах ( $[K_p] = [\text{атм}]^{\Delta v}$ ) и  $K_c$  выраженную в моль · л<sup>-1</sup> ( $[K_c] = [\text{моль} \cdot \text{л}^{-1}]^{\Delta v}$ ), то для упрощения расчетов в эти соотношения подставляют  $R = 0,082 \text{ л} \cdot \text{атм} \cdot \text{моль}^{-1} \cdot \text{К}^{-1}$  (при этом рассчитываемая константа ( $K_p$  или  $K_c$ ) автоматически приобретает соответствующую размерность).

## 2.2. Уравнение изотермы химической реакции

Выше было показано, что при  $p = \text{const}$ ,  $T = \text{const}$  критерием равновесия и возможности самопроизвольного протекания процесса является величина (подраздел 1.11).

Для химической реакции, протекающей при постоянных температуре и давлении, изменение энергии Гиббса  $\Delta G_T$  можно рассчитать при помощи *уравнения изотермы химической реакции*, которое для газофазной реакции типа (2.24)

$$(2.24)$$

имеет вид

$$K_p = \frac{p_{C_2H_6}^{*2} \cdot p_{H_2}^{*2}}{p_{C_2H_2}^{*} \cdot p_{H_2}^{*2}} \cdot \frac{C_{C_2H_6}^{*} \cdot R \cdot \Delta G_T^o}{C_{H_2}^{*} \cdot R \cdot T} = \frac{p_{0,D}^{vd} \cdot p_{0,C}^{vc}}{p_{0,A}^{va} \cdot p_{0,B}^{vb}}, \quad (2.25)$$

где  $p_{0,A}$ ,  $p_{0,B}$ ,  $p_{0,C}$ ,  $p_{0,D}$  – безразмерные величины, численно равные начальным парциальным давлениям исходных реагентов (A и B) и продуктов (C и D) реакции, выраженным в атмосферах;

- изменение энергии Гиббса в результате одного пробега химической реакции при заданных парциальных начальных давлениях участников реакции, кДж;

– стандартное изменение энергии Гиббса в результате одного пробега химической реакции или изменение энергии Гиббса в результате одного пробега химической реакции при стандартных условиях (когда начальные парциальные давления каждого газообразного участника реакции равны 1 атм), = кДж;

$R$  – универсальная газовая постоянная, в уравнении изотермы химической реакции, записанном в любом виде ([2.25] и ниже),  $[R] = \text{Дж} \cdot \text{К}^{-1}$  (формально).

В общем случае для газофазной реакции уравнение изотермы имеет вид (2.26):

(2.26)

ческого равновесия. Очевидно, при этом  
но  $p_i = p_i^*$   
(символ «\*» указывает на то, что речь идет о равновесном парциальном давлении реагента).

Тогда:

где  $p_{0,i}$  – безразмерные величины, численно равные начальным парциальным давлениям участников реакции, выраженным в атмосферах;  $v_i$  – их стехиометрические коэффициенты в уравнении реакции ( $v_i > 0$  для продуктов реакции и  $v_i < 0$  для исходных реагентов).

Как видно из уравнений (2.25), (2.26), величина  $\Delta G_T$  химической реакции зависит от природы участников реакции, температуры (в общем случае еще и от давления), а также от начальных парциальных давлений участников реакции ( $p_{0,i}$ ). Таким образом, на величину изменения энергии Гиббса конкретной химической реакции можно влиять как изменением температуры системы, так и изменением начальных давлений участников реакции ( $p_{0,i}$ ).

Критерием равновесия и возможности протекания процессов при  $p = \text{const}$ ,  $T = \text{const}$  и заданных начальных парциальных давлениях реагентов является величина  $K_p$  для химической реакции эти критерии можно записать следующим образом:

$$\Delta G_T < 0$$

в прямом направлении (вправо)  
и не может протекать в обратном (влево);

в системе установилось химическое равновесие;  
реакция не может самопроизвольно протекать  
в прямом направлении (вправо),  
но может протекать в обратном (влево).

Таким образом, чтобы судить о возможности и направлении протекания химической реакции или о наступлении в системе химического равновесия, необходимо с помощью уравнения (2.26) рассчитать величину  $K_p$  химической реакции, предварительно при помощи формулы (1.71) определив величину изменения стандартной энергии Гиббса химической реакции  $\Delta G_f^\circ$ . Величина  $K_p$  является критерием равновесия и возможности протекания химической реакции при стандартных, а  $K_p^\text{ав}$  – при произвольно выбранных начальных условиях (величины  $p_{0,i}$  имеют произвольные, не равные 1 атм, значения).

Рассмотрим вид, который будет иметь уравнение изотермы химической реакции (2.26) в случае, когда система достигает состояния хими-

но, так как согласно (2.13), под логарифмом стоит величина, равная константе равновесия химической реакции  $K_p$ , получим формулу (2.28):

$$\Delta G_T^\circ = -R \cdot T \cdot \ln K_p, \quad (2.28)$$

называемую уравнением изотермы химической реакции при стандартных условиях.

Уравнение (2.28) при кажущейся простоте имеет глубокий физический смысл, поскольку связывает две принципиально различные величины:  $\Delta G_T^\circ$  является критерием возможности протекания химической реакции при стандартных условиях, и  $K_p$ , являющаяся характеристикой системы в состоянии равновесия.

Практическая значимость уравнения (2.28) заключается в том, что с помощью формулы  $K_p = e^{-\frac{\Delta G_T^\circ}{RT}}$  можно, с одной стороны, по определяемой экспериментальной сущностью величине  $K_p$  рассчитать стандартное изменение энергии Гиббса химической реакции. С другой стороны, рассчитав с помощью термодинамических справочных данных или  $\Delta H_f^\circ$  при  $298^\circ\text{C}$ ,  $C_p^\circ$  при  $298^\circ\text{C}$ ,  $S^\circ$  по уравнениям (1.21), (1.22), (1.38), (1.67), (1.68), (1.78) величину  $\Delta G_T^\circ$ , можно с ее помощью вычислить значение константы равновесия химической реакции (не проводя эксперимента) по уравнению (2.29):

(2.29)

Входящая в состав уравнений (2.28), (2.29) константа химического равновесия  $K_p$  является безразмерной величиной, численно равной  $K_p^\text{ав}$ , выражаемой из закона действующих масс (2.13) с формальной размерностью  $[K_p] = [\text{атм}]^\text{ав}$ .

Подставляя (2.28) в (2.26), получим еще одну форму записи уравнения изотермы химической реакции (2.30):

$$\Delta G_T = -R \cdot T \cdot \ln K_p + R \cdot T \cdot \ln \prod_{i=1}^n p_{0,i}^{v_i}, \quad (2.30)$$

или, с учетом (2.13):

$$\Delta G_T = -R \cdot T \cdot \ln \prod_{i=1}^n (p_i^*)^{v_i} + R \cdot T \cdot \ln \prod_{i=1}^n p_{0,i}^{v_i},$$

$$\Delta G_T = R \cdot T (\ln \prod_{i=1}^n p_{0,i}^{v_i} - \ln \prod_{i=1}^n (p_i^*)^{v_i}).$$

Выражение (2.31) можно представить в виде (2.32):

$$\Delta G_T = RT \ln \left( \frac{\prod_{i=1}^n p_{0,i}^{V_i}}{\prod_i (p_i^*)^{V_i}} \right) = RT \ln \left( \frac{\prod_{i=1}^n p_{0,i}^{V_i}}{K_p} \right), \quad (2.32)$$

анализ которого позволяет иным образом сформулировать критерии равновесия и возможности протекания химической реакции. Действительно, выражение под логарифмом может быть меньше единицы, равно единице или больше единицы.

Тогда, если

При указанных условиях в системе возможно протекание обратной реакции, при этом условия в системе возможно протекание прямой реакции;

Из приведенного анализа уравнения изотермы химической реакции видно, что изменения начальные парциальные давления участников химической реакции, в принципе, можно изменять и направление протекания реакции.

В общем случае химическая реакция может протекать в прямом направлении, если лика, можно принять, что ния химической реакции по знаку может протекать самопроизвольно в прямом направлении при любыхх

однако, если величина и судить о возможности протекания реакции. Так, если

комбинациях начальных давлений реагентов, и, наоборот, если  $\Delta G_T^\circ \gg 0$ , то при любых начальных условиях протекание реакции в прямом направлении невозможно. Поскольку для большей части практически важных реакций температура и начальные давления реагентов таковы, что  $\left| R \cdot T \cdot \ln \prod_{i=1}^n p_{0,i}^{v_i} \right| \leq 50 \text{ кДж}$ , и величину  $|\Delta G_T^\circ|$  можно считать очень большой если  $k \ll k_1$  и  $k_2 \ll k$ . Учитывая это в качестве критерия

$\Delta G_f^{\circ} < -50 \text{ кДж}$  реакция может самопроизвольно протекать в прямом направлении при любых началь-

В первом случае реакции являются практически независимыми условиями;

$-50 < \Delta G^\circ < 50$  <sup>Возможны и отрицательные значения</sup> ккал/моль участников реакции нельзя, необходимо учесть, что в этом случае наименованием определяемой величины будет направление (прямое или обратное) протекания реакции.

кать в прямом направлении при любых начальных <sup>2</sup> условиях. Равновесной состава равновесной степени превращения исходных реагентов и правновесного выхода продукта реакции

Знание величины константы равновесия химической реакции (например,  $K_p$ ) при определенной температуре позволяет определить параметры системы в состоянии равновесия, а именно: состав равновесной смеси (равновесные парциальные давления, концентрации реагентов и продуктов), температуру и т. д.

рации или молярные доли участников реакции), равновесную степень превращения исходных реагентов и равновесный выход продукта реакции.

*Равновесная степень превращения* исходного  $i$ -го вещества (чаще обозначаемая как  $\alpha_i$ ) – это отношение количества вещества, прореагившего к моменту установления в системе равновесия, к исходному количеству этого вещества:

$$\alpha_i = \frac{\Delta n_i}{n_{0,i}}, \quad (2.33)$$

где  $\alpha_i$ ,  $n_{0,i}$  и  $\Delta n_i$  – степень превращения  $i$ -го исходного компонента реаціонной смеси, его начальное количество и количество  $i$ -го вещества, прореагировавшее к моменту установления равновесия.

Величина  $\alpha_i$  (для прямой реакции) может меняться в пределах от нуля до единицы или, выраженная в процентах, от нуля до 100 %. Отметим, что, поскольку в результате протекания самопроизвольных процессов любая термодинамическая система с течением времени приходит в состояние равновесия, в котором в системе находятся как исходные реагенты, так и продукты реакции, то всегда  $\alpha > 0$  хотя и может иметь очень малое значение (например,  $\alpha = 0,0001$ ) – при этом говорят, что равновесие практически полностью смешено в сторону исходных реагентов) и всегда  $\alpha < 1$  хотя величина  $\alpha$  может быть очень близка к 1 (например,  $\alpha = 0,9999$ ) – при этом равновесие практически полностью смешено в сторону продуктов реакции).

Степень превращения можно выражать через изменение парциального давления реагента

$$(2.34)$$

или, например, изменение его концентрации:

$$\alpha_i = \frac{\Delta C_i}{C_{0,i}} = \frac{C_{0,i} - C_i^*}{C_{0,i}}, \quad (2.35)$$

где  $P_{0,i}(C_{0,i})$  и  $P_i^*(C_i^*)$  – соответственно начальное и равновесное парциальное давление (концентрация)  $i$ -го исходного реагента.

*Равновесный выход* продукта реакции (обозначаемый чаще как  $x$ , по сути, молярная доля продукта в реакционной смеси) – отношение

равновесного количества этого вещества к общему количеству вещества в равновесной реакционной смеси. При выражении выхода продукта через единицы давления получаем

$$(2.36)$$

где  $p^*$  – общее (полное) давление реакционной смеси в состоянии равновесия.

Равновесный выход продукта реакции можно, как и степень превращения исходного реагента, выражать через количество вещества или его концентрацию в системе (последнее – редко). Как и  $\alpha$ , в состоянии равновесия  $0 < x < 1$  (причины обсуждены выше).

Рассмотрим нахождение параметров системы в состоянии равновесия на конкретном примере. Для реакции (2.37):



при  $T = 400$  К величина  $K_p = 0,2$  (атм $^{-1}$ ), а начальные парциальные давления участников реакции составляют 0,6, 0,5 и 0,0 атм соответственно.

<del>При вычислении константы равновесия в неизравновесии исходных реагентов</del>			
$\frac{P_{C_2H_4,183}}{P_{H_2O,183}}$	$\frac{0,6}{(0,6+0,0)}$	$\frac{P_{C_2H_5OH,183}}{P_{H_2O,183}}$	$\frac{(0,5-x)}{0,5}$
$\Delta P_i$ , атм	$x$	$x$	$x$
$P_i^*$ , атм	$0,6-x$	$0,5-x$	$0,0+x$

Подставим значения в выражение для константы равновесия химической реакции  $K_p$ :

Преобразуем последнее соотношение в квадратное уравнение:

$$0,2x^2 - 1,22x + 0,06 = 0.$$

Решая это уравнение, получим  $x = 0,05$  атм.

Откуда

$$p_{\text{C}_2\text{H}_5\text{OH}}^* = 0,05 \text{ атм}, p_{\text{C}_2\text{H}_4}^* = 0,55 \text{ атм}, \text{а } p_{\text{H}_2\text{O}}^* = 0,45 \text{ атм}.$$

Равновесные степени превращения исходных реагентов составят

$$\frac{\Delta G_T}{T} = -R \cdot \ln K_p + R \cdot \ln \prod_{i=1}^n p_{0,i}^{v_i},$$

$$\left( \frac{\partial \Delta G_T}{\partial T} \right)_p = \frac{\Delta G_T}{T} - R \cdot T \cdot \left( \frac{\partial \ln K_p}{\partial T} \right)_p. \quad (2.39)$$

Преобразуя уравнение (1.96) к виду

$$\alpha_{\text{H}_2\text{O}} = \frac{\Delta p_{\text{H}_2\text{O}}}{p_0 \cdot p_{\text{H}_2\text{O}}} = \frac{0,05}{0,5} = 0,10 = 10\%.$$

Учитывая, что

$$p^* = p_{\text{C}_2\text{H}_4}^* + p_{\text{H}_2\text{O}}^* + p_{\text{C}_2\text{H}_5\text{OH}}^* = 0,55 + 0,45 + 0,05 = 1,1 \text{ атм},$$

равновесный выход продукта реакции составит

$$\chi_{\text{C}_2\text{H}_5\text{OH}} = \frac{p_{\text{C}_2\text{H}_5\text{OH}}^*}{p_{\text{C}_2\text{H}_4}^* + p_{\text{H}_2\text{O}}^* + p_{\text{C}_2\text{H}_5\text{OH}}^*} = \frac{0,05}{1,1} = 0,0476 = 4,76\%.$$

#### 2.4. Зависимость константы равновесия химической реакции от температуры. Уравнение изобары Вант-Гоффа

Как указывалось ранее (подраздел 2.1), константа равновесия химической реакции зависит от температуры. Количественно влияние температуры на величину константы химического равновесия выражается при помощи *уравнения изобары Вант-Гоффа*. Уравнение изобары Вант-Гоффа можно получить из уравнения изотермы химической реакции в виде (2.30). Продифференцировав последнее по температуре при постоянном давлении, получим (2.38):

$$\left( \frac{\partial \Delta G_T}{\partial T} \right)_p = -R \cdot \ln K_p - R \cdot T \cdot \left( \frac{\partial \ln K_p}{\partial T} \right)_p + R \cdot \ln \prod_{i=1}^n p_{0,i}^{v_i}, \quad (2.38)$$

поскольку для начальных заданных парциальных давлений участников

$$\left( \frac{\partial \ln \prod_{i=1}^n p_{0,i}^{v_i}}{\partial T} \right)_p = 0. \quad \text{Учитывая, что из}$$

$$\text{реакции } (p_{0,i})$$

$$\text{с. 2.1. Температурные зависимости}$$

$$\text{истапны равновесия } K_p \text{ химических}$$

$$\text{реакций при различных знаках}$$

$$\text{теплового эффекта } \Delta H_T^\circ \text{ и } p = \text{const.}$$

$$\text{при случае (рис. 2.1):}$$

$$1) \Delta H_T^\circ > 0 \text{ (эндотермическая ре-}$$

$$\text{акция, протекающая с поглощением}$$

$$\text{теплового эффекта } \Delta H_T^\circ,$$

$$\frac{d \ln K_p}{dT} = \frac{\Delta H_T^\circ}{R \cdot T^2}. \quad (2.41)$$

и произведя замену  $\left( \frac{\partial \Delta G_T}{\partial T} \right)_p$  в уравнении (2.39), получим формулу

откуда легко выразить уравнение изобары Вант-Гоффа в дифференциальной форме (2.40):

$$K_p = \frac{R \cdot T}{\Delta H_T^\circ \cdot p \cdot \text{const}} \cdot \left( \frac{\partial \ln K_p}{\partial T} \right)_p, \quad (2.40)$$

где  $\Delta H_T^\circ$  – тепловой эффект химической реакции, при стандартных условиях, то

же  $\Delta H_T^\circ = 0$  ежкая реакция проте-

кает при стандартных условиях, то

же  $\Delta H_T^\circ < 0$  арии можно записать

с. 2.1. Температурные зависимости

истапны равновесия  $K_p$  химических

реакций при различных знаках

теплового эффекта  $\Delta H_T^\circ$  и  $p = \text{const}$ .

1)  $\Delta H_T^\circ > 0$  (эндотермическая ре-

акция, протекающая с поглощением

теплоты), тогда, поскольку  $R > 0$  и  $T^2 > 0$ , получим  $\frac{d \ln K_p}{dT} > 0$ ,  $K_p$  является возрастающей функцией температуры;  $K_p$  увеличивается при увеличении температуры и уменьшается при ее уменьшении;

- 2) (экзотермическая реакция, протекающая с выделением теплоты), тогда получим  $\frac{d \ln K_p}{dT} < 0$ ,  $K_p$  является убывающей функцией температуры, уменьшается при увеличении температуры и увеличивается при ее уменьшении;

3) (реакция, протекающая без теплового эффекта), в этом случае  $\frac{d \ln K_p}{dT} = 0$  и  $K_p$  не зависит от температуры.

*Интегральную форму* уравнения изобары Вант-Гоффа можно получить, взяв неопределенный или определенный (в интервале температур от  $T_1$  до  $T_2$ ) интеграл от выражения (2.41). Принимая тепловой эффект реакции не зависящим от температуры что допустимо для не очень широкого интервала температур, получим

$$(2.42)$$

$$\ln \left( \frac{K_{p,T_2}}{K_{p,T_1}} \right) = \frac{\Delta H^\circ}{R} \cdot \left( \frac{1}{T_1} - \frac{1}{T_2} \right) = \frac{\Delta H^\circ}{R} \cdot \frac{T_2 - T_1}{T_1 \cdot T_2}.$$

Из соотношения (2.42) видно, что зная зависимость  $K_p = f(T)$ , можно графическим методом определить величину теплового эффекта химической реакции ( $\Delta H^\circ$ ). Для определения химической реакции по известной зависимости строят график зависимости  $\ln K_p = f(\frac{1}{T})$ , при этом (рис. 2.2)

- 1)  $\Delta H^\circ > 0$  – эндотермическая реакция (теплота поглощается),  $\Delta H_1^\circ = -R \cdot \operatorname{tg}\alpha_1 = R \cdot \operatorname{tg}\beta_1$ ;
  - 2)  $\Delta H^\circ = 0$  – тепловой эффект отсутствует,  $\Delta H_2^\circ = -R \cdot \operatorname{tg}\alpha_2 = 0$ ,  $\Delta H_3^\circ = -R \cdot \operatorname{tg}\alpha_3$ ;
  - 3)  $\Delta H^\circ < 0$  – экзотермическая реакция (теплота выделяется),  $\Delta H_3^\circ = -R \cdot \operatorname{tg}\alpha_3$ .
- Если экспериментально полученная зависимость  $\ln K_p = f(\frac{1}{T})$  нелинейна, это означает, что в исследованном интервале температур

пературной зависимостью теплового эффекта химической реакции пренебречь нельзя.

Уравнение (2.43) можно использовать для аналитического определения либо теплового эффекта химической реакции  $\Delta H^\circ$  по известным значениям константы равновесия при двух различных температурах ( $T_2$  и  $T_1$ ):

$$\Delta H^\circ = \frac{R \cdot T_1 \cdot T_2 \cdot \ln \left( \frac{K_{p,T_2}}{K_{p,T_1}} \right)}{T_2 - T_1} \quad (2.44)$$

Рис. 2.2. Графическое определение теплового эффекта химической реакции  $\Delta H^\circ$  с помощью изобары Вант-Гоффа в интегральной форме

либо константы равновесия химической реакции при какой-либо температуре (например,  $K_{p,T_2}$  при  $T_2$ ), если известна величина  $\Delta H^\circ$  и значение константы равновесия при какой-либо другой температуре (например, при  $T_1$ ):

$$\frac{K_{p,T_2}}{K_{p,T_1}} = \frac{e^{\frac{-\Delta H^\circ}{R} \cdot \frac{1}{T_1}}}{e^{\frac{-\Delta H^\circ}{R} \cdot \frac{1}{T_2}}} \quad K_{p,T_2} = K_{p,T_1} \cdot \exp \left( \frac{\Delta H^\circ}{R} \cdot \frac{T_2 - T_1}{T_1 \cdot T_2} \right). \quad (2.45)$$

Отметим также, что соотношение (2.42) можно получить как путем интегрирования формулы (2.41), так и следующим способом. Запишем уравнение, комбинируя уравнение изотермы химической реакции (2.29) в виде (2.46), с уравнением Гиббса – Гельмгольца (1.71):

$$K_p = e^{-\frac{\Delta G^\circ}{R \cdot T}}. \quad (2.46)$$

Учитывая, что из (2.46) получим (2.47):

$$\ln K_p = \frac{\Delta S^\circ}{R} - \frac{\Delta H^\circ}{R} \cdot \frac{1}{T}. \quad (2.47)$$

Логарифмируя (2.47), получим формулу (2.48):

$$\ln K_p = \frac{\Delta S^\circ}{R} - \frac{\Delta H^\circ}{R} \cdot \frac{1}{T}. \quad (2.48)$$

Сравнение (2.48) и (2.42) показывает, что  $\Delta S^\circ / R = \text{const}$  в формуле (2.42).

Таким образом, из зависимости  $\ln K_p = f(\frac{1}{T})$  можно найти не только  $\Delta H^\circ$ , но и для химической реакции (если зависимостью можно пренебречь).

## 2.5. Влияние различных факторов на положение химического равновесия. Принцип Ле Шателье

Обычно в качестве факторов, влияющих на состояние равновесия, рассматривают температуру, давление, изменение концентраций (парциальных давлений) участников реакции, производимое как путем добавления в систему определенного количества того или иного компонента, так и путем разбавления системы (для жидкокристаллических реакций досчитается добавлением растворителя, а для газоразовых – добавлением в систему инертных, не участвующих в реакции примесей при условии постоянства давления). Влияние указанных факторов на положение химического равновесия в качественной форме можно описать при помощи принципа Ле-Шателье, а более строго и количественно – при помощи различных приведенных выше термодинамических соотношений.

*Принцип Ле-Шателье* гласит: если на систему, находящуюся в состоянии устойчивого равновесия, окказать какое-либо воздействие извне, то равновесие в системе смещается в направлении прополекания, которого ослабляет (уменьшает) влияние произведенного воздействия.

Рассмотрим влияние различных факторов на положение равновесия на примере нескольких химических реакций:



1. *Влияние температуры.* Поскольку реакция (2.49) протекает экзотермически (с выделением тепла), для нее  $\Delta H^\circ < 0$  и, согласно (2.41),  $\frac{d \ln K_p}{dT} < 0$ ,  $K_p$  является убывающей функцией температуры. Рост тем-

пературы приводит к уменьшению  $K_p$  при этом парциальное давление продукта реакции – аммиака ( $p_{NH_3}^*$ ) уменьшается, а парциальные давления исходных реагентов – азота и водорода ( $p_{N_2}^*$  и  $p_{H_2}^*$ ) – увеличиваются, т. е. равновесие смещается в сторону образования исходных веществ (влево). Уменьшение температуры приводит к росту величины константы равновесия  $K_p$  экзотермической реакции (2.49), и равновесие этой реакции смещается в сторону образования продукта реакции – аммиака (т. е. вправо).

К аналогичному выводу приводят использование принципа Ле-Шателье: при повышении температуры в системе должен усиливаться процесс, сопровождающийся поглощением тепла (эндотермический процесс). Поскольку прямая реакция – образование аммиака – является экзотермической, эндотермической выступает обратная реакция – разложение аммиака на водород и азот. Таким образом, повышение температуры приводит к смещению равновесия реакции (2.49) влево – в сторону протекания эндотермического процесса.

Аналогичным образом изменение температуры оказывается и на положении равновесия реакции (2.51), которая также является экзотермической

равновесие этой реакции смещается влево при повышении и вправо – при понижении температуры.

Реакция (2.50) является эндотермической ( $\Delta H^\circ > 0$ ), в этом случае  $\frac{d \ln K_p}{dT} > 0$ , следовательно, повышение температуры приводит к увеличению  $K_p$  реакции (2.50), т. е. к смещению ее равновесия вправо. Понижение температуры приведет к усилению (интенсификации) экзотермического процесса – обратной реакции, таким образом, при уменьшении температуры равновесие эндотермической реакции (2.50) смещается влево, в сторону образования исходных веществ.

2. *Влияние давления.* Поскольку константа равновесия химической реакции  $K_p$  (как и  $K_c$ ) не зависит от давления (подраздел 2.1), повышение (или понижение) общего давления в системе никак не скажется на ее величине.

Не влияя на значение  $K_p$ , изменение общего давления оказывается на положении равновесия в системе, что легко показать, используя соотношение (2.23) в виде

Прологарифмировав это выражение и продифференцировав результат по  $\ln p$ , получим формулу (2.52):

$$\frac{d \ln K_x}{d \ln p} = -\Delta v. \quad (2.52)$$

Анализ уравнения (2.52) позволяет сделать следующие выводы.

Если т. е. реакция протекает в прямом направлении с уменьшением числа молей газообразных веществ (например, реакция (2.49)),

то из (2.52) для этой реакции Это означает, что с

увеличением общего давления в системе (при  $T = \text{const}$ ) константа равновесия увеличивается. Значит, увеличивается молярная

доли аммиака ( $x_{\text{NH}_3}^*$ ), уменьшаются молярные доли исходных реагентов – азота и водорода ( $x_{\text{N}_2}^*$  и  $x_{\text{H}_2}^*$ ) и равновесие смещается в сторону прямой реакции.

Если т. е. реакция протекает в прямом направлении с увеличением числа молей газообразных веществ (например, реакция (2.50)),

то из (2.52) для этой реакции Увеличение общего

давления в системе (при  $T = \text{const}$ ) приведет к уменьшению константы

равновесия уменьшению молярных долей продуктов

реакции – ацетилена и водорода ( $x_{\text{C}_2\text{H}_2}^*$  и  $x_{\text{H}_2}^*$ ) и увеличению молярной доли исходного реагента – этилена т. е. равновесие смещается в сторону обратной реакции.

Если  $\Delta v = 0$ , т. е. реакция протекает без изменения числа молей газообразных веществ (например, реакция (2.51)), то из (2.52) для этой реакции

Изменение общего давления в системе никак не скажется на величине константы равновесия данной реакции, следова-

тельно, увеличение (или уменьшение) общего давления в системе никак не будет сказываться на положении химического равновесия.

Используя принцип Ле-Шателье, можно утверждать следующее: на увеличение (уменьшение) давления при изотермических (при  $T = \text{const}$ ) условиях система будет стремиться отреагировать уменьшением (увеличением) объема. Поскольку уменьшение объема системы будет происходить за счет уменьшения числа молей газообразных участников реакции, то при увеличении давления в системе равновесие в ней будет смещаться в сторону реакции, протекающей с уменьшением объема, т. е. реакции, для которой

3. Влияние инертных (газообразных) примесей. Добавление инертных газообразных примесей в систему может производиться как при  $V = \text{const}$ , так и при  $p, T = \text{const}$ . В первом случае (при  $V = \text{const}$ ) добавление инертной примеси приведет к увеличению общего давления, а парциальные давления участников реакции никак не изменятся, неизменными останутся как величина константы равновесия химической реакции  $K_p$ , так и положение химического равновесия.

Во втором же случае (при  $p = \text{const}$ ) добавление инертных (т. е. индифферентных) примесей в систему приведет к уменьшению парциальных давлений (концентраций) всех участников химической реакции, что, в соответствии с законом Генри,  $\frac{K_p}{K_p' \equiv \frac{P_{\text{N}_2}}{P_{\text{N}_2'}} \cdot \frac{P_{\text{H}_2}}{P_{\text{H}_2'}} \cdot \frac{x_{\text{N}_2}^*}{x_{\text{N}_2'}^*} \cdot \frac{x_{\text{H}_2}^*}{x_{\text{H}_2'}^*}}$  по сути, равносилен уменьшению общего давления в системе (или ее разбавлению); константа равновесия  $K_p$  химической реакции при этом остается неизменной).

Таким образом, добавление инертных примесей при  $p, T = \text{const}$  в систему, в которой протекает реакция (2.49) приведет к смещению равновесия в сторону образования исходных реагентов (в сторону обратной реакции).

Для реакции (2.50) ( $\Delta v > 0$ ) добавление инертных газообразных примесей, равносильное уменьшению общего давления, приведет к смещению равновесия реакции вправо, в сторону образования продуктов реакции. Иначе говоря, в данном случае разбавление системы инертной примесью приводит к увеличению равновесного выхода продукта реакции.

В случае реакции, протекающей без изменения числа молей газообразных участников реакции (2.51)), добавление в систему инертной примеси, как и изменение общего давления в системе, никак не влияет на положение равновесия, а следовательно, и на величину равновесного выхода продукта реакции.

С помощью принципа Ле-Шателье влияние разбавления системы инертной примесью (не участвующей в реакции газ – для газофазных реакций, жидким растворителем – для реакций, протекающих в жидким растворе) можно объяснить следующим образом.

Производимое любым способом разбавление системы приводит к уменьшению общей концентрации участвующих в реакции частиц (молекул, ионов и т. д.); при таком воздействии на систему равновесие в ней будет смещаться в сторону реакции, протекающей с увеличением общей концентрации частиц (как исходных реагентов, так и продуктов реакции).

Для гетофазных реакций при разбавлении системы равновесие в ней будет смещаться в сторону реакции, протекающей с увеличением числа молей газообразных участников реакции.

Если химическая реакция протекает в жидкой фазе (в жидким растворе), то при добавлении к системе растворителя равновесие в ней смеется в сторону реакции, протекающей с увеличением числа частиц; так, например, равновесие реакции диссоциации слабой кислоты в водном растворе:



при уменьшении концентрации раствора (разбавление системы растворителем) смещается вправо – степень диссоциации кислоты увеличивается (что приводит к увеличению суммарной концентрации частиц – молекул  $(\text{CH}_3\text{COOH})$  и ионов  $(\text{CH}_3\text{COO}^-$  и  $\text{H}^+$ ) – в растворе).

4. Влияние изменения концентраций (парциальных давлений) участников реакции. При добавлении к системе какого-либо участника реакции равновесие в системе, согласно принципу Ле-Шателье, смещается в сторону реакции, ослабляющей это воздействие, т. е. увеличение концентраций (парциальных давлений) исходных реагентов приведет к смещению положения равновесия в сторону образования продуктов реакции (вправо), а увеличение концентраций (парциальных давлений) продуктов реакции – наоборот, в сторону образования исходных реагентов (влево). Таким образом, увеличения выхода продукта в ходе какой-либо реакции можно добиться при помощи изменения (увеличения или уменьшения) температуры или общего давления в системе, иногда – при разбавлении системы (инертной газообразной примесью или жидким растворителем), а также при увеличении концентраций (парциальных давлений) исходных реагентов.

В ряде случаев равновесие реакции можно сместить в сторону образования продуктов, если эти продукты тем или иным способом выводить из реакционной смеси.

### 3. ФАЗОВОЕ РАВНОВЕСИЕ

#### 3.1. Фазовое равновесие.

##### Основные понятия и определения

Системы бывают гомогенными (однородными) и гетерогенными (неоднородными). Гомогенная система состоит из одной фазы, а гетерогенная – из двух и более фаз.

Фаза – это совокупность всех гомогенных (однородных) частей системы, имеющих одинаковый состав, химические и физические свойства и отделенных от других частей системы поверхностью раздела. В гетерогенной системе, как правило, может быть одна газовая фаза (поскольку, за редким исключением, газы хорошо смешиваются), несколько жидких (если жидкости не смешиваются между собой) и много твердых фаз.

Равновесие в гетерогенной системе, состоящей из нескольких фаз, называют гетерогенным или фазовым. Составляющие систему вещества (компоненты) – это все те химические вещества, которые входят в состав системы, могут быть выделены из нее и существовать вне ее длительное время. Например, в водном растворе хлорида натрия компонентами являются  $\text{NaCl}$  и  $\text{H}_2\text{O}$  (ноне ионы  $\text{Na}^+$ ,  $\text{Cl}^-$ ,  $\text{H}^+$ ,  $\text{OH}^-$ ). В зависимости от числа составляющих систему веществ различают одно-, двух-, трех- и более многокомпонентные системы.

Под независимыми компонентами понимают вещества, число которых необходимо и достаточно для образования всех возможных фаз данной системы, находящейся в равновесии.

Число независимых компонентов – это наименьшее количество составляющих систему веществ, с помощью которых можно выразить состав каждой фазы. Состав системы чаще всего выражают в массовых или молярных долях, или в соответствующих процентах. Число независимых компонентов  $k$  может быть равным числу составляющих системы веществ  $s$  или быть меньше  $s$ , если в системе протекают какие-либо химические реакции:

$$(3.1)$$

где  $r$  – число уравнений связи, т. е. уравнений, которые могут связывать между собой концентрации каких-либо веществ в равновесной системе.

Рассмотрим применение уравнения (3.1) к различным системам.

Пусть в системе в равновесии находится три газа – водород ( $H_2$ ), иод ( $I_2$ ) и иодистый водород ( $HI$ ), такая система является гомогенной (однофазной) и состоит из трех компонентов – составляющих веществ ( $s = 3$ ). В системе возможна следующая реакция:



При равновесии в системе между концентрациями (парциальными давлениями) участников реакции выполняется следующее соотношение (уравнение связи):

$$(3.3)$$

Таким образом, зная концентрации двух веществ (величина  $K_p$  (или  $K_C$ ) задается природой участников реакции и температурой), можно найти концентрацию третьего вещества. Поэтому в данной системе (состоящей из трех веществ) будет только два независимых компонента ( $k = s - r = 3 - 1 = 2$ ).

Рассмотрим другой пример – гетерогенную систему, полученную при частичном термическом разложении кристаллического хлорида аммония  $NH_4Cl$ . Эта система состоит из трех веществ – твердого хлорида аммония ( $NH_4^+Cl^-$ ) и газообразных аммиака ( $NH_3$ ) и хлористого водорода ( $HCl$ ) ( $s = 3$ ), находящихся в двух фазах – твердой и газовой. В системе возможно протекание следующей реакции:



При равновесии в системе выполняются следующие соотношения:

$$(3.5)$$

а также (в соответствии с уравнением реакции (3.4)):

$$C_{NH_3}^* = C_{HCl}^* \quad (\text{или } p_{NH_3}^* = p_{HCl}^*) \quad (3.6)$$

Оба уравнения ((3.5) и (3.6)) являются уравнениями связи ( $r = 2$ ). Учитывая (3.1), получим, что число независимых компонентов в данной системе равно единице ( $k = s - r = 3 - 2 = 1$ ), причем в данном случае в качестве независимого компонента выступает твердый хлорид аммония. В общем случае состояния каждой фазы определяется давлением, температурой и ее составом (например, молярной долей каждого компонента  $x_i$ ), при этом давление и температура являются *внешними параметрами*.

*Уравнения состояния* – это термодинамические соотношения, выражющие взаимосвязь параметров  $p$ ,  $T$ ,  $x_i$ , определяющих состояние отдельных фаз равновесной системы. Учитывая это, можно дать другое определение фазы.

Фаза представляет собой совокупность гомогенных частей гетерогенной системы, для которых справедливо одно и то же уравнение состояния, не совпадающее с уравнениями состояния других фаз. Знание уравнений состояния входящих в систему фаз позволяет дать полное термодинамическое описание системы. Чаще всего уравнения состояния получают не теоретически, а экспериментально (изучая взаимосвязь  $p$ ,  $T$  и равновесных концентраций веществ в различных фазах равновесной системы).

Примерами уравнений состояния являются уравнение состояния идеального газа (уравнение Менделеева – Клапейрона) (3.7):

$$p \cdot V = n \cdot R \cdot T, \quad (3.7)$$

а также различные уравнения состояния реальных газов, в т. ч. Ван-дер-Вальса (3.8), Бергто (3.9), вириальное (3.10):

$$\frac{R}{K_p} = \frac{C_{NH_3}^{*2} C_{HCl}^{*2}}{C_{H_2}^{*2} \cdot C_{I_2}^{*2}} \quad \text{или } K_p = \frac{p_{NH_3}^{*2} \cdot p_{HCl}^{*2}}{p_{H_2}^{*2} \cdot p_{I_2}^{*2}}, \quad (3.8)$$

$$\left( p + \frac{a}{T \cdot V^2} \right) \cdot (V - b) = R \cdot T, \quad (3.9)$$

$$\frac{p \cdot V}{R \cdot T} = 1 + \frac{B_2(T)}{V} + \frac{B_3(T)}{V^2} + \dots \quad (3.10)$$

*Диаграмма состояния гетерогенной системы* – это графическое выражение взаимосвязи между  $p$ ,  $T$  и составами отдельных фаз равновесной системы. На диаграммах состояния различают фигуративные и фазовые точки.

*Фазовой точкой* называется точка, характеризующая на диаграмме состояния (давление, температуру и состав) отдельной фазы.

*Фигуративная точка* системы – это точка на диаграмме состояния, которая выражает  $p$ ,  $T$  и состав всей системы в целом (а не состав отдельной фазы). Любая фигуративная точка на диаграмме состояния дает полное представление о фазовом состоянии системы определенного состава при определенных  $p$  и  $T$ .

### 3.2. Условия равновесия в гетерогенных системах.

#### Правило фаз Гиббса

Правило фаз Гиббса – это основной закон фазового равновесия, который легко вывести из термодинамических условий равновесия в гетерогенных системах. Пусть имеется система, состоящая из трех фаз (фаза I, фаза II и фаза III). Тогда условия равновесия можно записать следующим образом:

$$p^1 = p^{II} = p^{III}, \quad (3.11a)$$

$$T^1 = T^{II} = T^{III}, \quad (3.11b)$$

$$\mu_i^1 = \mu_i^{II} = \mu_i^{III}, \quad (3.11v)$$

где (3.11a) является условием *механического*, (3.11b) – *термического*, а (3.11v) – *химического* равновесия. Иначе говоря, гетерогенная система находится в состоянии равновесия при условиях равенства температур всех фаз, их давлений, а также равенства химических потенциалов каждого компонента в каждой фазе.

Из анализа условий (3.11) было получено *правило фаз Гиббса*, которое можно сформулировать следующим образом: число степеней свободы ( $f$ ) равновесной гетерогенной системы, на которую влияют только температура ( $T$ ) и давление ( $p$ ), равно числу независимых компонентов системы ( $k$ ) минус число фаз ( $\Phi$ ) плюс два. Математически правило фаз Гиббса обычно записывают в виде (3.12):

$$f \equiv k - \Phi + 2. \quad (3.12)$$

С учетом соотношения (3.1) правило фаз Гиббса можно записать в виде выражения (3.13):

$$f = s - r - \Phi + 2, \quad (3.13)$$

или, если влияние на систему оказывают не два, а более ( $n$ ) параметров, то в наиболее общей форме (3.14):

$$f = s - r - \Phi + n. \quad (3.14)$$

*Число степеней свободы* – это число независимых переменных ( $p$ ,  $T$ , концентрации компонентов), которые необходимо указать для полного описания данной термодинамической системы. С другой стороны, *число степеней свободы* – это число *независимых переменных*, которые можно изменять произвольно в некоторых пределах так,

чтобы число и природа составляющих систему фаз оставались неизменными (прежними).

Число степеней свободы характеризует вариантность системы, которая в зависимости от величины  $f$  может быть:

- 1) нонвариантной (безвариантной),  $f = 0$ ;
- 2) моновариантной (одновариантной),  $f = 1$ ;
- 3) бивариантной (двувариантной),  $f = 2$ .

Система может быть также трехвариантной и т. д.

Из правила фаз Гиббса следует, что число степеней свободы  $f$  возрастает с ростом числа независимых компонентов  $k$  и убывает с ростом числа фаз  $\Phi$ . Максимальное число фаз, которое может находиться в равновесии в гетерогенной системе, можно определить, выразив  $\Phi$  из формулы (3.12):

$$\Phi = k - f + 2. \quad (3.15)$$

При этом, как видно из (3.15), максимального значения  $\Phi$  будет достигать при минимальном значении  $f = 0$ , т. е.

$$\Phi = k + 2. \quad (3.16)$$

Таким образом, в однокомпонентной системе в равновесии может находиться не более трех фаз, в двухкомпонентной – не более четырех и т. д.

Правило фаз Гиббса, выраженное в виде соотношений (3.15), (3.16), можно использовать в качестве необходимого, но не достаточного условия равновесия в гетерогенной системе. Так, например, если в двухкомпонентной системе, на которую оказывают влияние два внешних параметра, экспериментально установлено наличие пяти фаз, то, согласно (3.16), система не достигла состояния равновесия (поскольку в этом случае должно быть  $\Phi \leq 4$ ).

Выражение (3.16) справедливо для систем, на состояние которых влияют два параметра ( $p$  и  $T$ ). В более общем случае, для  $n$  параметров, влияющих на систему, получим (3.17):

$$\Phi \leq k + n. \quad (3.17)$$

На практике часто рассматривают влияние только одного внешнего параметра на систему (т. е. рассматривают поведение системы при  $p = \text{const}$  (при переменной температуре) или  $T = \text{const}$  (при переменном давлении)). В этом случае  $n = 1$  и правило фаз Гиббса имеет вид (3.18):

$$f = k - \Phi + 1. \quad (3.18)$$

Если рассматривать поведение системы при фиксированных температуре и давлении (*T*, *e*, *p*,  $\bar{T} = \text{const}$ ,  $\bar{n} = 0$ ), то

$$f = k - \Phi. \quad (3.19)$$

### 3.3. Фазовые равновесия в однокомпонентных системах.

#### Уравнение Клапейрона — Клаузуса

Будем рассматривать равновесие чистого вещества в двух фазах однокомпонентной ( $k = 1$ ) системы. К таким двухфазным равновесиям относятся процессы:

- а)  $A_{\text{тв}}$     $A_{\text{ж}}$  процесс плавления (обратный процесс — кристаллизация);
- б)  $A_{\text{ж}}$     $A_{\text{раз}}$  процесс испарения (обратный процесс — конденсация);
- в)  $A_{\text{тв}}$     $A_{\text{раз}}$  процесс сублимации (обратный процесс — десублимация или конденсация).

Для таких равновесий справедливо уравнение Клапейрона — Клаузуса, которое легко вывести из термодинамических условий равновесия в гетерогенных системах. Для равновесия двух фаз (I и II) чистого вещества должны выполняться условия (3.20):

$$(3.20)$$

Из соотношения (3.20) следует, что Для чистого вещества химический потенциал  $\mu$  есть не что иное, как молярная энергия Гиббса откуда  $d\mu = d\bar{G}$  (чертя над символами обозначает, что мы имеем дело с молярной величиной). Учитывая, что  $dG = V \cdot dp - S \cdot dT$  (1.90), для фаз I и II можно записать выражения (3.21) и (3.22) соответственно:

$$d\mu^{\text{II}} = d\bar{G}^{\text{II}} = \bar{V}^{\text{II}} dp - \bar{S}^{\text{II}} dT, \quad (3.22)$$

где  $\bar{V}^{\text{I}} (\bar{S}^{\text{I}})$  и  $\bar{V}^{\text{II}} (\bar{S}^{\text{II}})$  — молярные объемы (молярные энтропии) веществ в фазах I и II соответственно ( $\text{m}^3 \cdot \text{моль}^{-1}$ ,  $\text{Дж} \cdot \text{моль}^{-1} \cdot \text{K}^{-1}$ ).

С учетом того, что из равенства выражений (3.21) и (3.22) получим (3.23):

$$(3.23)$$

откуда, проведя необходимые преобразования, получим (3.24):

$$\frac{dp}{dT} = \frac{\bar{S}^{\text{II}} - \bar{S}^{\text{I}}}{\bar{V}^{\text{II}} - \bar{V}^{\text{I}}} = \frac{\Delta S_{\phi, \text{II}}}{\Delta V_{\phi, \text{II}}}, \quad \text{или} \quad \frac{dT}{dp} = \frac{\Delta V_{\phi, \text{II}}}{\Delta S_{\phi, \text{II}}}, \quad (3.24)$$

где  $\Delta S_{\phi, \text{II}}$  — энтропия фазового перехода (т. е. разность молярных энтропий вещества в двух фазах),  $\text{Дж} \cdot \text{моль}^{-1} \cdot \text{K}^{-1}$ ,  $\Delta V_{\phi, \text{II}}$  — изменение объема вещества при фазовом переходе (т. е. разность молярных объемов вещества в двух фазах),  $\text{м}^3 \cdot \text{моль}^{-1}$ .

Подставляя в (3.24) выражение  $\Delta S_{\phi, \text{II}} = \Delta H_{\phi, \text{II}} / T_{\phi, \text{II}}$  (подраздел 1.8, формула (1.46)), получим для обратимых изотермических фазовых переходов

$$\frac{dp}{dT} = \frac{\Delta H_{\phi, \text{II}}}{T_{\phi, \text{II}} \cdot \Delta V_{\phi, \text{II}}}, \quad \text{или} \quad \frac{dT}{dp} = \frac{T_{\phi, \text{II}} \cdot \Delta V_{\phi, \text{II}}}{\Delta H_{\phi, \text{II}}}, \quad (3.25)$$

где  $\Delta H_{\phi, \text{II}}$  — молярная энтальпия (теплота) фазового перехода,  $\text{Дж} \cdot \text{моль}^{-1}$  (или  $\text{Дж} \cdot \text{моль}^{-1}$ );

$$dp/dT \quad \text{— температурный коэффициент давления для соответствующего фазового перехода (для сублимации), испарения — температурный коэффициент давления насыщенного пара), Па \cdot \text{К}^{-1}.$$

Выражения (3.24) и (3.25) представляют собой *дифференциальные формулы* [записи] *уравнения Клапейрона — Клаузуса*.

Для равновесий с участием газовой фазы (испарение, сублимация) уравнение Клапейрона — Клаузуса часто представляют в ином, упрощенном виде. В этих случаях

а поскольку молярный объем газа значительно больше молярного объема конденсированной (твердой или жидкой) фазы

$$\bar{V}_g \gg \bar{V}_{\text{ж}}, \quad \bar{V}_g \gg \bar{V}_{\text{тв}},$$

то

$$\Delta V_{\phi, \text{II}} \approx \bar{V}_g,$$

откуда

$$\frac{dp}{dT} = \frac{\Delta H_{\phi, \text{II}}}{T_{\phi, \text{II}} \cdot \bar{V}_g}. \quad (3.26)$$



При этом необходимо отметить следующее. Поскольку молярные объемы конденсированных фаз близки (так,  $\bar{V}_{\text{ж}} \approx \bar{V}_{\text{тв}}$ ), изменение объема вещества при плавлении очень мало. Так как  $\Delta V_{\text{пп}} \ll \Delta V_{\text{исп}}$ ,

$$\Delta V_{\text{пп}} \ll \Delta V_{\text{субл}}, \quad \text{то} \left( \frac{dp}{dT} \right)_{\text{пп}} \gg \left( \frac{dp}{dT} \right)_{\text{исп}}, \quad \text{на диаграмме состояния однокомпонентной системы}$$

гравмме состояния однокомпонентной системы зависимость  $p = f(T)$  для процесса плавления имеет наибольший наклон и изображается в виде практически прямой линии, проходящей вертикально (коэффициент  $\left( \frac{dp}{dT} \right)_{\text{пп}}$  имеет очень большое значение). Из вышесказанного следует, что температура фазового перехода между конденсированными фазами слабо зависит от давления  $p$ , поэтому (3.32) можно записать как (3.33):

$$(3.33)$$

Таким образом, величина  $dT/dp$  численно равна изменению температуры плавления вещества при изменении давления на единицу. Для процесса плавления воды

$$K \cdot \text{атм}^{-1}, \text{ т. е. повышение давления на 1 атм снижает точку плавления льда всего на } 0,0075 \text{ К.}$$

Если в равновесии находятся три фазы одного и того же вещества (например, твердое, жидкость и пар), то это будет т. н. *тройная точка*. В тройной точке выполняется соотношение (3.4):

$$\Delta H_{\text{субл}} = \Delta H_{\text{исп}} + \Delta H_{\text{пп}}, \quad (3.4)$$

которое легко вывести из закона Гесса, составив термохимический цикл (рис. 3.2). Учитывая (3.4), зная величины теплот двух фазовых переходов в тройной точке, легко рассчитать теплоту третьего процесса. Выражение (3.4) часто используют для определения теплоты плавления вещества  $\Delta H_{\text{пп}}$  в тройной точке; при этом значения

теплот сублимации  $\Delta H_{\text{субл}}$  и испарения  $\Delta H_{\text{исп}}$  вещества в тройной точке предварительно определяют при помощи формул (3.28) (рис. 3.1) или (3.29).

### 3.4. Диаграммы состояния однокомпонентных систем

В однокомпонентной системе число независимых компонентов  $k = 1$ , поэтому правило Гибоса имеет вид (3.35):

$$f = 3 - \Phi. \quad (3.35)$$

В этом случае в качестве внешних переменных параметров выбирают температуру и давление. Поскольку  $f \geq 0$ , то  $(3 - \Phi) \geq 0$ , откуда  $\Phi \leq 3$ , т. е. число фаз, находящихся в равновесии в однокомпонентной системе, не может быть больше трех.

Поскольку состав всех фаз в однокомпонентной системе одинаков, уравнение состояния имеет вид  $f(P, V, T) = 0$  и полная диаграмма состояния однокомпонентной системы является трехмерной (в координатах  $P - V - T$ ). Для удобства часто по отдельности рассматривают проекции полной диаграммы на соответствующие плоскости; получаемые при этом плоские (двумерные) диаграммы называют  $P - V$ ,  $V - T$  и  $T - P$ . Изображают последний вид диаграмм (диаграммы в  $P - T$  координатах), изображающих зависимость состояния однокомпонентной системы от естественных внешних параметров:  $P$  и  $T$ .

В основе анализа диаграмм состояния, как показал Н. С. Куранков, лежат два общих положения (принципа): принцип непрерывности и принцип соответствия.

Согласно *принципу непрерывности* при непрерывном изменении параметров, определяющих состояние системы, свойства отдельных составляющих систему фаз изменяются также непрерывно. Свойства же системы в целом непрерывно изменяются до тех пор, пока не изменяется число и природа составляющих ее фаз; при исчезновении старых или появлении новых фаз свойства системы в целом изменяются скачкообразно.

Согласно *принципу соответствия* на диаграмме состояния в равновесии каждому комплексу фаз и каждой фазе в отдельности соответствует свой *геометрический образ – плоскость (поле), линия, точка*. Например, фаза на плоской (двумерной) диаграмме состояния одно-

компонентной системы изображается *полем*, представляющим собой совокупность *фигуративных точек*, изображающих состояние равновесной системы. Равновесия двух фаз изображаются *линиями*, разделяющими эти поля. Равновесие трех фаз изображается *точкой* пересечения этих линий, называемой *тройной точкой*.

По диаграмме состояния можно установить число, химическую природу и границы (области) существования фаз.

На рис. 3.3 представлена типичная диаграмма состояния однокомпонентной системы в  $p - T$ -координатах. На диаграмме можно выделить три фазовые области (фазовых поля): «*кристалл*», «*жидкость*» и «*пар*». Кристаллическое состояние вещества («*кристалл*») наиболее устойчиво при высоких давлениях и низких температурах (выше и левее  $AOB$ ). При низких давлениях и высоких температурах (ниже и правее  $AOK$ ) вещество существует в виде газообразной фазы («*пар*»). Жидкое состояние вещества («*жидкость*») наиболее устойчиво при средних температурах и давлениях (между линиями  $OB$  и  $OK$ ).

В этих областях число фаз  $\Phi = 1$  и, согласно правилу фаз Гиббса (3.12):  $f = k - \Phi + 2 = 1 - 1 + 2 = 2$ , т. е. в этих областях система бивариантна. Это означает, с одной стороны, что для однозначного описания однофазной системы (например, кристалла – фигуративная точка «*a*») необходимо указать оба характеризующих ее параметра – температуру и давление ( $T_a$  и  $p_a$ ). С другой стороны, наличие у системы в т. «*a*» двух степеней свободы ( $f = 2$ ) позволяет в широких пределах (внутри фазового поля «*кристалл*») независимо друг от друга изменять оба параметра ( $p$  и  $T$ ) без изменения числа ( $\Phi = 1$ ) и природы («*кристалл*») составляющих систему фаз.

Разделяющая область «*кристалл*» и «*пар*» кривая  $AO$  выражает давление насыщенного пара над твердым телом в зависимости от температуры и называется *кривой возгонки* (сублимации). Кривая  $OK$ , разделяющая область «*жидкость*» и «*пар*», – это кри-

тавая зависимость давления насыщенного пара над жидкостью от температуры, т. е. это *кривая испарения*. Как было показано выше (подраздел 3.3), виду того, что  $\Delta H_{\text{субл}} > \Delta H_{\text{исп}}$ , кривая сублимации идет кривой испарения. Кривая  $OB$ , разделяющая фазовые области «*кристалл*» и «*жидкость*», выражает зависимость температуры кристаллизации (плавления) вещества от внешнего давления и называется *кривой плавления*. На рис. 3.3 приведена типичная диаграмма состояния (диаграмма состояния вещества, для которого

$dV_{\text{пп}} > 0$  и  $\frac{dp}{dT} > 0$ ), поэтому кривая  $OB$  имеет положительный (вправо) наклон к оси абсцисс (температуру). Кривые  $AO$ ,  $OK$  и  $OB$  соответствуют двухфазным равновесиям: «*кристалл*» – «*пар*», «*жидкость*» – «*пар*» и «*кристалл*» – «*жидкость*» соответственно. При этих условиях  $\Phi = 2$  и  $f = 3 - 2 = 1$ , т. е. система является моновариантной. Для описания такого состояния системы необходимо указать только один параметр: температуру или давление (независимый параметр), величину второго (зависимый параметр) можно определить из уравнения Капеллерона – Клаузиса. С другой стороны, если мы хотим, чтобы фигуративная точка системы оставалась на фазовой линии (например, точка «*b*» на *кривой испарения*), то, изменяя температуру системы, мы должны соответствующим образом изменять и давление – увеличивать при возрастании  $T$  и наоборот.

На диаграмме состояния, приведенной на рис. 3.3, имеется две особые точки – точки  $O$  и  $K$ . Точка  $O$  называется *тройной точкой* и выражает условия, при которых в системе в равновесии находится одновременно три фазы – твердая, жидкая и газообразная. Так как  $\Phi = 3$ , то  $f = 3 - 3 = 0$ , т. е. система в этой точке нонвариантна (безвариантна). Это означает, что в однокомпонентной системе три фазы («*кристалл*», «*жидкость*» и «*пар*») в равновесии будут находиться только при определенных значениях температуры ( $T_{\text{тр.т}}$ ) и давления ( $p_{\text{тр.т}}$ ). Если мы изменим хотя бы один ( $T_{\text{тр.т}}$  или  $p_{\text{тр.т}}$ ), то в системе произойдет процесс, приводящий к исчезновению одной или двух фаз. Таким образом, в тройной точке мы не в состоянии изменить ни один параметр системы без изменения (уменьшения) числа фаз в системе. С другой стороны, параметры тройной точки (температура –  $T_{\text{тр.т}}$  и давление –  $p_{\text{тр.т}}$ ) зависят только от природы вещества, что позволяет использовать температуры тройных точек различных веществ (вода, аргон и др.) в качестве референтных (точек отсчета) при построении практических температурных шкал (иначе говоря, при измерении температуры).

Рис. 3.3. Диаграмма состояния однокомпонентной системы (при отсутствии полиморфных превращений)

Точка  $K$  называется *критической* и отвечает состоянию системы, в котором исчезают различия между жидкостью и паром, т. е. их свойства становятся тождественными. Это состояние (*критическое состояние*) характеризуется *критическими параметрами* (температура  $T_{\text{крит}}$  – и давление  $p_{\text{крит}}$ ). Критические параметры, как и параметры тройной точки, являются важными свойствами вещества. Для воды ( $\text{H}_2\text{O}$ ) эти параметры составляют:  $T_{\text{крит}} = 374^\circ\text{C} = 647\text{ K}$  и  $p_{\text{крит}} = 22,1\text{ МПа} \approx 218\text{ атм.}$

Плавление ряда веществ протекает не с увеличением (что типично), а с уменьшением объема ( $\Delta V_{\text{пп}} < 0$ ). В этом случае  $\left(\frac{dp}{dT}\right)_{\text{пп}} < 0$  и

линия плавления  $OB$  имеет отрицательный наклон к оси абсцисс (температуру) (рис. 3.4). Температура плавления в этом случае не увеличивается, а уменьшается при увеличении давления. Как было указано выше, к таким веществам относится вода, висмут и ряд других химических соединений.

Если вещество в твердом состоянии может существовать в виде нескольких полиморфных модификаций, то вид диаграммы состояния однокомпонентной системы усложняется. Область существования твердой фазы («кристалл» на рис. 3.3, 3.4) окажется разбитой на несколько фазовых полей, количество которых будет соответствовать количеству устойчивых полиморфных модификаций вещества.

### 3.5. Фазовое равновесие в двухкомпонентных системах.

#### Идеальные и реальные растворы

*Raствором* называется гомогенная система, состоящая из двух и более компонентов, состав которой можно непрерывно изменять в определенных пределах. По *агрегатному состоянию* различают *газообразные* (смеси газов, например, воздух), *жидкие* (раствор этанола

или сахарозы в воде) и *твердые растворы* (сплавы, например бронзы или латуни).

Различают твердые растворы *замещения*, *вычитания* и *внеордина*, а также твердые растворы с *неограниченной* и *ограниченной* растворимостью компонентов друг в друге в твердом состоянии.

С термодинамической точки зрения все составляющие раствора равнозначны, хотя при описании жидких растворов обычно различают *растворитель* и *растворенное вещество*. При этом растворителем считаю обязательно то вещество, которое в чистом виде находится в том же агрегатном состоянии, что и раствор (т. е. в жидком). Если агрегатное состояние всех компонентов раствора в чистом виде одинаковое и соответствует агрегатному состоянию раствора (жидкое), то в качестве растворителя принято рассматривать то вещество, которое содержится в растворе в большем количестве.

Одной из важнейших характеристик раствора, от которой существенно зависит его свойства, является его состав (концентрации всех его компонентов). Существуют различные способы выражения концентраций компонентов раствора:

- 1) молярная (мольная) доля  $x_i$  – отношение количества молей  $i$ -го компонента раствора  $n_i$  к общему количеству молей всех веществ в растворе:

$$x_i = \frac{n_i}{\sum n_i}, \text{ или } g_i(\%) = \frac{n_i}{\sum n_i} \cdot 100\%, \text{ при этом} \quad (3.36)$$

жидкость

$$\sum x_i = 1, \text{ или } \sum x_i(\%) = 100\%;$$

- 2) массовая доля  $g_i$  (или  $\omega_i$ ) – отношение массы  $i$ -го компонента кристалла  $m_i$  к общей массе раствора:

$$g_i = \frac{m_i}{\sum m_i}, \text{ или } \omega_i(\%) = \frac{m_i}{\sum m_i} \cdot 100\%, \text{ при этом} \quad (3.37)$$

$T_{\square} \sum g_i = 1, \text{ или } \sum g_i(\%) = 100\%;$

Рис. 3.4. Диаграмма состояния однокомпонентной системы субстанции  $g$  в случае  $\Delta V_{\text{пп}} < 0$

$T_{\square} \sum g_i = 1, \text{ или } \sum g_i(\%) = 100\%;$

Рис. 3.4. Диаграмма состояния однокомпонентной системы субстанции  $g$  в случае  $\Delta V_{\text{пп}} < 0$

$$\sum \varphi_i = 1, \text{ или } \sum \varphi_i(\%) = 100\%;$$

$$(3.38)$$

4) молярная концентрация (молярность)  $C_i$  – количество молей  $i$ -го компонента, содержащееся в 1 л раствора:

$$[C_i] = \text{моль} \cdot \text{л}^{-1}, \quad (3.39)$$

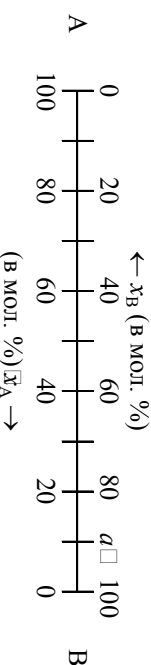
5) моляльность  $m_i$  – количество молей  $i$ -го компонента, приходящееся на 1 кг растворителя:

$$m_i = \frac{n_i}{m_{\text{растворителя}}}, \text{ где } m_{\text{растворителя}} \text{ – масса растворителя, кг; } \quad (3.40)$$

$$[m_i] = \text{моль} \cdot (\text{кг растворителя})^{-1}.$$

При рассмотрении диаграмм состояния двухкомпонентных систем для выражения состава фаз чаще всего пользуются молярными или массовыми долями или соответствующими процентами.

Состав двухкомпонентной системы, состоящей из двух компонентов А и В, выражается следующим образом. Ось составов (отрезок АВ) разбивается на определенное число (10, 100 и т. д.) равных отрезков (масштабируется). Крайние точки на оси составов (края отрезка АВ) соответствуют чистым компонентам. Так, слева, в т. А, система однокомпонентна и содержит только вещество А (100 мол. % А и 0 мол. % В); справа, в т. В, система состоит только из вещества В (100 % мол. В и 0 мол. % А). Содержание компонента В в системе увеличивается слева направо, а компонента А – справа налево. Система, состав которой обозначен т.  $a$ , состоит из 90 мол. % В и 10 мол. % А.



Поскольку для двухкомпонентной системы  $x_A + x_B = 100$  мол. % достаточно указать содержание в системе только одного (любого) компонента, содержание другого задается автоматически.

По характеру взаимодействия компонентов раствора различают идеальные и реальные растворы. В *идеальных растворах* (состоящих из компонентов А и В) энергия взаимодействия двух различных частиц ( $E_{\text{A-B}}$ ) такая же, как и двух одинаковых ( $E_{\text{A-A}}$  и  $E_{\text{B-B}}$ ):

$$E_{\text{A-B}} = \frac{1}{2} \cdot (E_{\text{A-A}} + E_{\text{B-B}}). \quad (3.41)$$

Образование таких растворов происходит атермически (без теплового эффекта – теплота не выделяется и не поглощается, теплота смешения  $\Delta H_{\text{см}} = 0$ ), без изменения объема (изменение объема при смешении  $\Delta V_{\text{см}} = 0$ ), изменение энтропии системы при образовании таких растворов такое же, как и при смешении идеальных газов:

$$\Delta S_{\text{см}} = -R \cdot (x_1 \cdot \ln x_1 + x_2 \cdot \ln x_2) \text{ (на 1 моль смеси),} \quad (3.42)$$

где  $x_1$  и  $x_2$  – молярные доли компонентов 1 и 2.

Идеальные жидкие растворы подчиняются закону Рауля. Такие растворы образуются из веществ, которые очень близки по своим свойствам (изотопы, гомологи).

На практике в большинстве случаев при смешении жидких компонентов образуются *реальные растворы*. В таких растворах энергия взаимодействия разнородных частиц отличается от энергии взаимодействия одинаковых частиц:

$$E_{\text{A-B}} \neq \frac{1}{2} \cdot (E_{\text{A-A}} + E_{\text{B-B}}), \quad (3.43)$$

образование таких растворов сопровождается тепловым эффектом ( $\Delta H_{\text{см}} \neq 0$ ) и/или изменением объема ( $\Delta V_{\text{см}} \neq 0$ ), изменение энтропии при смешении компонентов реальных растворов отличается от энтропии смешения идеальных газов (3.42), реальные жидккие растворы не подчиняются закону Рауля.

Различают реальные растворы с положительными и отрицательными отклонениями от идеальности (от закона Рауля). При *положительных отклонениях* от идеальности энергия взаимодействия разнородных частиц в растворе *меньше* энергии взаимодействия одинаковых частиц:

$$E_{\text{A-B}} < \frac{1}{2} \cdot (E_{\text{A-A}} + E_{\text{B-B}}), \quad (3.44)$$

такие растворы образуются, как правило, эндотермически ( $\Delta H_{\text{см}} > 0$ ), с увеличением объема ( $\Delta V_{\text{см}} > 0$ ). Если энергия взаимодействия разнородных частиц в растворе *больше* энергии взаимодействия одинаковых частиц

$$E_{\text{A-B}} > \frac{1}{2} \cdot (E_{\text{A-A}} + E_{\text{B-B}}), \quad (3.45)$$

говорят о растворах с *отрицательными отклонениями* от идеальности

(закона Рауля); образование таких растворов сопровождается выделением теплоты ( $\Delta H_{\text{см}} < 0$ ) и уменьшением объема ( $\Delta V_{\text{см}} < 0$ ).

Чем больше величина теплового эффекта пропорции смешения ( $\Delta H_{\text{см}}$ ) и изменение объема при образовании раствора ( $\Delta V_{\text{см}}$ ), тем больше отклонение системы от идеальности. В случае, если  $\Delta H_{\text{см}}$  и  $\Delta V_{\text{см}}$  невелики (по модулю), говорят о системах (растворах) с незначительными (слабыми) отклонениями от идеальности. Если же образование раствора сопровождается значительным тепловым эффектом ( $\Delta H_{\text{см}}$ ) и/или изменением объема ( $\Delta V_{\text{см}}$ ), то говорят о значительном (сильном) отклонении раствора (системы) от идеальности.

### 3.6. Давление насыщенного пара над раствором.

**Закон Рауля. Закон Генри**

Рассмотрим двухкомпонентную систему А – В, компоненты которой неограниченно растворимы друг в друге в жидким состоянии и при любых соотношениях образуют идеальный раствор. При нагревании таких растворов в пар переходят оба компонента, поэтому пар, как и жидкость, состоит из двух веществ – А и В. Общее давление насыщенного пара над раствором ( $p$ ) равно  $p = p_A + p_B$ , где  $p_A$  и  $p_B$  – парциальные давления насыщенного пара компонентов А и В соответственно. При этом молярные доли компонентов в паре ( $y_A, y_B$ ) в соответствии с законом Далттона будут равны

$$y_A = \frac{p_A}{p}, \quad y_B = \frac{p_B}{p}. \quad (3.46)$$

Согласно закону Рауля, при любой заданной температуре парциальное давление насыщенного пара любого компонента над жидким идеальным раствором прямо пропорционально молярной доле этого компонента в растворе (3.47):

$$p_A = x_A \cdot p_{0,A}, \quad p_B = x_B \cdot p_{0,B}, \quad (3.47)$$

где  $x_A, x_B$  – молярные доли компонентов А и В в жидкой фазе (растворе);  
– давление насыщенного пара над чистыми жидкими компонентами А и В при данной температуре  $T$ .  
В общем виде математическое выражение закона Рауля можно записать следующим образом (3.48):

$$(3.48)$$

Для идеальных растворов закон Рауля выполняется для всех компонентов при всех температурах и концентрациях. Изобразим графически, как изменяются парциальные давления насыщенного пара компонентов идеального раствора и общее давление насыщенного пара над идеальным раствором при изменении его состава.

Пусть, например,  $p_{0,A} < p_{0,B}$  (рис. 3.5), т. е. более летучим (легокипящим) является компонент В – вещество, имеющее более высокое давление насыщенного пара при одинаковой температуре. Из закона Рауля (3.47):

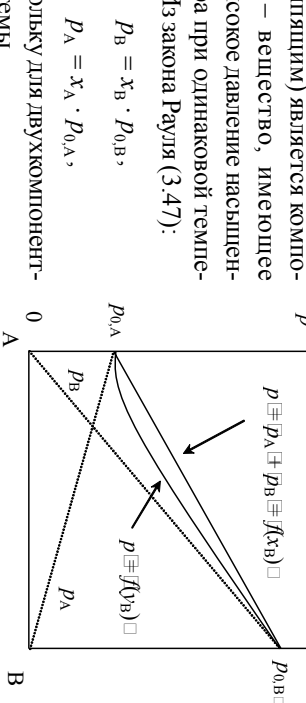


Рис. 3.5. Зависимости  $p_A = f(x_B)$ ,  $p_B = f(x_B)$ ,  $p = f(x_B)$  для идеальных растворов при  $T = \text{const}$

Согласно закону Далттона,

$$\square p = p_A + p_B = p_{0,A} - x_B \cdot p_{0,A} + x_B \cdot p_{0,B},$$

или

$$p = p_{0,A} + x_B \cdot (p_{0,B} - p_{0,A}), \quad (3.49)$$

т. е. общее давление пара над идеальным раствором линейно увеличивается при увеличении содержания в растворе более летучего (легокипящего) компонента. Сравнивая (3.46) и (3.47), можно показать, что составы жидкости ( $x_A$  и  $x_B$ ) и пара ( $y_A$  и  $y_B$ ) связаны соотношениями (3.50):

$$\frac{y_A}{x_A} = \frac{p_{0,A}}{p}, \quad \frac{y_B}{x_B} = \frac{p_{0,B}}{p}. \quad (3.50)$$

Поскольку в данной системе более летучим является компонент В, то  $p_{0,A} < p < p_{0,B}$ , из (3.50) следует, что

$$y_A < x_A, \quad y_B > x_B, \quad (3.51)$$

т. е. более летучего компонента (В) в паре больше, чем в жидкости, и

наоборот. Таким образом, зависимость общего давления пара над раствором от состава пара ( $v_B$ )  $p = f(v_B)$  проходит ниже зависимости  $\bar{p} = f(x_B)$  и является нелинейной (рис. 3.5).

В случае реальных растворов парциальные давления компонентов ( $p_A, p_B$ ) и общее давление насыщенного пара над раствором ( $p$ ) нелинейно изменяются при изменении состава раствора. При этом общее давление насыщенного пара над раствором с положительными отклонениями от закона Рауля выше, чем над идеальным раствором ( $p > p_{\text{идеал}}$ ), а над раствором с отрицательными отклонениями – меньше, чем над идеальным раствором ( $p < p_{\text{идеал}}$ ).

Для реальных растворов на зависимостях  $p_A = f(x_B)$  и  $p_B = f(x_A)$  можно выделить три участка (области). Рассмотрим эти области на примере раствора с положительными отклонениями от идеальности (рис. 3.6).

### Область I – разбавленный раствор компонента B в компоненте A.

В этой области зависимости  $p_A = f(x_B)$  и  $p_B = f(x_A)$  линейны, при этом для растворителя (компонент A) выполняется закон Рауля:  $p_A = x_A \cdot p_{0,A}$

(сплошная линия совпадает с приведенной вспомогательной), а для растворенного вещества (компонент B) – закон Генри:

$$p_B = x_B \cdot K_B. \quad (3.52)$$

где  $K_B$  – константа Генри для вещества A,  $x_B$ .

Для растворов с положительными отклонениями от закона Рауля  $K_B > p_{0,B}$ , с отрицательными – наоборот,  $K_B < p_{0,B}$ .

**Область II – область средних (обычных) концентраций.** В этой области зависимости  $p_A = f(x_B)$  и  $p_B = f(x_A)$ , как и  $p = f(x_B)$ , носят сложный характер и теоретически их предсказать сложно или вообще невозможно.

**Область III – разбавленный раствор компонента A в компоненте B.** В этой области, как и в области I, зависимости  $p_A = f(x_B)$  для реальных растворов (штриховые линии) и  $p_B = f(x_A)$  линейны, при этом в дан-

Рис. 3.6. Зависимости  $p_A = f(x_B)$ ,  $p_B = f(x_B)$ ,  $p = f(x_B)$  для реальных растворов (жирные линии) с положительными отклонениями от закона Рауля при  $T = \text{const}$ . Для сравнения показаны аналогичные зависимости для идеальных растворов (сплошные линии)

ном случае закон Рауля ( $p_B = x_B \cdot p_{0,B}$ ) выполняется для компонента B (растворитель), а закон Генри – для компонента A (растворенное вещество):

$$p_A = x_A \cdot K_A, \quad (3.53)$$

где  $K_A$  – константа Генри для вещества A,  $K_A > p_{0,A}$  (положительные отклонения от закона Рауля).

Следует отметить, что ширина областей I и III для реальных растворов не превышает, как правило, 1–2 мол. %, поэтому на диаграммах состояния эти области не всегда заметны.

Таким образом, в предельно разбавленных растворах для растворителей выполняется закон Рауля, а для растворенного вещества – закон Генри. Закон Генри был установлен опытным путем на основании анализа данных о растворимости газов в жидкостях и может быть сформулирован следующим образом:

1) парциальное давление насыщенного пара растворенного вещества над раствором пропорционально его мольной доле в растворе (при постоянной температуре):

$$p_i = x_i \cdot K_i; \quad (3.54)$$

2) растворимость газа в жидкости (при постоянной температуре) пропорциональна парциальному давлению газа над раствором:

$$\frac{K_i}{p} : \frac{p_i^2 = cc}{T^{\pm \text{const}}} \quad (3.54)$$

### 3.7 Диаграммы состояния двухкомпонентных систем типа «жидкость – пар». Правило Рщчага. Законы Коновалова

На рис. 3.7 приведены типичные диаграммы состояния двухкомпонентных систем «жидкость – пар» в случае систем с неограниченной растворимостью компонентов друг в друге в жидком состоянии, при этом на рис. 3.7, a диаграмма наблюдается в случае, если концентрации  $p_A$  и  $p_B$  образуют идеальный раствор. Как было показано ранее, при этом давление пара над раствором  $p = f(x_B)$  линейна. Примерами таких систем на рис. 3.6 являются растворы многих стереоизомеров, структурных изо-

для сравнения показаны аналогичные зависимости для идеальных растворов (штриховые линии) и  $p_B = f(x_B)$  линейны, при этом в данном случае  $p = f(x_B)$  для реальных растворов (жирные линии) с положительными отклонениями от закона Рауля при  $T = \text{const}$ . Для сравнения показаны аналогичные зависимости для идеальных растворов (сплошные линии)

Рис. 3.6. Зависимости  $p_A = f(x_B)$ ,  $p_B = f(x_B)$ ,  $p = f(x_B)$  для реальных растворов (жирные линии) с положительными отклонениями от закона Рауля при  $T = \text{const}$ . Для сравнения показаны аналогичные зависимости для идеальных растворов (сплошные линии)

$C_{11}H_{24}$ ). Классическим примером идеальных растворов являются системы, содержащие различные изотопы одного и того же элемента ( $H_2O$  и  $D_2O$ ,  $H_2^{16}O$  и  $H_2^{18}O$ ). Необходимо, однако, отметить, что для изотопов легких элементов при низких температурах наблюдаются значительные отклонения от идеальности (закона Рауля). Так, закону Рауля не подчиняются жидкие растворы  $H_2-D_2$ ,  $H_2-HD$ ,  $^3He-^4He$  и т. д.

Для растворов с небольшими (незначительными) отклонениями от идеальности диаграммы состояния имеют вид, приведенный на рис. 3.7, б-г. Если отклонения от идеальности положительны (рис. 3.7, б), то общее давление насыщенного пара над реальным раствором больше, чем над идеальным  $p > p_{\text{идеал}}$  (зависимость  $p_{\text{реал}} = f(x_B)$  на рис. 3.7-б) показана штриховой линией). Компоненты такого раствора переходят в пар легче, чем компоненты идеального раствора. Примерами систем данного рода на практике являются системы, образованные из веществ, молекулы которых в растворе слабо взаимодействуют между собой: бензол – толуол ( $C_6H_5-C_6H_5CH_3$ ), вода – метанол ( $H_2O-C_2H_5OH$ ), метанол – этиanol ( $CH_3OH-C_2H_5OH$ ), толуол – ацетон ( $C_6H_5CH_3-C_3H_7COCH_3$ ) и др.

Для систем с незначительными (небольшими) отрицательными отклонениями от идеальности (закона Рауля) общее давление насыщенного пара над раствором меньше, чем над идеальным раствором  $p < p_{\text{идеал}}$  (рис. 3.7, г), перевод компонентов такого раствора в пар требует больших затрат энергии, чем перевод в пар компонентов идеального раствора.

Чем больше отклонения реального раствора от идеальности, тем большее отличается давление насыщенного пара над реальным раствором от давления насыщенного пара над идеальным раствором и тем большую кривизну имеет зависимость  $p = f(x_B)$  для реального раствора. В случае больших (значительных) отклонений растворов от идеальности (закона Рауля) на зависимости  $p = f(x_B)$  появляется экстремум: максимум (рис. 3.7, г) для растворов с сильными положительными и минимум (рис. 3.7, д) для растворов с сильными отрицательными отклонениями от идеальности (закона Рауля). Как видно из рис. 3.7, г-д, в точках экстремума зависимости  $p = f(x_B)$  (линия жидкости) и  $p = f(y_B)$  (линия пара) совпадают. Примерами систем с сильными положительными отклонениями от идеальности (закона Рауля) являются системы этанол – четыреххлористый углерод ( $C_2H_5OH-CCl_4$ ), вода – этилацетат ( $H_2O-CH_3COOC_2H_5$ ), вода – этиanol ( $H_2O-C_2H_5OH$ ), этиanol – гептан ( $C_2H_5OH-C_7H_{14}$ ) и др. Сильные отрицательные отклонения от идеальности (закона Рауля) проявляют системы ацетон – хлороформ ( $CH_3COCH_3-CHCl_3$ ), азотная кислота – вода ( $HNO_3-H_2O$ ), серная кислота – вода ( $H_2SO_4-H_2O$ ) и др.

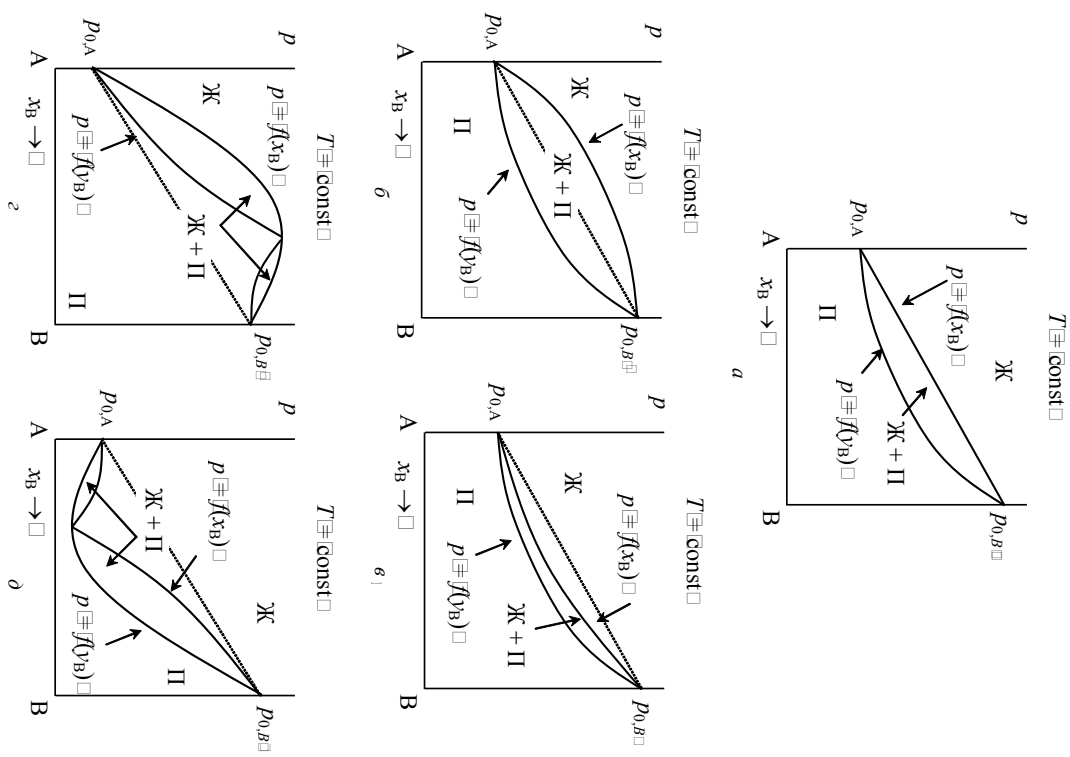


Рис. 3.7. Диаграммы состояния «жидкость – пар» (при  $T = \text{const}$ ) двухкомпонентных систем с неограниченной взаимной растворимостью компонентов друг в друге в жидким состоянии с образованием идеальных (а) и реальных растворов ( $\delta > 0$ ) с незначительными ( $\delta$ , б) и значительными ( $\delta$ , г) положительными ( $\delta$ , г) и отрицательными ( $\delta$ , д) отклонениями от идеальности

На практике разделение жидкых смесей проводят при помощи перегонки (перевод частики жидкости в пар с последующей конденсацией этого пара), которую осуществляют, нагревая жидкую смесь при постоянном давлении. Учитывая это, значительный практический интерес представляют не только изотермические ( $T = \text{const}$ ), но и изобарические ( $p \equiv \text{const}$ ) диаграммы состояния двухкомпонентных систем типа «жидкость – пар». На рис. 3.8 показана взаимосвязь между такими диаграммами на примере систем с незначительными и большими (значительными) положительными отклонениями от идеальности (закона Рауля). В приведенном примере более легким является компонент B, насыщенное давление пара которого выше ( $p_{0,B} > p_{0,A}$ ), а температура кипения ниже ( $T_B < T_A$ ), чем у компонента A.

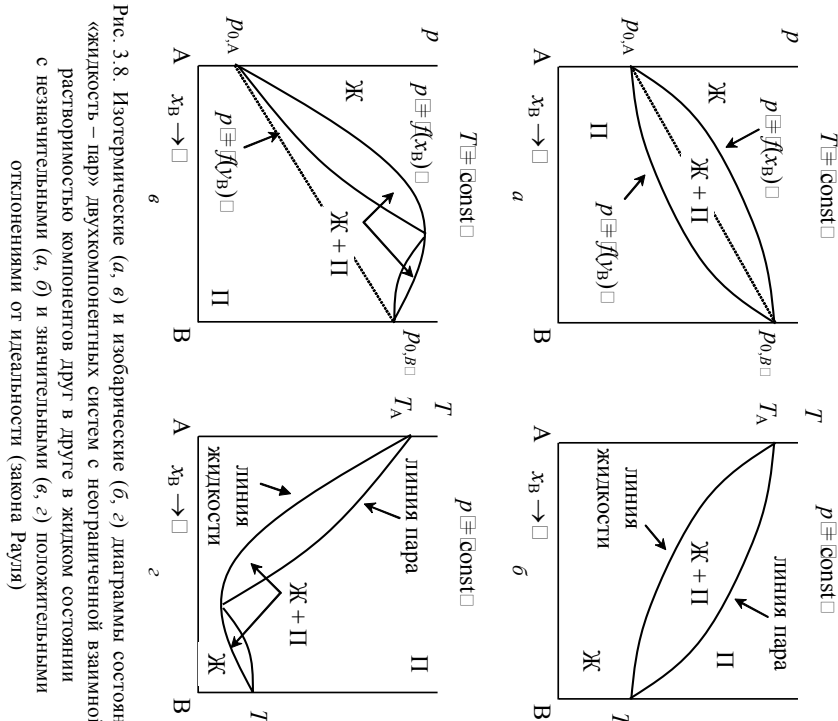


Рис. 3.8. Изотермические (a, б) и изобарические (б, в) диаграммы состояния «жидкость – пар» двухкомпонентных систем с неограниченной взаимной растворимостью компонентов друг в друге в жидком состоянии с незначительными (a, б) и значительными (б, в) положительными отклонениями от идеальности (закона Рауля)

Верхней линии на изотермической ( $T = \text{const}$ ) диаграмме состояния (рис. 3.8, a, б) соответствует нижняя линия на изобарической ( $p \equiv \text{const}$ ) (рис. 3.8, б, в). Такая линия выражает зависимость общего давления насыщенного пара над раствором от состава раствора при постоянной температуре  $p = f(x_B)$  или зависимость температуры кипения раствора от состава раствора при постоянном давлении  $T = f(x_B)$  и называется *линией жидкости*.

Нижней линии на изотермической ( $T = \text{const}$ ) диаграмме состояния (рис. 3.8, a, б) соответствует верхняя линия на изобарической ( $p \equiv \text{const}$ ) (рис. 3.8, б, в). Такая линия выражает зависимость общего давления насыщенного пара над раствором от состава пара при постоянной температуре  $p = f(x_B)$  или зависимость температуры кипения раствора от состава пара при постоянном давлении  $T = f(x_B)$  и называется *линией пара*. Минимуму на зависимости  $p = f(x_B)$  при  $T = \text{const}$  (системы с сильными отрицательными отклонениями от идеальности) соответствует максимум на зависимости  $T = f(x_B)$  при  $p \equiv \text{const}$ , и наоборот, максимуму на зависимости давления насыщенного пара над раствором  $p = f(x_B)$  при  $T = \text{const}$  (системы с сильными положительными отклонениями от идеальности) отвечает минимум на зависимости  $T = f(x_B)$  при  $p \equiv \text{const}$  (рис. 3.8, б, в). Точка экстремума на зависимостях  $p = f(x_B)$  или  $T = f(x_B)$  называется *изотермической точкой* (точкой азеотропа), а отвечающие ей температура и состав (при  $p \equiv \text{const}$ ) – *температура и состав азеотропа* (azeotropicus составом) соответственно. Учитывая это, системы с сильными (значительными) отклонениями от идеальности называют также *азеотропными системами* или системами с азеотропной точкой (в общем случае – точками).

Как видно из рис. 3.8, область (Ж), лежащая выше линии жидкости ( $p = f(x_B)$ ) на изотермической ( $T = \text{const}$ ) и ниже линии жидкости ( $T = f(x_B)$ ) на изобарической ( $p \equiv \text{const}$ ) диаграмме состояния, соответствует случаю, когда устойчивой фазой является жидкость, т. е. это область существования *жидкой гомогенной системы* (Ж). При повышенном давлении (или повышенной температуре) устойчивой фазой является пар, поэтому область (П), лежащая ниже линии пара ( $p = f(x_B)$ ) на изотермической ( $T = \text{const}$ ) и выше линии пара ( $T = f(x_B)$ ) на изобарической ( $p \equiv \text{const}$ ) диаграмме состояния, – это область существования *парообразной гомогенной системы* (П). Область на диаграмме, лежащая между линиями жидкости и пара (ограниченная этими линиями), является областью существования *гетерогенных*

систем, состоящих из двух существующих фаз – жидкого раствора и насыщенного пара ( $\text{Ж} + \Pi$ ).

Рассмотрим более детально изобарическую ( $p \equiv \text{const}$ ) диаграмму состояния двухкомпонентной системы типа «жидкость – пар» с незначительными положительными отклонениями от идеальности (рис. 3.9).

Возьмем любую точку, лежащую в гетерогенной (двухфазной) области ( $\text{Ж} + \Pi$ ), например точку  $c$ . Эта точка является *физуративной точкой системы*, поскольку ее положение на диаграмме определяет величину свойства системы (температуры  $T_c$ ) и состав системы в целом, численно равный  $x_c^c$ .

Рис. 3.9. Использование правила рычага

Для определения состава равновесных фаз гетерогенной системы через фигурутивную точку двухкомпонентной системы А–В необходимо провести отрезок  $hcj$ , параллельный оси составов, до пересечения его с граничными фазовыми линиями (линией жидкости и линией пара). Этот отрезок ( $hcj$ ) называется *нодой* (или *конодой*). Точки пересечения ноды (коноды) с фазовыми (граничными) линиями выражают состав фаз, находящихся в равновесии в системе при данных условиях, и называются *фазовыми точками*. Точка  $h$  лежит на линии пара и выражает состав паровой (газовой) фазы а точка  $j$  – на линии жидкости и выражает состав жидкой фазы

Точки  $h$  и  $j$  характеризуют свойства

(параметры состояния) пара и жидкости (температуру и состав) и называются также *точками пара и жидкости* соответственно.

Стоит отметить, что любая точка, лежащая в областях существования гомогенных систем ( $\text{Ж}$  или  $\Pi$ ), является одновременно и фигуративной, и фазовой точкой системы, поскольку для гомогенных систем понятия системы и фаза совпадают (гомогенная система состоит из одной фазы).

Учитывая вышесказанное, физический смысл линий жидкости и пара можно выразить иным образом: не через параметры системы в целом ( $T$  при  $p = \text{const}$  или  $p$  при  $T = \text{const}$ ), а через характеристики фаз, находящихся в равновесии в гетерогенной системе. Действительно, линии жидкости ( $T = f(x_\text{B})$  при  $p \equiv \text{const}$  и  $p = f(x_\text{B})$  при  $T = \text{const}$ ) и пара ( $T = f(y_\text{B})$  при  $p \equiv \text{const}$  и  $p = f(y_\text{B})$  при  $T = \text{const}$ ) выражают зависимость составов находящихся в равновесии жидкости ( $x_\text{A}$  или  $x_\text{B}$ ) и пара ( $y_\text{A}$  или  $y_\text{B}$ ) от температуры системы (при  $p \equiv \text{const}$ ) или давления в системе (при  $T = \text{const}$ ).

Для определения количеств (масс) фаз, существующих (находящихся в равновесии) в гетерогенной системе, используют *правило рычага*: отношение количеств (масс) двух фаз, находящихся в равновесии, равно пропорционально отношению расстояний от соответствующих фигуративных точек к физуративной точке системы.

Для гетерогенной системы, обозначенной на диаграмме состояния фигуративной точкой  $c$  (рис. 3.9), правило рычага можно записать следующим образом:

$$\frac{m_\text{Ж}}{m_\text{П}} = \frac{l_\infty}{c_j} \quad (3.55)$$

Это уравнение аналогично «уравнению рычага» в механике, где нода (коноды)  $hcj$  отождествляется с рычагом, имеющим точку опоры в фигуративной точке  $c$  (рис. 3.9). При этом массы фаз – это аналоги грузов на концах рычага, а отрезки  $hc$  и  $cj$  – плечи рычага:  $hc$  – плечо пара ( $l_\infty$ ), а  $cj$  – плечо жидкости ( $l_\infty$ ). Для вычисления масс (количество) каждой из фаз (жидкости и пара) необходимо учесть также уравнение материального баланса (т. е. массу системы в целом  $m_0$ ):

Рис. 3.9. Использование правила рычага

Величина массы системы задается условиями опыта, значения плеч рычага находят из диаграммы состояния, после чего путем совместного

решения системы уравнений (3.55–3.56) определяют массы (количество) образующих (составляющих) систему фаз.

Если состав системы выражен в молярных долях (молярных процентах), то количества сосуществующих фаз удобно выражать в молях. Если же на диаграмме состояния состав в выражен в массовых процентах, то количества образующих систему фаз изначально удобнее выражать в единицах массы (кг, г и т. д.).

Кроме того, зная координаты фазовых точек, т. е. содержание каждого из компонентов в каждой из фаз ( $x_A^j, x_B^j, y_A^h, y_B^h$ ), а также зная массы (количества) жидкой и паровой фаз можно определить и количество каждого из компонентов в каждой фазе

т. е. дать полное количественное описание гетерогенной системы (3.57):

$$\begin{aligned} m_{A,\text{ж}} &= x_A^j \cdot m_{\text{ж}}, \quad m_{B,\text{ж}} = x_B^j \cdot m_{\text{ж}}, \\ m_{A,\text{п}} &= y_A^h \cdot m_{\text{п}}, \quad m_{B,\text{п}} = y_B^h \cdot m_{\text{п}}. \end{aligned} \quad (3.57)$$

С помощью диаграмм состояния можно получить важную информацию о реальных процессах, протекающих в системе при изменении давления (при  $T = \text{const}$ ) или температуры (при  $p = \text{const}$ ).

Рассмотрим детально превращения, протекающие при изобарическом нагреве жидкости

(двухкомпонентного раствора). Обозначим исходное состояние системы фигуративной точкой  $a$  (рис. 3.10). Исходная система имеет состав (здесь и далее для краткости состав системы (исставляющих ее фаз) будем выражать, указывая содержание в системе одного (любого) компонента, поскольку

и находится при температуре  $T_a$ . Поскольку точка  $a$  лежит в гомогенной «жидкость – пар» с неограниченной взаимной растворимостью компонентов друг в друге

фигуративная точка системы  $a$  является одновременно и фазовой точкой жидкости.

Изобарическому нагреванию системы соответствует, очевидно, перемещение фигуративной точки вверх по пунктирной линии  $a-f$  (рис. 3.9). В области температур  $T < T_b$  система остается гомогенной (однофазной). При  $T = T_b$  фигуративная точка системы коснется нижней кривой (линии жидкости), система при этом станет гетерогенной – в ней появится вторая фаза – пар. Поскольку фазовая точка жидкости в данном случае совпадает с фигуративной точкой системы  $b$ , состав жидкости соединяется с составом системы и равен  $x_B^h$ . Для определения состава паровой фазы проведем наду  $bg$  до пересечения ее с линией пара. Фазовой точкой пара при  $T = T_b$  является точка  $g$ , пар имеет состав  $\text{правило рычага}$  для данной системы имеет следующий вид:

т. е. при температуре  $T_b$  паровая фаза над раствором только

начинает зарождаться (количество образующегося при  $T = T_b$  пара состава  $y_B^g$  бесконечно мало). Температуру  $T_b$  называют *температурой начала кипения жидкости* (раствора) или *температурой плавления первого пузырька пара* над раствором. При дальнейшем повышении

расторимостью компонентов друг в друге в жидком состоянии с различными ( $a, g$ ) и изобарическими ( $b, e$ ) диаграммы состояния жидкость – пар» двухкомпонентных систем с неограниченной взаимной растворимостью компонентов друг в друге в жидком состоянии с различными ( $a, g$ ) и изобарическими ( $b, e$ ) диаграммы состояния жидкость – пар» (рис. 3.10). Так, при идеальности (закона Рауля)

$T_b$  степенно обогащается паром более летучим компонентом: во-первых, пар над раствором увеличения температуры: во-вторых, пар над раствором

3.8. Изотермические ( $a, g$ ) и изобарические ( $b, e$ ) диаграммы состояния первого пузырька пара над раствором. При дальнейшем повышении расторимостью компонентов друг в друге в жидком состоянии с различными ( $a, g$ ) и изобарическими ( $b, e$ ) диаграммы состояния жидкость – пар» (рис. 3.10). Так, при идеальности (закона Рауля)

3.8. Изотермические ( $a, g$ ) и изобарические ( $b, e$ ) диаграммы состояния жидкость – пар» (рис. 3.10). Так, при идеальности (закона Рауля)

3.8. Изотермические ( $a, g$ ) и изобарические ( $b, e$ ) диаграммы состояния жидкость – пар» (рис. 3.10). Так, при идеальности (закона Рауля)

3.8. Изотермические ( $a, g$ ) и изобарические ( $b, e$ ) диаграммы состояния жидкость – пар» (рис. 3.10). Так, при идеальности (закона Рауля)

жидкости в системе  $m_{\infty} = 0$ . Отсюда следует, что т. е. при температуре  $T_c$  жидкость практически полностью перешла в пар. Температуру  $T_c$  называют *температурой окончания кипения жидкости* (раствора) или *температурой исчезновения последней капли жидкости*. Чтобы убрать последние следы жидкости, температуру необходимо повысить на бесконечно малую величину, и тогда система полностью перейдет в пар – станет гомогенной. При дальнейшем повышении температуры, например, до  $T = T_j$  и выше, система будет оставаться гомогенной (однофазной) и парообразной.

Итак, при изобарическом нагревании жидкой смеси состава  $x_B^a$  от температуры  $T_a$  до  $T_f$  фигуративная точка системы перемещается по линии  $abcdef$ , фазовая точка раствора (жидкости) перемещается при этом по линии  $abijkl$  (изменение состава раствора), а фазовая точка пара – по линии  $ghief$  (изменение состава пара). При этом происходят следующие фазовые превращения: раствор (жидкость)  $\rightarrow$  (раствор + насыщенный пар)  $\rightarrow$  (пар).

В завершение следует рассмотреть применение правила фаз Гибса в данной диаграмме (рис. 3.10). Поскольку система рассматривается при постоянстве одного из параметров ( $p \equiv \text{Const}$ ), то правило фаз Гибса в данном случае будет иметь вид (3.58):

$$f = k - \Phi + 1. \quad (3.58)$$

Применим выражение (3.58) для расчета варианты различных систем на диаграмме, приведенной на рис. 3.10.

В точке  $a$  система является гомогенной ( $\Phi = 1$ ) и двухкомпонентной ( $k = 2$ ), поэтому в данном случае  $f_a = 2 - 1 + 1 = 2$ , т. е. рассматриваемая система *бивариантна* (*дивариантна*). Это означает, что для полного описания такой системы необходимо указать два параметра: температуру и содержание любого из компонентов (A или B) в растворе. Этот же результат можно интерпретировать иначе: фигуративная точка  $a$  соответствует таким системам, у которых произвольно в некоторых пределах (в пределах нижней области (Ж) на диаграмме) можно изменять температуру и концентрацию раствора, не вызывая возникновения какой-либо новой фазы. Аналогичным будет рассмотрение любой фигуративной точки из области жидкости (ЖК) или пара (П), в которых система однофазна.

Рассмотрим фигуративную точку  $d$ . В этом случае система гетерогенна и состоит из двух фаз: жидкости и пара ( $\Phi = 2$ ), поэтому в данном случае  $f_d = 2 - 2 + 1 = 1$ , т. е. рассматриваемая система *моновариантна*.

Это означает, что для ее описания достаточно задать лишь один из трех параметров, характеризующих систему, чтобы по диаграмме определить значения двух других. Например, указав температуру  $T_d$ , мы однозначно определяем составы сосуществующих в системе при данной температуре фаз: жидкости и пара, которым на диаграмме отвечают фазовые точки  $i$  (точка пара) и  $k$  (точка жидкости). В данном случае в качестве независимого параметра выступает температура  $T$ , а составы фаз рассматриваются как зависимые параметры:  $y_B = f(T)$ ,  $x_B = g(T)$ . Поскольку  $f_d = 1$ , то произвольно можно изменять только один из характеризующих систему параметров, сохранив при этом число и природу образующих систему фаз. Так, например, при понижении температуры от  $T_d$  до  $T_c$  фигуративная точка системы переместится от  $d$  к  $c$ , при этом система остается двухфазной (Ж + П), изменяется лишь составы фаз в соответствии с кривыми  $ih$  и  $kj$ . Состав раствора при температуре  $T_c$  будет выражаться фазовой точкой  $j$ , а пара –  $h$ .

Аналогичным будет рассмотрение применения правила фаз Гибса для любой другой точки из гетерогенной области (Ж + П), а также для точек, лежащих на линии жидкости или линии пара, поскольку эти линии входят в гетерогенную область.

В заключение рассмотрим фигуративную точку, отвечающую температуре кипения чистого компонента, например,  $T_A$ . В этом случае  $k = 1$  (один компонент), а  $\Phi = 2$  (жидкий компонент A и его насыщенный пар). При этом  $f = 1 - 2 + 1 = 0$ . Система *негарантна*, что означает:

температура кипения чистой жидкости при заданном давлении является постоянной величиной, зависящей только от природы вещества, которая не может быть изменена.

Рассматривая двухкомпонентную систему, диаграмма состояния которой изображена на рис. 3.10, мы указывали, что для таких систем насыщенный пар над раствором обогащен по сравнению с раствором более летучим компонентом (A:  $T_A < T_B$ ,  $p_{0,A} > p_{0,B}$  и что повышение температуры приводит к увеличению содержания в паре и растворе менее летучего компонента (B:  $T_B > T_A$ ,  $p_{0,B} < p_{0,A}$ ). Кроме того, в гетерогенной области для таких двухкомпонентных систем всегда выполняется неравенство  $x_A \neq y_A$  (различие в составах находящихся в равновесии в гетерогенных системах жидкости и пара). Данное свойство описанных систем ( $x_A \neq y_A$ ) положено в основу *перегонки* – метода разделения жидких смесей путем испарения части жидкости (раствора) с последующей конденсацией полученного пара.

Указанные выше закономерности не выполняются для систем с сильными (значительными) отклонениями от идеальности (закона Рауля). В качестве примера рассмотрим изотермическуюю ( $T = \text{const}$ ) и изобарическуюю ( $p \equiv \text{const}$ ) диаграммы состояния двухкомпонентных систем типа «жидкость – пар» с сильными положительными отклонениями от идеальности (рис. 3.11). В этом случае более летучим является компонент B ( $T_B < T_A, p_{0,B} > p_{0,A}$ ).

Как видно, в области, богатой менее летучим компонентом A (левая часть диаграмм), отмеченные выше закономерности выполняются:  $x_B \neq y_B$  и

Для составов в правой части диаграмм (составы, богатые более летучим компонентом B)  $x_B \neq y_B$ , соотношение составов находящихся в равновесии в гетерогенной области жидкости и пара обратное:  $x_B > y_B$ .

В этом случае, оказывается, насыщенный пар над раствором обогашен не более, а менее летучим компонентом B. В экстремальных точках (максимум на зависимости  $p = f(x_B)$  при  $T = \text{const}$  и минимум на зависимости  $T = f(x_B)$  при  $p \equiv \text{const}$ ), как видно из рис. 3.11, составы находящихся в равновесии жидкости и насыщенного пара совпадают.

В общем случае взаимосвязь между составами находящихся в равновесии в гетерогенной системе насыщенным паром и жидкостью (раствором) выражается при помощи *закона Коновалова*:

*1-й закон Коновалова:* насыщенный пар над раствором обогашен по сравнению с раствором тем компонентом, увеличение содержания которого в растворе (добавление которого к раствору) приводит к повышению общего давления насыщенного пара над раствором (при постоянной температуре) и уменьшению температуры кипения раствора (при постоянном давлении).

На примере диаграмм, приведенных на рис. 3.11, легко убедиться в общем характере 1-го закона Коновалова. Действительно, для составов в левой части диаграммы в гетерогенной области пар над раствором обогашен по сравнению с раствором компонентом B ( $x_B < y_B$ ), увеличение содержания которого в растворе приводит к повышению общего давления насыщенного пара над раствором (рис. 3.11, a) и понижению температуры кипения раствора (рис. 3.11, б) (показано стрелками). Для составов же в правой части диаграммы в гетерогенной области насыщенного пар над раствором обогашен компонентом A ( $x_A < y_A$ ), добавление которого к раствору приводит к понижению температуры кипения раствора (при  $p \equiv \text{const}$ ) или увеличению общего давления насыщенного пара над раствором (при  $T = \text{const}$ ).

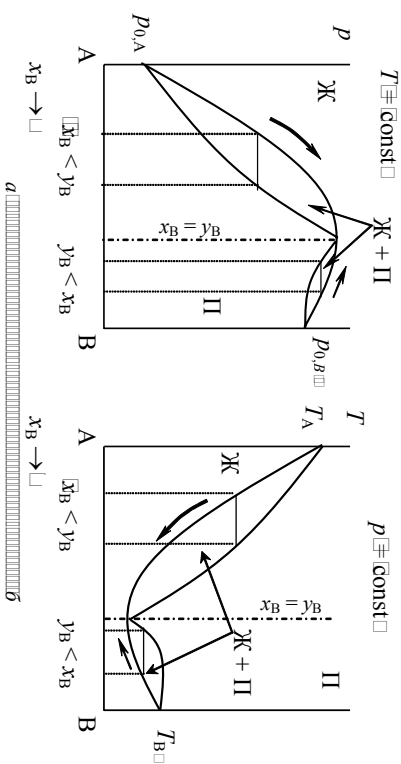


Рис. 3.11. Иллюстрация законов Коновалова на изотермической (a) и изобарической (б) диаграммах состояния «жидкость – пар» двухкомпонентной системы с положительными отклонениями от идеальности (закона Рауля)

Для азеотропных точек на диаграмме состояния справедлив 2-й закон Коновалова: в точках экстремума (максимума или минимума) общего давления насыщенного пара над раствором (при  $T = \text{const}$ ) или температуры кипения раствора (при  $p \equiv \text{const}$ ) составы находящихся в равновесии жидкой и парообразной фаз совпадают.

Математическое выражение 2-го закона Коновалова имеет такой вид:

$$x_B = y_B, \quad x_A = y_A. \quad (3.59)$$

Поскольку 2-й закон Коновалова, по сути, является уравнением связи, наложенным на систему в азеотропной точке, число независимых компонентов в этом случае отличается от числа составляющих систему веществ (компонентов). В данном случае число компонентов равно двум ( $s = 2$ , вещества A и B), число уравнений связи равно единице ( $r = 1$ : формула (3.59)), откуда  $k = s - r = 2 - 1 = 1$  и правило фаз Гиббса имеет вид  $f = k - \Phi + 1 = 1 - 2 + 1 = 0$ , т. е. в азеотропной точке система *нейтральная*. Таким образом, в азеотропной точке нельзя изменить ни один из параметров без изменения числа фаз в системе. Иначе говоря, в азеотропной точке система ведет себя как однокомпонентная, т. е. как чистое вещество, кипящее без разложения.

Поскольку в азеотропной точке составы находящихся в равновесии насыщенного пара и жидкости одинаковы, такие смеси (называемые азеотропными) нельзя разделить при помощи перегонки (простой или фракционной).

### 3.8. Диаграммы состояния двухкомпонентных систем типа «твёрдое тело – жидкость» (диаграммы плавкости)

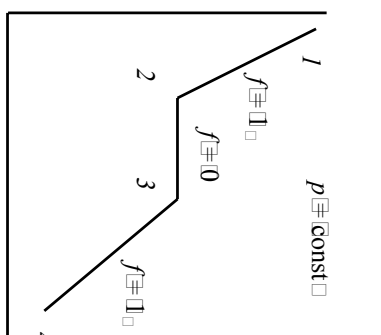
При описании равновесия типа «твёрдое тело – жидкость» используют те же принципы, закономерности и правила, которые были применены выше при описании фазовых равновесий типа «жидкость – пар».

Принципиальное отличие диаграмм плавкости от диаграмм кипения заключается в различной природе фаз, находящихся в равновесии в этих случаях, что приводит к появлению на диаграммах плавкости новых геометрических образов, отсутствующих на диаграммах кипения, а также к некоторым изменениям в терминологии. Ниже будут схематически рассмотрены некоторые основные типы изобарных диаграмм равновесия типа «жидкость (расплав) – твёрдое тело» (диаграмм плавкости).

Диаграммы плавкости реальных систем либо имеют такой же вид, либо могут быть представлены в виде комбинации этих основных диаграмм плавкости.

Диаграмму состояния равновесной системы, состоящей из жидкой и кристаллической (твёрдой) фаз, можно получить методами термического анализа, экспериментально изучая зависимость температуры системы от времени при медленном охлаждении этой системы. Такие графические зависимости называются *кривыми охлаждения*, на основании которых строят диаграммы плавкости, выражающие зависимость температур плавления смесей от их состава.

Рассмотрим в качестве примера кривую охлаждения чистого вещества (рис. 3.12). На участке 1–2 происходит охлаждение жидкости, здесь система однокомпонентна и однофазна. Применяя для ее описание правила фаз Гиббса (учитывая, что  $p \equiv \text{const}$ ), получим  $f_{1-2} = \Delta H - \Phi + 1 = 1 - 1 + 1 = 1$ , т. е. система моновариантна. На участке 2–3 происходит кристаллизация (затвердевание) жидкости (напомним, что кристаллизация – экзотермический процесс:  $\Delta H_{\text{крист}} < 0$ ), температура чистого расплавленного вещества



Время →

тема двухфазна (жидкость и кристаллы) и нонвариантна:  $f_{2-3} = 1 - 2 + 1 = 0$ . Участок 3–4 соответствует охлаждению твердой (кристаллической фазы).

Здесь, как и на участке 1–2, система одноФазна (но эта фаза – кристаллы) и моновариантна:  $f_{3-4} = 1 - 1 + 1 = 1$ .

Характер кривых охлаждения может наблюдаться изломы (точки замедления на кривых охлаждения) и плошадки (точки остановки охлаждения), может быть иным и зависит от свойств компонентов системы. При этом охлаждения) и плошадки (точки остановки охлаждения).

#### 3.8.1. Диаграмма плавкости двухкомпонентной системы [нейтральной взаимной растворимостью компонентов в твёрдом и жидком состояниях]

Такие системы образуют вещества, которые имеют одинаковый тип и близкие параметры кристаллической решетки: медь и никель (Cu – Ni), золото и серебро (Au – Ag), хлорид натрия и хлорид серебра (NaCl – AgCl) и др. Типичная диаграмма состояния для такой системы (называемой иногда *изоморфной смесью*) приведена на рис. 3.13.

Верхняя линия на диаграмме называется *линией ликвидуса* (или просто *ликвидус*), она выражает зависимость *температуры начала кристаллизации* (затвердевания) от состава расплава. Нижняя линия –

$p \equiv \text{const}$

линия *солидуса* (или просто *солидус*), она выражает зависимость *температуры окончания кристаллизации* от состава расплава. В выше линии ликвидуса система находится в жидком, а ниже линии солидуса – в твердом состоянии. В области между линиями ликвидуса и солидуса система гетерогенна и состоит в случае диаграммы, изображенной на рис. 3.13, из двух фаз – твердого тела и жидкости ( $T_A$  + Ж). Твёрдое тело в данном случае представляет собой твердый раствор замещения, или изоморфную смесь веществ A и B в твердом состоянии. Как

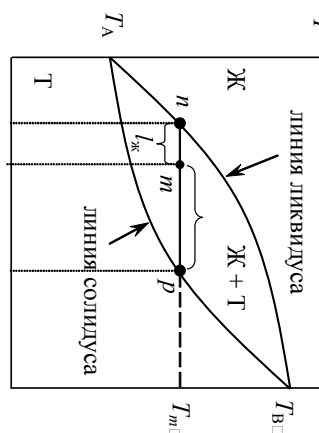


Рис. 3.13. Диаграмма плавкости двухкомпонентной системы с неограниченной взаимной растворимостью компонентов в твердом и жидком состояниях при  $p = \text{const}$

видно из рис. 3.13, температура начала (и окончания) кристаллизации зависит от состава расплава, причем состав выпадающих кристаллов не

совпадает с составом жидкости ( $x_B' \neq x_B$  при температуре  $T_m^1$ ).

Для определения составов фаз, находящихся в равновесии в гетерогенной области диаграммы, проводят коноды (*конода t<sub>int</sub>*), а для расчета количеств (масс) фаз, находящихся в равновесии, применяют правилотягчага. В целом описание системы такого рода проводится по схеме, использованной ранее при рассмотрении системы, диаграмма состояния которой приведена выше (на рис. 3.9–3.10).

### 3.8.2. Диаграмма плавкости двухкомпонентной системы Эвтектического типа

ческого типа. Такие системы образуют вещества, сильно различающиеся по структуре либо по параметрам кристаллической структуры и вследствие этого практически полностью нерастворимые друг в друге в твердом состоянии: кадмий и висмут ( $Cd - Bi$ ), алюминий и кремний ( $Al - Si$ ) и др. На рис. 3.14 приведена диаграмма состояния двухкомпонентной системы с простой эвтектикой.

PC II C

а эвтектический расплав имеет состав, промежуточный между составами чистых компонентов.

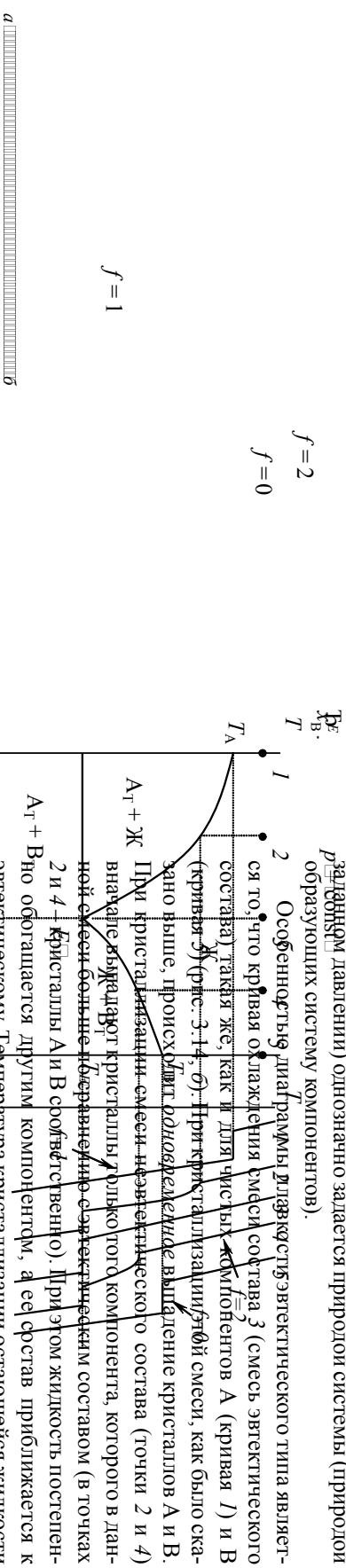


Рис. 3.14. Диаграмма плавкости ( $p = \text{const}$ ) двухкомпонентной системы мыльного жира в системе А – В (6)

Как видно из рис. 3.14, данная диаграмма состоит из четырех фазовых областей, смысл которых пояснен непосредственно на диаграмме, и двух фазовых линий — ликвидуса и солидуса. Солидус для данной

системы проходит горизонтально и соответствует особому трехфазному равновесию, называемому *эзектическим* (или просто *эзекти-*

кой). При температуре эзтектики  $T_E$  в равновесии находятся три фазы: две твердые ( $A_1$  и  $B_1$ ) и одна жидкая — эзтектический расплав (Ж<sub>E</sub>).

Эвтектическое равновесие характеризуется следующими признаками: температура эвтектики ниже температур плавления обеих чистых компонентов:

A B E

При температуре эвтектики в системе протекает т. н. эвтектическая реакция:

которая при охлаждении системы идет в прямом, а при нагреве – в обратном направлении. Иначе говоря, при кристаллизации эвтектической

смеси компонентов А и В происходит одновременное выпадение кристаллов компонентов А и В ( $A_1 + B_1$ ). Эвтектическое равновесие является nonvariantным:  $f_E = k - \Phi + 1 = 2 - 3 + 1 = 0$ , т. е. температура его (при заданном давлении) однозначно задается природой системы (природой образующих систему компонентов).

2 Особенность диаграммы улавки структурно-эвтектического типа является то, что кривая охлаждения смеси состава 3 (смесь эвтектического состава) также, как и для чистых компонентов А (кривая I) и В (кривая II), имеет одинаковую константу охлаждения смеси, как это сле-

(крылья) (рис. 5-1, б). При кристаллизации они смеси, как было сказано выше, происходит одновременное выпадение кристаллов А и В. При кристаллизации смеси неизвестного состава (точки 2 и 4)

внешней вымпельной кристаллической структурой, олико-поликомпонентом, которого в данной схеме больше. Термически стабильным синтетическим составом (в точках

В то же время обогащается другим компонентом, а ее состав приближается к

□ с изменением ее состава понижается вплоть до температура достигнет эвтектической ( $T_E$ ), образуется эвтектический расплав и система на-

Число поглощённых единиц (з.ед.) при охлаждении она  
для различных температур определяется выражением (3.61) (6)

Приведенная на рис. 3.14 диаграмма является предельным случаем для систем эвакуационного типа. На практике образующие систему

компоненты, как правило, ограниченно растворимы друг в друге в твердом состоянии (хотя ширина области гомогенности может быть очень мала, и в этом случае незаметна на фазовой диаграмме).

Рис. 3.15. Диаграмма плавкости ( $\rho = \text{const}$ ) двухкомпонентной системы с ограниченной взаимной растворимостью (Bi – Pb). Диаграмма состояния систем такого типа (рис. 3.15) отличается от диаграммы состояния системы с простой эвтектикой только тем, что на ней появляются две дополнительные фазовые области.  $\alpha_T$  и  $\beta_T$  – области существования твердых растворов замещения на основе компонентов A и B соответственно, а также сложным видом линии солидуса, средняя часть которой совпадает с линией твердофазного эвтектического равновесия. В области под горизонтальной частью солидуса в равновесии находятся две твердые фазы – упомянутые выше твердые растворы  $\alpha_T$  и  $\beta_T$ . Эвтектический расплав в этой системе образуется также при температуре  $T_E$  и имеет состав

$$T_A > T_B > T_E, \square \quad (3.62)$$

т. е. состав эвтектического расплава является промежуточным между составами твердых растворов  $\alpha_T$  и  $\beta_T$ , находящихся с ним в равновесии при эвтектической температуре  $T_E$ .

При температуре эвтектики в данной системе протекает эвтектическая реакция



которая, как и реакция (3.61), при охлаждении системы идет в прямом, а при нагреве – в обратном направлении.

**3.8.3. Диаграмма плавкости двухкомпонентной системы перитектического типа.** Другим видом трехфазного равновесия, наблюдаленного в двухкомпонентных системах, компоненты которых не-

граничено растворимы друг в друге в жидкости ограниченно – в твердом состоянии, является так называемое *перитектическое равновесие* (или *перитектика*) (рис. 3.16).

В этом случае, как и при

эвтектическом равновесии, в системе сосуществуют две твердые фазы и одна жидккая (расплав), однако в данном случае температура перитектического равновесия является промежуточной между температурами плавления чистых компонентов A и B, а перитектический расплав ( $\text{Ж}_p$ ) обогащен одним из компонентов (и обеднен другим) по сравне-

нию с жидкостью, имеющей тот же состав, что и перитектический расплав ( $\text{Ж}_p$ ). При температуре  $T_p$  в системе протекает так называемая перитектическая реакция:



При нагревании направо при охлаждении, и справа налево – при охлаждении направо при нагревании, в ходе перитектической реакции при охлаждении направо при нагревании происходит распад



диаграммы плавкости ( $\rho = \text{const}$ ) двухкомпонентной системы с ограниченной взаимной растворимостью (Bi – Pb). Диаграмма состояния систем такого типа (рис. 3.16) отличается от диаграммы состояния системы с простой эвтектикой только тем, что на ней появляются две дополнительные фазовые области.  $\alpha_T^a$  и  $\beta_T^b$  – области существования твердых растворов замещения на основе компонентов A и B соответственно, а также сложным видом линии солидуса, средняя часть которой совпадает с линией твердофазного эвтектического равновесия. В области под горизонтальной частью солидуса в равновесии находятся две твердые фазы – упомянутые выше твердые растворы  $\alpha_T^a$  и  $\beta_T^b$ , а при нагревании происходит распад

диаграммы плавкости ( $\rho = \text{const}$ ) гомогенного перитектического расплава из двух твердых фаз.

Рис. 3.16. Диаграмма плавкости ( $\rho = \text{const}$ ) двухкомпонентной системы с ограниченной взаимной растворимостью (Bi – Pb). Диаграмма состояния систем такого типа (рис. 3.16) отличается от диаграммы состояния системы с простой эвтектикой только тем, что на ней появляются две дополнительные фазовые области.  $\alpha_T^a$  и  $\beta_T^b$  – области существования твердых растворов замещения на основе компонентов A и B соответственно, а также сложным видом линии солидуса, средняя часть которой совпадает с линией твердофазного эвтектического равновесия. В области под горизонтальной частью солидуса в равновесии находятся две твердые фазы – упомянутые выше твердые растворы  $\alpha_T^a$  и  $\beta_T^b$ , а при нагревании происходит распад

Примером двухкомпонентной системы, в которой наблюдается трехфазное перитектическое равновесие, является система, образованная из ртути и кадмия ( $Hg - Cd$ ).

**3.8.4. Диаграмма плавкости двухкомпонентной системы с образованием конгруэнтно плавящегося химического соединения.** На рис. 3.17 приведена типичная диаграмма плавкости системы, состоящей из двух компонентов A и B, образующих химическое соединение  $A_xB_y$ , не способное образовывать твердые растворы с этими компонентами.

Соединение  $A_xB_y$  плавится *конгруэнтно*, т. е. *без разложения* в *твердом состоянии*, и состав расплава совпадает с составом твердого химического соединения  $A_xB_y$ . Кривая охлаждения этого химического соединения ( $A_xB_y$ ) имеет вид, аналогичный кривой охлаждения чистого вещества (рис. 3.12). Диаграмма состоит из семи фазовых областей, смысл которых пояснен в подпункте к рис. 3.17.

В системе наблюдаются два эвтектических равновесия при  $T_{E_1}$  и  $T_{E_2}$  с эвтектическими расплавами состава  $x_B^{E_1}$  и  $x_B^{E_2}$  соответственно. Как видно, эту систему можно рассматривать как сочетание двух диаграмм плавкости с простой эвтектикой (т. е. системы A –  $A_xB_y$  и A – B), рассмотренных нами ранее. Фигуративная точка O характеризует температуру плавления (криSTALLИЗАЦИИ) химического соединения  $A_xB_y$ . Если химическое соединение  $A_xB_y$  при температуре плавления частично диссоциирует в жидкое состояние по схеме

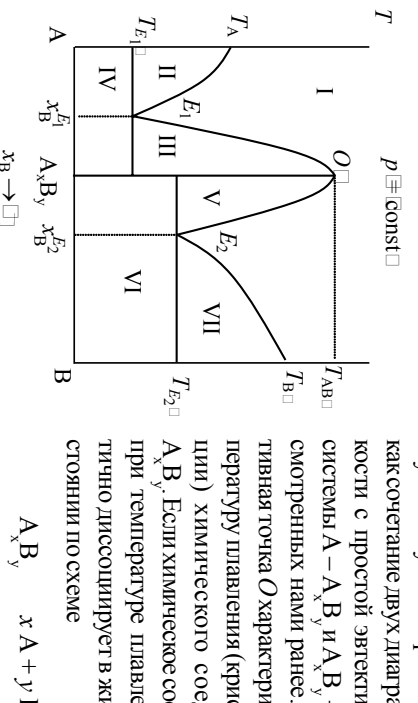


Рис. 3.17. Диаграмма плавкости ( $p = \text{const}$ ) двухкомпонентной системы с образованием конгруэнтно плавящегося химического соединения, плавящегося инконгруэнтно (без разложения).

Области: I – Ж; II –  $A_1 + \text{Ж}$ ; III – Ж +  $A_xB_y$ ; IV –  $A_1 + A_xB_y$ ; V –  $A_xB_y + \text{Ж}$ ; VI –  $A_1 + A_xB_y + B_1$ ; VII – Ж +  $B_1$

то кривая  $E_1OE_2$  становится более пологой в окрестностях точки O, причем чем больше степень диссоциации, тем более пологим будет максимум (и наоборот, чем менее диссоциро-

вано химическое соединение  $A_xB_y$  в расплаве, тем более острым будет максимум).

Само химическое соединение  $A_xB_y$  обозначается на диаграмме вертикальной линией. В системе может образовываться не одно, а несколько конгруэнтно (без разложения в твердом состоянии) плавящихся химических соединений, тогда каждому такому соединению на диаграмме состояния будет соответствовать свой максимум.

**3.8.5. Диаграмма плавкости двухкомпонентной системы с образованием инконгруэнтно плавящегося химического соединения.** Неуско-

тойчивые химические соединения плавятся *инконгруэнтно*, т. е. *с разложением* (в *твердом состоянии*). В этом случае состав расплава не совпадает с составом твердого химического соединения  $A_xB_y$ , из которого этот расплав получают нагреванием. На рис. 3.18 приведена диаграмма плавкости системы, в которой компоненты A и B образуют химическое соединение, плавящееся инконгруэнтно.

Так как неустойчивое химическое соединение  $A_xB_y$  полностью разлагается (на расплав, состав которого отвечает фазовой точке M, и твердое вещество B) при температуре  $T_{AB}$ , которая ниже его тем-

пературы плавления, то макси-мум, отвечающий температуре  $T_{AB}$ , не реали-зуется, а попадает в область, на-

зываю-

щуюся *Мертвым*.

При температуре  $T_{AB}$  хими-

ческое соединение  $A_xB_y$  распа-

дается на расплав, изображен-

ый на диаграмме точкой M, и

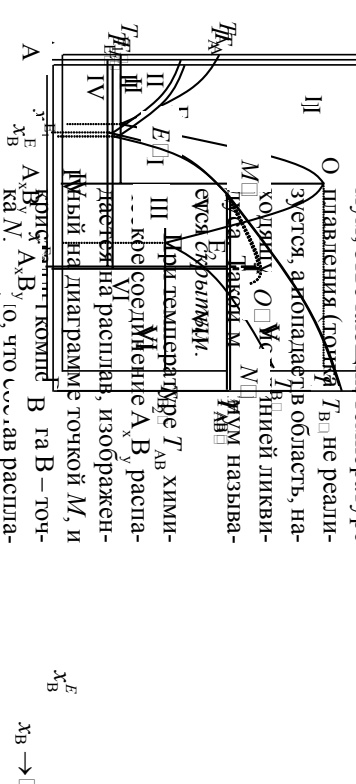


Рис. 3.18. Диаграмма плавкости ( $p = \text{const}$ ) двухкомпонентной системы с образованием переходной плавящегося инконгруэнтно (с разложением) химического соединения, плавящегося инконгруэнтно (с разложением). Области: I – Ж; II –  $A_1 + \text{Ж}$ ; III – Ж +  $A_xB_y$ ; IV –  $A_1 + A_xB_y$ ; V – Ж +  $B_1$ ; VI –  $A_1 + A_xB_y + B_1$ ; VII – Ж +  $B_1$

действие напоминает перитектическое (схема (3.65)). В процессе рас-  
поля умопомощного соединения расщепляются пентопицес в контакте с при-

ми твердыми фазами: кристаллами химического соединения  $\text{A}_x\text{B}_y$  и кристаллами компонента В, поэтому система nonвариантна. Т. К.

$$f = k - \Phi + 1 = 2 - 3 + 1 = 0.$$

Физический смысл фазовых областей на диарамме состояния указан непосредственно в подписи к рис. 3.18.

4. EJERKETRÖXNING

## **4.1. Предмет Электрохимии. Сильные и слабые электролиты.**

Ликопративеским

Физический смысл фазовых областей на диаграмме состояния указан непосредственно в подписи к рис. 3.18.

Как упоминалось выше, диаграммы плавкости реальных систем могут иметь (и, как правило, имеют) более сложный вид, чем диаграммы, приведенные на рис. 3.13–3.18.

Лак, например, реально образующиеся в различных системах кон-  
груэнтно (без разложения в твердом состоянии) или инконгруэнтно (с  
разложением в твердом состоянии) плавающие химические соедине-  
ния

ния могут образовывать твердые растворы с чистыми компонентами, что усложняет вид диаграммы. В реальной системе может образовываться несколько конгруэнтно

*T* — константно плавающие или инкогнитно плавающие химические соединения

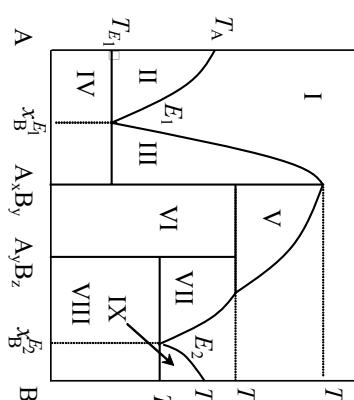


Рис. 3.19. Диаграмма плавкости ( $p = \text{const}$ ) двухкомпонентной системы

Рис. 3.19. Диаграмма плавкости  
 $(p = \text{const})$  двухкомпонентной системы  
 с образованием двух химических  
 соединений:  $A_x B_y$ , плавящегося  
 контргуярно и  $A_{y^T} B_x$ , плавящегося  
 инконгруярно. Области: I – ЖК;  
 II –  $A_x + \text{ЖК}$ ; III –  $\text{ЖК} + A_x B_y$ ;  
 IV –  $A_x + A_x B_{y^T}$ ; V –  $A_x B_{y^T} + \text{ЖК}$ ;  
 $V_1 - A_x B_{y^T} + A_x B_{z^T}$ ; VI –  $A_x B_{z^T} + \text{ЖК}$ ;  
 $VII - A_x B_{z^T} + B_x$ ; IX –  $A_x B_y + \text{ЖК}$ .

Вместе с тем знание основных геометрических образов, а также основных, простейших типов диаграмм состояния (в т. ч. диаграмм плавкости) позволяет легко разобраться в достаточно сложных диаграммах состояния реальных систем, уметь читать эти диаграммы и проводить с их помощью необходимые расчеты.

соединения могут проявлять полиморфизм (т. е. существовать в различных полиморфных модификациях в зависимости от температуры) и т. д. и т. п.

или инконгруэнтно плавящихся химических соединений (см., например, диаграмму на рис. 3.19). Образующие систему компоненты и/или образующиеся в системе химические

постоянной) или инконгруэнто (сплавляющиеся химические соединения с чистыми компонентами, в которых система может образовываться несколько конгруэнто

**Электрохимия** – это раздел физической химии, в котором изучаются процессы, связанные с *переносом заряда* в различных физико-химических системах (растворы, расплавы, твердые электролиты), а также явления, возникающие при переносе заряда через границу раздела двух фаз. Иным образом электрохимию можно определить как науку, изучающую физико-химические процессы, сопровождающиеся возникновением электрического тока или происходящие под действием электрического тока.

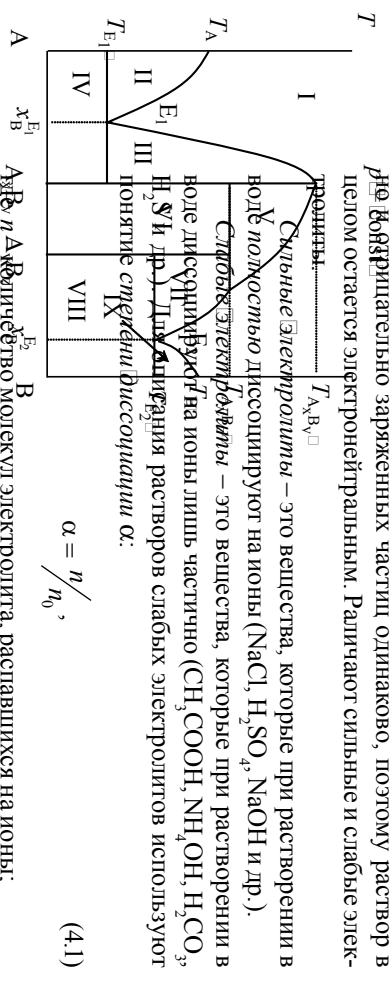


Рис. 3.19 Диаграмма зависимости ( $\alpha$ ) слабого электролита от природы вещества.  $n_0$  — исходное количество молекул электролита, распавшихся на ионы,  $n_B$  — количество молекул растворенного вещества.

длукомпактной мембранный природы растворителя, температуру и концентрацию вещества. Так как  $n < n_0$ , то  $\alpha < 1$ . Плавящегося контрградиента не следует смешивать понятия растворимости электролита и его плавящегося инконтинентного областей.

римо в воде и являться сильным электролитом (например, сульфат бария  $\text{BaSO}_4$  в воде), и, наоборот, хорошо растворяться, но при этом практически не диссоциировать (распадаться на ионы) в растворителе (например, этанол  $\text{C}_2\text{H}_5\text{OH}$  в воде).

В растворах слабых электролитов между ионами и непродиссоциировавшими молекулами устанавливается равновесие. Рассмотрим это равновесие на примере процесса диссоциации уксусной кислоты:



Количественной характеристикой процесса диссоциации является константа диссоциации  $K_{\text{д}}$ . Для реакции (4.2) константа диссоциации ( $K_{\text{д}}$ ) может быть выражена следующим образом:

$$(4.3)$$

где  $C_{\text{H}^+}$  и  $C_{\text{CH}_3\text{COO}^-}$  – равновесные концентрации ионов  $\text{H}^+$  и  $\text{CH}_3\text{COO}^-$ , образовавшихся при диссоциации молекул  $\text{CH}_3\text{COOH}$ , моль ·  $\text{л}^{-1}$ ;

– равновесная концентрация непродиссоциировавших молекул  $\text{CH}_3\text{COOH}$ , моль ·  $\text{л}^{-1}$ .

Как видно из уравнения (4.3),  $K_{\text{д}}$  по сути, является концентрационной константой равновесия ( $K_{\text{д}} = K_{\text{д}}$ ) реакции (процесса) диссоциации слабого электролита. Константа диссоциации  $K_{\text{д}}$  зависит от природы растворителя и растворенного вещества и температуры и не зависит от концентрации слабого электролита в растворе (при малых концентрациях растворов, при больших концентрациях при описании диссоциации следует применять понятие активности – см. подраздел 4.2).

Получим уравнение, связывающее степень ( $\alpha$ ) и константу диссоциации ( $K_{\text{д}}$ ) слабого электролита (на примере  $\text{CH}_3\text{COOH}$ ). Из (4.1) с учетом (4.2) следует, что  $C_{\text{H}^+} = \alpha \cdot C_0$  ( $C_0$  – исходная концентрация  $\text{CH}_3\text{COOH}$ , моль ·  $\text{л}^{-1}$ ), тогда  $C_{\text{CH}_3\text{COO}^-} = (1 - \alpha) \cdot C_0$ . Подставляя эти соотношения в уравнение (4.3), получим формулу (4.4):

$$K_{\text{д}} = C_0 \cdot \frac{\alpha^2}{1 - \alpha} = \frac{1}{V} \cdot \frac{\alpha^2}{1 - \alpha}, \quad (4.4)$$

где  $V$  – разведение раствора (величина, обратная концентрации раствора), л · моль $^{-1}$ .

Уравнение (4.4) называют законом разведения (или разбавления) Остwalda. Если степень диссоциации слабого электролита в растворе невелика ( $\alpha \ll 1$ ), то, учитывая, что при малых  $\alpha$  ( $\alpha \ll 1$ ) знаменатель дроби в (4.4) близок к единице ( $(1 - \alpha) \approx 1$ ), уравнение (4.4) можно записать в упрощенном виде (4.5):

$$K_{\text{д}} \approx C_0 \cdot \alpha^2 \approx \frac{\alpha^2}{V}. \quad (4.5)$$

На практике такое упрощение применимо, если  $\alpha \leq 0,01$ . Выражая из (4.5) степень диссоциации  $\alpha$ , получаем

$$\alpha \approx \sqrt{\frac{K_{\text{д}}}{C_0}} \approx \sqrt{K_{\text{д}} \cdot V}. \quad (4.6)$$

Как видно из уравнения (4.6), степень диссоциации слабого электролита ( $\alpha$ ) тем выше, чем выше разведение раствора ( $V$ ); по этой причине уравнение (4.4) получило название закона разведения Остwalda. Зависимость  $\alpha = f(C)$  имеет вид, изображенный на рис. 4.1. Как видно из формулы (4.4) и рис. 4.1, степень диссоциации слабого электролита уменьшается при увеличении концентрации этого электролита в растворе. Из (4.6) можно показать, что степень диссоциации слабого электролита изменяется в пределах от 0 до 1:

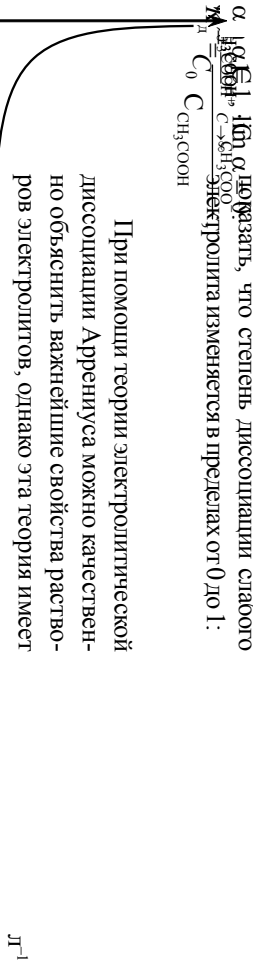


Рис. 4.1. Зависимость степени диссоциации слабого электролита ( $\alpha$ ) от концентрации раствора ( $C$ )

При помощи теории электролитической диссоциации Аррениуса можно качественно объяснить важнейшие свойства растворов электролитов, однако эта теория имеет ряд недостатков:

- имеется взаимодействие между ионами (в водных растворах, в которых эти ионы являются взаимодействием между ионами, можно пренебречь);
- степень диссоциации слабого электролита ( $\alpha$ ) от концентрации раствора ( $C$ ) тания (в водных растворах – гидратация) ионов);
- не дается объяснения причинам, вызывающим диссоциацию.

Эти недостатки были устранены при разработке теории сильных электролитов другими исследователями (Бъерум, Бренстед, Алексеев, Семченко, Дебай, Хюккель, Онзагер и др.).

## 4.2. Сильные электролиты. Активность, средние ионные активности и коэффициент активности. Ионная сила раствора

Концентрация заряженных частиц (катионов и анионов) в растворах сильных электролитов довольно велика (по сравнению с растворами слабых электролитов той же концентрации), поэтому при описании их свойств необходимо учитывать электростатическое взаимодействие между ионами (даже в области предельного разведения). Для учета этого взаимодействия при описании растворов сильных электролитов используют понятие *активности*.

$$a = \gamma_C \cdot C, \quad a = \gamma_m \cdot m, \quad (4.7)$$

где  $a$  – активность, т. е. такая концентрация, которую бы имел раствор, если бы он вел себя как идеальный,

$C$  и  $m$  – молярная и моляльная концентрации раствора;

$\gamma_C$  и  $\gamma_m$  – молярный и моляльный коэффициенты активности.

Коэффициент активности ( $\gamma$ ) является характеристикой сил межионного взаимодействия, он показывает, насколько свойства реального раствора отличаются от свойств идеального раствора.

На практике при описании растворов сильных электролитов используют моляльную концентрацию, при этом активности катионов и анионов рассчитывают по формулам (4.8):

$$(4.8)$$

где  $\gamma_+$  и  $\gamma_-$  – коэффициенты активности катиона и аниона (моляльные);

$m_+$  и  $m_-$  – моляльные концентрации катиона и аниона;

$v_+$  и  $v_-$  – ионные стехиометрические коэффициенты катиона и аниона, показывающие, какое количество ионов образуется при диссоциации одной «молекулы» электролита (какое количество молей катионов и анионов образуется при диссоциации одного моля электролита).

Экспериментально невозможно определить активности ( $a_+$  и  $a_-$ ) или коэффициенты активности ( $\gamma_+$  и  $\gamma_-$ ) отдельных ионов, поскольку невозможно получить растворы, содержащие только положительные или только отрицательные ионы. Для того чтобы обойти это затруднение, вводят понятие *средней ионной активности* ( $a_\pm$ ), которую рассчитывают как среднее геометрическое из активностей катиона и аниона (4.9):

$$(4.9)$$

Величину средней ионной активности ( $a_\pm$ ) можно рассчитать по уравнению (4.10):

$$a_\pm = \gamma_\pm \cdot v_\pm \cdot m, \quad (4.10)$$

где  $\gamma_\pm$  – средний ионный коэффициент активности;

$v_\pm$  – средний ионный стехиометрический коэффициент, который можно рассчитать по формуле (4.11):

$$(4.11)$$

Например, для сульфата натрия ( $\text{Na}_2\text{SO}_4$ ) и хлорида натрия ( $\text{NaCl}$ ), диссоциирующих в воде по уравнениям



величины среднего ионного стехиометрического коэффициента составят

$$v_{\pm, \text{Na}_2\text{SO}_4} = \left( v_+^{v_+} \cdot v_-^{v_-} \right)^{\frac{1}{v_+ + v_-}} = \left( 2^2 \cdot 1^1 \right)^{\frac{1}{2+1}} = \sqrt[3]{4} \approx 1,59$$

и

$$\begin{aligned} v_{\pm, \text{NaCl}} &= \left( v_+^{v_+} \cdot v_-^{v_-} \right)^{\frac{1}{v_+ + v_-}} = \left( 1^1 \cdot 1^1 \right)^{\frac{1}{1+1}} = \sqrt{1} = 1 \text{ соответственно.} \\ \text{Значение среднего ионного коэффициента активности } \gamma_\pm \text{ можно} \end{aligned}$$

определить по справочнику либо рассчитать с помощью *предельного закона Дебая–Хуккеля* (4.12):

$$\lg \gamma_\pm = -A \cdot |z_+ \cdot z_-| \cdot \sqrt{I}, \quad (4.12)$$

где  $A$  – коэффициент, зависящий от температуры и диэлектрической проницаемости ( $\epsilon$ ) растворителя (4.13):

$$A = \frac{1.823 \cdot 10^6}{(\epsilon \cdot T)^{3/2}}, \quad (4.13)$$

$A = 0,509$  для водных растворов при  $T = 298 \text{ K}$ ,

$z_+$  и  $z_-$  – заряды катиона и аниона;

$I$  – ионная сила раствора, рассчитываемая по формуле (4.14):

$$I = \frac{1}{2} \sum_{i=1}^n m_i \cdot z_i^2, \quad (4.14)$$

где  $m_i$  и  $z_i$  – молярная концентрация и заряд  $i$ -го иона,  $m_i = v_i \cdot m$

Так, ионная сила 0,002-молярного раствора фосфата калия ( $K_3PO_4$ ) =  $m = 0,002$  моль/кг  $H_2O$ ) рассчитывается по формуле

$$I_{K_3PO_4} = \frac{1}{2}(m_{K^+} \cdot z_{K^+}^2 + m_{PO_4^{3-}} \cdot z_{PO_4^{3-}}^2),$$

и поскольку  $m_{K^+} = 3m_{K_3PO_4}$ ,  $z_{K^+} = 1$ ,  $z_{PO_4^{3-}} = 3$ , то

$$z_{PO_4^{3-}} = 3,$$

При разбавлении раствора силы межионного взаимодействия вследствие увеличения расстояния между ионами уменьшаются и в бесконечно разбавленном растворе, когда ионы находятся на большом расстоянии друг от друга, энергия взаимодействия между ионами приближается к нулю, и тогда

$$\lim_{n \rightarrow 0} \gamma = 1,$$

В растворах слабых электролитов концентрация ионов невелика и энергия взаимодействия между ионами мала. Вследствие этого при описании свойств растворов слабых электролитов можно использовать понятие неактивности, а концентрации. Так, например, расчет водородного показателя растворов слабых кислот ( $CH_3COOH$  и др.) проводят по формуле (4.15):

$$(4.15)$$

а константу диссоциации (константу равновесия реакции диссоциации) слабого электролита часто выражают через равновесные концентрации (см. формулу (4.3)).

Вместе с тем при строгом описании диссоциации слабых электролитов необходимо учитывать взаимодействие между ионами в растворе и константу равновесия реакции диссоциации выражать через активность ее участников. Так, например, термодинамическая константа равновесия ( $K_a$ ) реакции (4.1) выражается как:

$$K_a = \frac{a_{H^+} \cdot a_{CH_3COO^-}}{a_{CH_3COOH}}, \quad (4.16)$$

где  $a_{H^+}$ , и – равновесные активности ионов  $H^+$ ,  $CH_3COO^-$ , образовавшихся при диссоциации молекул  $CH_3COOH$ , и равновесная активность непродиссоциировавших молекул  $CH_3COOH$ .

Термодинамическая константа равновесия  $K_a$  зависит только от природы участников реакции и температуры и не зависит от активностей участников реакции диссоциации (при любых концентрациях растворов). Если концентрация раствора слабого электролита невелика, то можно считать, что  $K_a \approx K_c$ , и применять для описания этого процесса  $K_c = K_a$  (см. подраздел 4.1).

При необходимости использования в расчетах активностей отдельных ионов (катионов или анионов) принимают, что

$$a_+ \approx a_- \approx a_\pm, \quad (4.17)$$

т. е. выражают активность отдельных ионов через среднюю ионную активность. Так, например, расчет водородного показателя растворов сильных кислот ( $HCl$ ,  $H_2SO_4$  и др.) проводят по формуле (4.17):

$$pH = -\lg a_{H^+} = -\lg a_\pm = -\lg(\gamma_\pm \cdot V_\pm \cdot m). \quad (4.18)$$

### 4.3. Удельная, молярная и эквивалентная электрическая проводимость. Закон Кольрауша

Под **электропроводностью**, или **электрической проводимостью**, понимают способность вещества (или раствора) проводить электрический ток под действием внешнего электрического поля; электропроводность – величина, обратная электросопротивлению ( $R$ ):

$$[\sigma] = См (сименс) или  $\Omega^{-1}. \quad (4.19)$$$

**Удельная электрическая проводимость** ( $\kappa$ ) – это проводимость столбика раствора, помещенного между двумя одинаковыми параллельными электродами, расположеннымми друг от друга на расстоянии  $l$  и имеющими площадь по  $1 \text{ м}^2$ .  $\kappa$  – величина, обратная удельному электрическому сопротивлению ( $\rho$ ):

$$\kappa = \frac{1}{\rho}, \quad [\kappa] = См \cdot м^{-1} (\Omega^{-1} \cdot м^{-1}). \quad (4.20)$$

Электросопротивление ( $R$ ) связано с удельным электросопротивлением ( $\rho$ ) соотношением (4.21):

$$(4.21)$$

где  $l$  и  $S$  – длина и площадь поперечного сечения проводника.

Подставляя (4.19) и (4.21) в (4.22), получим для **ж**

$$(4.22) \quad \mathbf{ж} = U / I \cdot R \square$$

Согласно закону Ома (4.23)

$$(4.23) \quad U = I \cdot R \square$$

Подставляя  $R$  из (4.23) в (4.22), получим (4.24):

$$(4.24) \quad \mathbf{ж} = \frac{U}{I \cdot R \square}$$

Из (4.24) следует, что величина удельной электропроводности (**ж**) численно равна плотности тока ( $j$ ,  $\text{A} \cdot \text{м}^{-2}$ ), протекающего через раствор при напряженности электрического поля ( $E$ ), равной  $1 \text{ В} \cdot \text{м}^{-1}$ .

**Эквивалентная электрическая проводимость** ( $\lambda_e$  или  $\lambda$ ) представляет собой электропроводность раствора, помешенного между двумя одинаковыми параллельными электродами, расположеннымными на расстоянии 1 м друг от друга; при этом площадь электродов должна быть такой, чтобы в объеме раствора между ними содержался 1 моль растворенного вещества:

$$(4.25) \quad \lambda = \frac{\mathbf{ж}}{C_N} = \mathbf{ж} \cdot V / (\text{С} \cdot \text{м} \cdot \text{м}^2 \cdot \text{моль ЭКВ}^{-1}),$$

где  $C_N$  – нормальная концентрация (нормальность) раствора, моль ЭКВ  $\cdot \text{м}^{-3}$ ,  $V$  – разведение, величина, обратная концентрации,  $\text{м}^3 \cdot \text{моль ЭКВ}^{-1}$ .

Если выражать концентрацию  $C_N$  в моль ЭКВ  $\cdot \text{л}^{-1}$ , то, чтобы связать **ж**, выраженную в  $\text{С} \cdot \text{м} \cdot \text{м}^{-1}$ , и  $\lambda$ , выраженную в  $\text{С} \cdot \text{м} \cdot \text{м}^2 \cdot \text{моль ЭКВ}^{-1}$ , уравнение (4.25) записывают в виде (4.26):

$$(4.26) \quad \mathbf{ж} = C_N \cdot M \cdot \text{моль ЭКВ}^{-1}.$$

С увеличением разбавления растворов электролитов эквивалентная электрическая проводимость растет и в области предельно разбавленных растворов стремится к предельному значению  $\lambda_0$  ( $\lambda_\infty$ ):

$$\lim_{C \rightarrow 0} \lambda = \lambda_0, \text{ или } \lim_{V \rightarrow \infty} \lambda = \lambda_\infty.$$

**Пределная эквивалентная электрическая проводимость** ( $\lambda_0$ ) – это электрическая проводимость бесконечно разбавленного раствора, характеризую-

щегося отсутствием сил электростатического взаимодействия между ионами. Величина предельной эквивалентной электропроводности раствора электролита представляет собой сумму независимых величин предельных эквивалентных электрических проводимостей катиона и аниона

$$(4.27) \quad \lambda_0 = \lambda_+ + \lambda_-$$

Уравнение (4.27) справедливо для любых (сильных и слабых) электролитов и называется *законом Коллауда*, который иногда формулируют следующим образом: в бесконечно (предельно) разбавленном растворе ионы движутся независимо друг от друга.

**Молярная электрическая проводимость** ( $\lambda_m$  или  $\mu$ ) представляет собой электропроводность раствора, помешенного между двумя одинаковыми параллельными электродами, расположеннымными на расстоянии 1 м друг от друга: при этом площадь электродов должна быть такой, чтобы в объеме раствора между ними содержался 1 моль растворенного вещества:

$$(4.28) \quad \mathbf{ж} = \frac{U}{C_m \cdot M \cdot \text{моль}^{-1}}.$$

Эквивалентная и молярная электрические проводимости связаны между собой простым соотношением (4.29):

$$(4.29) \quad \mu = \lambda \cdot n,$$

$$\frac{\mathbf{ж} \cdot V \cdot M}{C_m \cdot M} = j$$

где  $n$  – количество молей эквивалентов в одном моле вещества.

Очевидно, что для одноосновных электролитов ( $\text{HCl}$ ,  $\text{CH}_3\text{COOH}$  и др.)  $n = 1$  и (численно).

Удельная (**ж**), эквивалентная ( $\lambda$ ) и молярная ( $\mu$ ) электропроводности сильных и слабых электролитов зависят от природы этих электролитов, их концентрации в растворе, природы растворителя и температуры. Рассмотрим более подробно влияние каждого из указанных параметров на **ж** и  $\lambda$ .

*J. Концентрация раствора электролита.* Как видно из рис. 4.2, *a*, эквивалентная электропроводность растворов электролитов уменьшается с ростом концентрации растворов. Причины этой зависимости для сильных и слабых электролитов различны.

Увеличение концентрации сильного электролита в растворе приводит к пропорциональному увеличению концентрации в растворе ионов этого электролита (сильный электролит на ионы диссоциирует полностью). Силы электростатического взаимодействия между ионами при этом увеличиваются, вследствие чего уменьшаются подвижность (скорость движения) ионов и эквивалентная электрическая проводимость. Мерой

сил электростатического взаимодействия между ионами в растворах сильных электролитов является коэффициент электропроводности  $f$  (4.30):

$$f_i = \frac{\lambda_i}{\lambda_{0,i}}, \quad (4.30)$$

показывающий, во сколько раз эквивалентная электрическая проводимость  $i$ -го иона в растворе с определенной концентрацией электролита ( $\lambda_i$ ) меньше эквивалентной электрической проводимости этого иона в бесконечно разбавленном растворе ( $\lambda_{0,i}$ ).

Слабые электролиты в растворе диссоциируют на ионы лишь частично, причем степень их диссоциации резко уменьшается с ростом концентрации электролита (рис. 4.1, уравнение (4.6)), поэтому количество ионов в растворах слабых электролитов любой концентрации невелико и электростатическим взаимодействием между этими ионами можно пренебречь ( $f=1$ ). Уменьшение  $\lambda$  с ростом концентрации для растворов слабых электролитов обусловлено именно тем, что  $\alpha$  этих веществ с ростом концентрации уменьшается:

$$\alpha = \frac{\lambda}{\lambda_0}. \quad (4.31)$$

Комбинируя уравнения (4.30) и (4.31), можно получить соотношение, связывающее  $\lambda$  и  $\lambda_0$  для любых электролитов (4.32):

$$(4.32)$$

которая для сильных электролитов ( $\alpha = 1$ ) превращается в формулу (4.30), а для слабых ( $f = 1$ ) – в формулу (4.31).

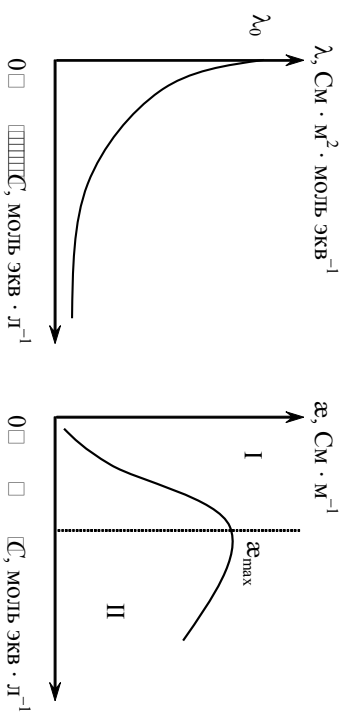


Рис. 4.2. Зависимость эквивалентной ( $\alpha$ ) и удельной ( $\sigma$ ) электрической проводимости раствора электролита от концентрации этого раствора

## 2. Природа электролита.

Ввиду того, что степень диссоциации ( $\alpha$ ) слабых электролитов зависит от концентрации сильнее, чем коэффициент электропроводности ( $f$ ) сильных электролитов, зависимость  $\lambda = f(C)$

3) более пологая, чем эквивалентная электрическая проводимость раствора электролита в растворе с ростом концентрации уменьшается быстрее, чем для сильных.

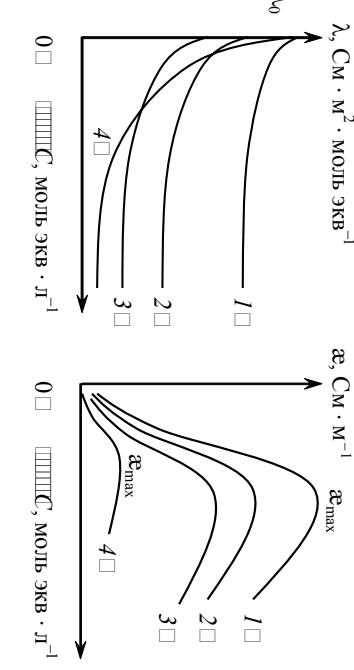


Рис. 4.3. Концентрационные зависимости эквивалентной ( $\alpha$ ) и удельной ( $\sigma$ ) электрической проводимости растворов электролитов: 1 – сильные кислоты; 2 – сильные основания (щелочи); 3 – соли; 4 – слабые кислоты

Как видно из рис. 4.2,  $\sigma$ , зависимость  $\mathbf{x} = f(C)$  носит экстремальный характер, возрастает с ростом концентрации при малых  $C$  (область I), достигает максимального значения ( $\mathbf{x}_{\max}$ ) и уменьшается при дальнейшем увеличении концентрации (область II).

Выражая  $\mathbf{x}$  через  $\lambda$ , подставим (4.32) в (4.25) и получим (4.33):

$$\mathbf{x} = \frac{\lambda}{\lambda_0}, \quad (4.33)$$

Учитывая (4.33), увеличение  $\mathbf{x}$  с ростом концентрации электролита в I области можно объяснить тем, что в данном случае решающее влияние на величину удельной электропроводности оказывает уменьшение концентрации ионов электролита, осуществляющих перенос заряда в растворе. Во II области уменьшение эквивалентной электрической проводимости, обусловленное либо торможением ионов (для сильных электролитов), либо уменьшением степени диссоциации (для слабых электролитов), преобладает над ростом концентрации электролита в растворе, что и приводит к уменьшению удельной электрической проводимости ( $\mathbf{x}$ ) с ростом концентрации во II области.

В водных растворах эквивалентная электрическая проводимость ионов  $\text{H}^+$  ( $\text{H}_3\text{O}^+$ ) и  $\text{OH}^-$  имеет аномально высокое значение:

$$\lambda_0 \cdot \eta = A \cdot e^{-B/\epsilon}, \quad (4.35)$$

где  $A$  – предельная эквивалентная электрическая проводимость любого, кроме  $\text{H}^+$  или  $\text{OH}^-$ , иона.

Вследствие этого для различных групп соединений наблюдается следующее соотношение величин эквивалентных электрических проводимостей (для одинаковых концентраций растворов электролитов):

$\lambda_{\text{ион}} > \lambda_{\text{основание}} > \lambda_{\text{соли}}$ ,

что проиллюстрировано на рис. 4.3, *a* (кривые 1–3).

Поскольку удельная ( $\lambda$ ) и эквивалентная электрические проводимости ( $\lambda$ ) растворов электролитов связаны соотношением (4.33), очевидно, что удельные электропроводности различных групп сильных электролитов (кислоты, основания, соли) соотносятся так же, как и их эквивалентные электрические проводимости (при равных  $C$ ):

$$\lambda_{\text{ион}} > \lambda_{\text{основание}} > \lambda_{\text{соли}},$$

что и продемонстрировано на рис. 4.3, *b* (кривые 1–3).

Ввиду того, что концентрация ионов в растворах слабых электролитов значительно ниже, чем в растворах сильных электролитов, величина  $\lambda$  для слабых электролитов намного меньше, чем для сильных (рис. 4.3, *b*). Как видно из рис. 4.3, *b*, экстремальный характер зависимости  $\lambda = f(C)$  для слабых электролитов выражен слабее, чем для сильных, и максимум удельной электропроводности для них наблюдается при меньших концентрациях электролита в растворе.

3. *Природа растворимости*. Согласно эмпирическому правилу Вальдена  $\square$  Лисаржевского, для любого иона или электролита

$$(4.34)$$

$$\lambda_0 \cdot \eta = \text{const},$$

где  $\eta$  – вязкость чистого растворителя.

Таким образом, эквивалентная, а следовательно, и удельная электрическая проводимость раствора электролита обратно пропорциональна вязкости растворителя  $\eta$ , т. е. уменьшается с ростом  $\eta$ .

Предельная эквивалентная электрическая проводимость раствора электролита ( $\lambda_0$ ), вязкость растворителя ( $\eta$ ) и его диэлектрическая проницаемость ( $\epsilon$ ) связаны соотношением (4.35):

$$\lambda_0 \cdot \eta = A \cdot e^{-B/\epsilon}, \quad (4.35)$$

где  $A$  и  $B$  – эмпирические константы.

Согласно (4.35), эквивалентная (и удельная) электрическая проводимость раствора увеличивается при увеличении диэлектрической проницаемости (полярности) растворителя. Уравнение (4.35) применимо, однако, только для больших ионов в разбавленных растворах, когда электростатическое взаимодействие между ионами невелико.

4. *Влияние температуры*. Вязкость растворителя экспоненциально уменьшается с ростом температуры (4.36):

$$\eta_T = \eta_0 \cdot e^{-b/T}, \quad (4.36)$$

где  $\eta_T$  – вязкость растворителя при температуре  $T$ ;

$b$  – константа, зависящая от природы растворителя.

Вследствие этого при повышении температуры ионы могут перемещаться в растворе с меньшими энергетическими затруднениями, и для температурной зависимости предельной эквивалентной электропроводности выполняется соотношение (4.37):

$$\lambda_{0,T} > \lambda_{0,0} > \lambda_{0,\infty}, \quad (4.37)$$

где  $\lambda_{0,T}$  – предельная эквивалентная электрическая проводимость раствора электролита при температуре  $T$ ,

$A$  – предэкспоненциальный множитель;

$E_\lambda$  – энергия активации эквивалентной электропроводности (подвижности ионов) электролита в растворе.

На практике при описании температурной зависимости  $\lambda_0$  часто используют эмпирическое соотношение (4.38):

$$\lambda_{0,T} = \lambda_{0,298} \cdot (1 + \alpha \cdot (T - 298) + \beta \cdot (T - 298)^2). \quad (4.38)$$

При температурах, близких к комнатной (298 K), коэффициентом  $\beta$  в уравнении (4.38) можно пренебречь и рассчитывать величину  $\lambda_{0,T}$  по формуле (4.39):

$$\lambda_{0,T} = \lambda_{0,298} \cdot (1 + \alpha \cdot (T - 298)), \quad (4.39)$$

где  $\alpha$  – температурный коэффициент электропроводности, значение которого для водных растворов электролитов находится в пределах  $0,016 \leq \alpha \leq 0,022$  и составляет обычно  $\approx 0,016$ ,  $\approx 0,019$  и  $\approx 0,022$  для сильных кислот, оснований и солей соответственно.

Удельная электрическая проводимость ( $\kappa$ ) растворов электролитов, как и эквивалентная электропроводность, увеличивается с ростом температуры, причем при температурах, близких к комнатной, эта зависимость также близка к линейной:

$$\kappa_T = \kappa_{298} \cdot (1 + \alpha \cdot (T - 298)). \quad (4.40)$$

Для сильных электролитов в области малых концентраций зависимость эквивалентной электропроводности от концентрации может быть линеаризована в координатах  $\lambda = f(\sqrt{C})$  (рис. 4.4). Величину  $\lambda_0$  сильных электролитов определяют, используя *эмпирическое уравнение Кольрауша* (4.41):

$$\lambda = \lambda_0 - B\sqrt{C}. \quad (4.41)$$

где  $B$  – эмпирическая константа,  $\text{См} \cdot \text{м}^2 \cdot \text{л}^{0.5}$ , (моль ЭКВ) $^{-1.5}$ , которая из зависимости  $\lambda = f(\sqrt{C})$  (рис. 4.4) определяется как  $B = -\operatorname{tg}\alpha = \operatorname{tg}\beta$ .

Поскольку величина эквивалентной электрической проводимости растворов слабых электролитов зависит от концентрации сильнее, чем для сильных электролитов (см. рис. 4.3, a), концентрационную зависимость  $\lambda$  для них в координатах  $\lambda = f(\sqrt{C})$  линеаризовать не удается, т. е. для слабых электролитов эмпирическое уравнение Кольрауша *не применимо*.

Определить предельную эквивалентную электрическую проводимость слабых электролитов по экспериментальным данным можно, используя закон разведения Оствальда. Полставив  $\alpha$  из (4.31) в (4.4), выражим этот закон через  $\lambda$  и  $\lambda_0$ :

$$K_\lambda = C \cdot \frac{(\lambda/\lambda_0)^2}{1 - \lambda/\lambda_0} = C \cdot \frac{\lambda^2}{\lambda_0 \cdot (\lambda_0 - \lambda)}. \quad (4.42)$$

Преобразуем уравнение (4.42) к т. н. линейному виду (4.43):

$$\frac{1}{\lambda} = \frac{1}{\lambda_0} + \frac{1}{K_\lambda \cdot \lambda_0^2} \cdot C \cdot \lambda. \quad (4.43)$$

Из (4.43) видно, что, построив зависимость в координатах  $\frac{1}{\lambda} = f(C \cdot \lambda)$ , величину  $\lambda_0$  можно найти, как обратную длине отрезка (с учетом масштаба), отсекаемого прямой линией на оси ординат. Из этого же графика (рис. 4.5), зная  $\lambda_0$ , можно определить величину константы диссоциации слабого электролита ( $K_\lambda$ ):



4.4. Экспериментальные данные

Примером простейшего электролита может служить металл (или неметалл), имеющий  $C \lambda$ ,  $\text{См} \cdot \text{м}^2 \cdot \text{l}^{-1}$  жадий ионы этого металла (или неметалла), имеющие собой медную

Рис. 4.4. Определение предельной эквивалентной электропроводности  $\lambda_0$  сильного электролита при помощи раствора слабого электролита и его константы диссоциации ( $K_\lambda$ ):

Эквивалентной электропроводности ( $\lambda_0$ )

сильного электролита при помощи раствора слабого электролита

и его константы диссоциации ( $K_\lambda$ )

$\lambda_0$

$\operatorname{tg} \alpha \cdot \lambda_0^2$

Откуда

Рис. 4.5. Определение предельной эквивалентной электропроводности ( $\lambda_0$ ) сильного электролита при помощи раствора слабого электролита и его константы диссоциации ( $K_\lambda$ ):

При этом вертикальная (или наклонная) черта () обозначает границу раздела фаз, *слева* от нее указываются вещества или ионы, находящиеся в растворе, *справа* – вещества, находящиеся не в растворе

Рис. 4.4. Определение предельной эквивалентной электропроводности ( $\lambda_0$ ) сильного электролита при помощи раствора слабого электролита и его константы диссоциации ( $K_\lambda$ )

Рис. 4.5. Определение предельной эквивалентной электропроводности ( $\lambda_0$ ) сильного электролита при помощи раствора слабого электролита и его константы диссоциации ( $K_\lambda$ )

(чаще в твердой или газообразной, иногда в жидкой фазе). Запятой друг от друга отделяются ионы, находящиеся в одном растворе, или две конденсированные фазы, или газообразная и конденсированная фаза. В скобки заключается металл (неметалл), который не участвует в электродной реакции, но выступает в роли переносчика электронов (например, Pt).

При подключении электрода в систему, в которой протекает электрический ток, происходит направленный перенос ионов из твердой фазы в раствор, либо, наоборот, из раствора в твердую фазу. Если при изменении направления тока во внешней цепи на электроде протекает та же реакция, но в противоположном направлении, то такой электрод называется *обратимым*.

Примером обратимого электрода является упомянутый выше медный электрод:  $\text{CuSO}_4 \mid \text{Cu}$ . Примером необратимого электрода может являться цинковая пластина, опущенная в раствор сульфата меди:  $\text{CuSO}_4 \mid \text{Zn}$ . Если такой электрод входит в состав гальванического элемента в качестве отрицательного электрода (анода), то на его поверхности протекает *процесс окисления* цинка:



При изменении направления тока в элементе на электроде начнет протекать *процесс восстановления*, но не ионов  $\text{Zn}^{2+}$ , а ионов  $\text{Cu}^{2+}$ :



Каждый электрод характеризуют, записывая уравнение протекающей на нем электродной (или потенциалопределяющей) реакции, а также указывая величину его электродного потенциала. Электродная реакция на отдельно взятом электроде записывается как реакция восстановления, например:



Электродным потенциалом называется разность потенциалов между точками внутри различных образующих электрод фаз (например, металла и раствора), возникающая в результате перехода заряженных частиц из одной фазы в другую. Электродный потенциал обозначают в соответствии с электродной реакцией, например, потенциал указанного выше медного электрода записывается как  $E_{\text{Cu}^{2+}/\text{Cu}}$ , где над чертой запи-

сывают все, относящееся к окисленной форме, а под чертой – к восстановленной.

Абсолютное значение электродного потенциала определить невозможно, поэтому на практике определяют относительную величину электродных потенциалов ( $E_{\text{эл}}$ ), т. е. электродвижущую силу (ЭДС) гальванического элемента, состоявшего из данного электрода и *электрода сравнения*, электродный потенциал которого принимается равным нулю. В настоящее время в качестве электрода сравнения выбран *стандартный водородный электрод* (СВЭ), представляющий собой платиновую пластинку, опущенную в раствор, активность ионов водорода ( $a_{\text{H}^+}$ ) в котором равна единице ( $a_{\text{H}^+} = a_{\pm} = 1$ ). Через раствор пропускается газообразный водород под давлением  $p_{\text{H}_2} = 1$  атм. Принято, что при любых температурах потенциал этого электрода ( $\text{H}^+ \mid \text{H}_2$  (Pt)) равен нулю:

$$= 0 \text{ В.}$$

Стандартные электродные потенциалы  $E_{\text{эл}}^{\circ}$  всех электролов получены путем формирования гальванического элемента ( $\Gamma\text{Э}$ ), состоящего из СВЭ и исследуемого электрода при активностях всех участников электродного процесса, равных единице. При записи таких гальванических элементов СВЭ должен быть записан *слева*, а исследуемый электрод – *справа* (при этом диффузионный потенциал (см. ниже) должен быть устранен или сведен к минимуму). Например, при определении стандартного потенциала медного электрода собирают следующий ГЭ:



При работе такого гальванического элемента электроны во внешней цепи перемещаются от стандартного водородного электрода к исследуемому медному электролду. Это означает, что на правом электролде протекает процесс восстановления катионов меди, а на левом – процесс окисления водорода. В этом случае электродвижущая сила гальванического элемента (ЭДС ГЭ) положительна и потенциальну исследуемого электрода приписывается положительный знак:

$$E_{\text{ТЭ}} = - E_{\text{H}^+/\text{H}_2}^{\circ} = E_{\text{Cu}^{2+}/\text{Cu}}^{\circ} > 0.$$

При работе гальванического элемента



электроны во внешней цепи переходят от цинкового электрода к стандартному водородному электроду. ЭДС такого гальванического элемента отрицательна, а потенциалу цинкового электрода приписывают отрицательный знак:

$$E_{\text{гэ}} = E_{\text{Zn}^{2+}/\text{Zn}}^{\circ} - E_{\text{H}^{+}/\text{H}_2}^{\circ} = E_{\text{Zn}^{2+}/\text{Zn}}^{\circ} < 0.$$

Значения стандартных электродных потенциалов ( $E_{\text{эл}}^{\circ}$ ) приведены в справочных таблицах. В этих таблицах электрод с более высоким электродным потенциалом имеет большую тенденцию к восстановлению, а с менее высоким – к окислению. Это означает, что по относительному положению двух электродов в таблице можно судить о том, будет ли один из них восстанавливать другой при стандартных условиях.

Величина электродного потенциала ( $E_{\text{эл}}$ ) зависит от природы электрода (электродной или потенциалопределяющей реакции), температуры и активностей (концентраций, парциальных давлений) веществ, участвующих в электродной реакции. Значение  $E_{\text{эл}}$  можно рассчитать по уравнению Нернста (4.44):

$$(4.44)$$

$$\frac{E_{\text{эл}}^{\circ}}{RT} = \frac{E_{\text{эл}}^{\circ} + \frac{\ln \frac{P_{\text{окисл}}}{P_{\text{восст.}}} - \frac{RT}{F} \ln \frac{a_{\text{окисл}}}{a_{\text{восст.}}}}{z \cdot F}}{R \cdot T} = 0,059,$$

где  $E_{\text{эл}}^{\circ}$  – электродный потенциал, В;

$E_{\text{эл}}^{\circ}$  – стандартный электродный потенциал (т. е. потенциал электрода при активностих всех участников электродной реакции, равных 1), В;

$R$  – универсальная газовая постоянная, 8,314 Дж/К (как и в уравнении [2.25] и др.);

$T$  – абсолютная температура, К;

$z$  – количество моль экв. электронов, поступающее во внешнюю цепь (или из внешней цепи) в ходе одного пробега электродной реакции;

$F$  – число (постоянная) Фарадея (заряд, переносимый 1 моль экв заряженных частиц), 96 485 Кл · моль<sup>-1</sup>;

и  $\prod_{j=1}^n a_j^{v_j}$  (восст. формы) – произведения активностей веществ, образующихся на электроде в процессе окисления, в стечениях, равных их стехиометрическим коэффициентам ( $v_i$  и  $v_j$ ) в уравнении электродной реакции.

При  $T = 298$  К уравнение (4.44) можно записать в виде (4.45):

$$E_{\text{эл}} = E_{\text{эл}}^{\circ} + \frac{0,059}{z} \lg \frac{\prod_{i=1}^m a_i^{v_i} (\text{окисл. формы})}{\prod_{j=1}^n a_j^{v_j} (\text{восст. формы})}, \quad (4.45)$$

учитывая, что при этой температуре (298 К)  $(2,303 \cdot R \cdot T)/F = 0,059$ .

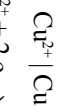
В электродных процессах могут принимать участие ионы, входящие в состав сильных и слабых электролитов, газы, твердые и жидкые вещества постоянного и переменного состава. Активности ионов ( $a_+$  и  $a_-$ ) сильного электролита, участвующего в электродном процессе, принимают равными, согласно (4.17), средней ионной активности этого электролита ( $a_{\pm}$ ). В случае слабых электролитов концентрации ионов рассчитывают с учетом степени диссоциации данного электролита. Активности газообразных участников электрохимического процесса при невысоких давлениях принимают равными их парциальным давлениям ( $a = p$ ). При этом следует помнить, что в уравнение Нернста записывается относительное давление газа, численно равное парциальному давлению этого газа, выраженному в атмосферах (где  $P_{\text{окисл}}/P_{\text{восст.}} = 1$  атм). Активности индивидуальных твердых или жидких фаз записываются в виде  $a_{\text{фаза}}/a_{\text{жидк.}}$

$$\prod_{j=1}^n a_j^{v_j} (\text{восст. формы})$$

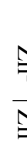
#### 4.5. Классификация электродов

Как было упомянуто выше, если при изменении направления электротока во внешней цепи гальванического элемента протекает одна и та же электродная реакция, но в различных направлениях, то такой электрод называется обратимым. В зависимости от природы электродной реакции (реакции, протекающей на электроде и определяющей величину электродного потенциала) среди обратимых электродов различают электроды I и II рода, а также окислительно-восстановительные электроды. К электродам I рода часто относят также амальгамные и газовые электроды, которые иногда рассматривают как отдельные типы электродов.

**4.5.1. Электроды I рода** – это электроды, обратимые относительно катиона (или аниона). Электродами, обратимыми относительно катиона, являются металлические пластины, опущенные в раствор соли того же металла, например медный и цинковый электроды I рода:



так как  $a_{\text{Cu}} = 1$  (конденсированная фаза постоянного состава);



$$E_{\text{Zn}^{2+}/\text{Zn}} = E_{\text{Zn}^{2+}/\text{Zn}}^{\circ} + \frac{0,059}{2} \lg \frac{a_{\text{Zn}^{2+}}}{a_{\text{Zn}}} = E_{\text{Zn}^{2+}/\text{Zn}}^{\circ} + \frac{0,059}{2} \lg a_{\text{Zn}^{2+}},$$

так как  $a_{\text{Zn}} = 1$  (конденсированная фаза постоянного состава).

Примером электрода I рода, обратимого относительно аниона, является селеновый электролит:



$$E_{\text{Se}^{2-}/\text{Se}} = E_{\text{Se}^{2-}/\text{Se}}^{\circ} + \frac{0,059}{2} \lg \frac{a_{\text{Se}}}{a_{\text{Se}^{2-}}} = E_{\text{Se}^{2-}/\text{Se}}^{\circ} - \frac{0,059}{2} \lg a_{\text{Se}^{2-}}$$

так как  $a_{\text{Se}} = 1$  (конденсированная фаза постоянного состава).

К электродам I рода относят также *амальгамные электролиты*, состоящие из амальгамы (раствора металла в ртути), находящейся в контакте с раствором, содержащим катионы этого же металла. Примером такого электрода может выступать калиевый амальгамный электролит:

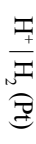


$$E_{\text{K}^+/\text{K}} = E_{\text{K}^+/\text{K}}^{\circ} + 0,059 \lg \frac{a_{\text{K}^+}}{a_{\text{K}(\text{Hg})}},$$

при этом обозначение электродного потенциала остается таким же, как для электролита I рода на основе соответствующего чистого металла (в соответствии с электродной реакцией), а уравнение Нернста не упрощается, как это было показано выше для электрода I рода, поскольку амальгама является фазой переменного состава, активность калия в которой зависит от состава амальгамы и не равна единице:  $a_{\text{K}(\text{Hg})} \neq 1$ .

С использованием амальгам удалось создать обратимые электролиты, содержащие щелочные металлы, и измерить их стандартные электродные потенциалы в водных растворах.

К электролитам I рода относят также *газовые электролиты*, в качестве примеров которых рассмотрим газовые водородный и хлорный электролиты:



$$\text{H}_2 | \text{H}_2$$

$$\text{H}_2^+ = \text{H}_2^+ / \text{H}_2 = 0 \text{ В};$$

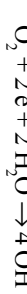


$$E_{\text{Cl}_2/\text{Cl}^-} = E_{\text{Cl}_2/\text{Cl}^-}^{\circ} + \frac{0,059}{2} \lg \frac{P_{\text{Cl}_2}}{a_{\text{Cl}^-}^2},$$

а также газовый кислородный электролит в щелочной среде (обратимый относительно аниона гидроксила):

$$\text{E}_{\text{H}_2/\text{H}_2^+}^{\circ} = -119 \text{ mV}$$

$$= E_{\text{H}_2/\text{H}_2^+}^{\circ} + 0,059 \lg \frac{P_{\text{H}_2}}{a_{\text{H}_2^+}^2} = -119 \text{ mV} + 0,059 \lg \frac{P_{\text{H}_2}}{a_{\text{H}_2^+}^2} = -119 \text{ mV} + 0,059 \lg P_{\text{H}_2} \text{ (РП)}$$



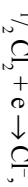
$$E_{\text{O}_2/\text{H}_2\text{O}^-}^{\circ} = E_{\text{O}_2/\text{H}_2\text{O}^-}^{\circ} + \frac{0,059}{4} \lg \frac{P_{\text{O}_2} \cdot a_{\text{H}_2\text{O}}^2}{a_{\text{OH}^-}^4} = E_{\text{O}_2/\text{H}_2\text{O}^-}^{\circ} + \frac{0,059}{4} \lg \frac{P_{\text{O}_2}}{a_{\text{OH}^-}^4},$$

поскольку активность воды равна единице ( $a_{\text{H}_2\text{O}} = 1$ ).

Поскольку величины электродных потенциалов водородного и кислородного электролитов зависят от активности в растворе ионов  $\text{H}^+$  ( $\text{OH}^-$ ), с помощью этих электролитов можно определять pH растворов. Так как  $\text{pOH} = -\lg a_{\text{OH}^-}$ , а при  $T = 298 \text{ K}$   $\text{pH} + \text{pOH} = 14$ , получаем (при  $P_{\text{H}_2} = 1 \text{ atm}$ ,  $P_{\text{O}_2} = 1 \text{ atm}$ ):

$$E_{\text{O}_2/\text{H}_2\text{O}^-}^{\circ} = E_{\text{O}_2/\text{H}_2\text{O}^-}^{\circ} - 0,059 \cdot \lg a_{\text{OH}^-} = E_{\text{O}_2/\text{H}_2\text{O}^-}^{\circ} + 0,059 \cdot \text{pOH}.$$

Следует также отметить, что величина электродного потенциала электрода не зависит от формы записи электродной реакции (коэффициентов в этом уравнении). Например, если записать уравнение реакции, протекающей на газовом хлорном электроде в виде



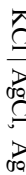
то уравнение Нернста будет иметь вид

$$E_{\text{Cl}_2/\text{Cl}^-} = E_{\text{Cl}_2/\text{Cl}^-}^{\circ} + \frac{0,059}{1} \lg \frac{p_{\text{Cl}_2}}{a_{\text{Cl}^-}},$$

что совпадает с приведенным выше выражением для  $E_{\text{Cl}_2/\text{Cl}^-}$ .

**4.5.2. Электролы II рода** – это электроды, обратимые относительно аниона (или катиона). Типичный электрол II рода представляет собой металлическую пластину, покрытую слоем трудно растворимого соединения этого металла, и опущенную в раствор, насыщенный относительно этого трудно растворимого соединения. Раствор, кроме того, содержит хорошо растворимый электролит с одноименным анионом, т. е. анионом, входящим в состав трудно растворимого соединения.

Примером такого электрода может служить хлорсеребряный электрол II рода:



$\text{AgCl} + \text{e} \rightarrow \text{Ag} + \text{Cl}^-$  (суммарная электрохимическая реакция).

Активность катионов  $\text{Ag}^+$  в насыщенном растворе хлорида серебра очень мала, а активность анионов  $\text{Cl}^-$  можно считать равной величине  $a_{\pm}$  сильного электролита  $\text{KCl}$  (на самом деле она складывается из активности анионов  $\text{Cl}^-$ , образующихся при диссоциации  $\text{KCl}$ , и очень небольшой величине активности катионов  $\text{Cl}^+$ , образующихся при диссоциации трудно растворимого соединения  $\text{AgCl}$ ). В соответствии с уравнением Нернста выражение для электродного потенциала данного электрода при  $T = 298 \text{ K}$  имеет вид

$E_{\text{II}}^{\circ} = E_1^{\circ} + \frac{0,059}{Z} \cdot \lg \Pi \text{P}_{\text{AgCl}}$ ,

где  $E_{\text{II}}^{\circ}$  и  $E_1^{\circ}$  – стандартные электродные потенциалы электрода II рода и соответствующего ему электрода I рода;

$\Pi \text{P}$  – произведение растворимости трудно растворимого соединения, входящего в состав электрода II рода.

поскольку  $a_{\text{Ag}} = a_{\text{AgCl}} = 1$  (конденсированные (твердые) фазы постоянного состава).

Из последнего уравнения видно, что величина электродного потенциала хлорсеребряного электрода II рода зависит только от активности анионов  $\text{Cl}^-$ , т. е. определяется концентрацией хорошо растворимого электролита. В соответствии с этим уравнением данный электрол рассчитывается как обратимый относительно аниона ( $\text{Cl}^-$ ). Учитывая, что активности катионов  $\text{Ag}^+$  анионов  $\text{Cl}^-$  в насыщенном растворе хлорида серебра связаны выражением  $\Pi \text{P}_{\text{AgCl}} = a_{\text{Ag}^+} \cdot a_{\text{Cl}^-}$ , уравнение Нернста для хлорсеребряного электрода II рода можно записать в виде

$$E_{\text{AgCl}/\text{Ag}, \text{Cl}^-} = E_{\text{AgCl}/\text{Ag}, \text{Cl}^-}^{\circ} - 0,059 \cdot \lg \Pi \text{P}_{\text{AgCl}} + 0,059 \cdot \lg a_{\text{Ag}^+},$$

рассматривая этот электрол как обратимый относительно катиона ( $\text{Ag}^+$ ). Учитывая, что на рассматриваемом электролите происходит процесс восстановления катионов серебра ( $\text{Ag}^+ + \text{e} \rightarrow \text{Ag}$ ), формально его можно описать как серебряный электрол I рода. В этом случае уравнение Нернста для данного электрода имеет вид

$$E_{\text{AgCl}/\text{Ag}, \text{Cl}^-}^{\circ} = E_{\text{AgCl}/\text{Ag}, \text{Cl}^-}^{\circ} + 0,059 \cdot \lg \frac{a_{\text{Ag}^+}}{a_{\text{Ag}} \cdot a_{\text{Cl}^-}} = E_{\text{AgCl}/\text{Ag}, \text{Cl}^-}^{\circ} + 0,059 \cdot \lg a_{\text{Cl}^-},$$

Поскольку левые части последних двух уравнений равны, равны и правые части:

$$E_{\text{AgCl}/\text{Ag}, \text{Cl}^-}^{\circ} - 0,059 \cdot \lg \Pi \text{P}_{\text{AgCl}} + 0,059 \cdot \lg a_{\text{Ag}^+} = E_{\text{Ag}^+/\text{Ag}}^{\circ} + 0,059 \cdot \lg a_{\text{Ag}^+},$$

откуда получаем выражение

$$E_{\text{AgCl}/\text{Ag}, \text{Cl}^-}^{\circ} = E_{\text{Ag}^+/\text{Ag}}^{\circ} + 0,059 \cdot \lg \Pi \text{P}_{\text{AgCl}},$$

которое в общем случае можно записать в виде

$$E_{\text{II}}^{\circ} = E_1^{\circ} + \frac{0,059}{Z} \cdot \lg \Pi \text{P},$$

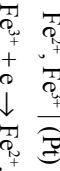
Широко используется на практике (в качестве электрода сравнения) каломельный ( $\text{Hg}_2\text{Cl}_2$  – каломель) электрод II рода:



□

поскольку  $a_{\text{Hg}} = a_{\text{Hg}_2\text{Cl}_2} = 1$  (конденсированные фазы постоянного состава).

**4.5.3. Окислительно-восстановительные электроды** (или *редокс-(Red/Ox)-электроды*) представляют собой пластинки из инертного металла (переносчика электронов), опущенные в раствор, содержащий обе формы (и окисленную, и восстановленную) основного вещества. Примером такого электрода может служить «железный» окисительно-восстановительный электрод:



$$E_{\text{Fe}^{3+}/\text{Fe}^{2+}} = E_{\text{Fe}^{3+}/\text{Fe}^{2+}}^{\circ} + 0,059 \lg \frac{a_{\text{Fe}^{3+}}}{a_{\text{Fe}^{2+}}}.$$

Особый интерес в связи с широким использованием на практике вызывает окислительно-восстановительный хингидронный электрод. Он представляет собой платиновую пластинку, опущенную в насыщенный раствор хингидрона. Хингидрон – сложное органическое вещество ( $\text{C}_6\text{H}_4\text{O}_2 \cdot \text{C}_6\text{H}_4(\text{OH})_2$ ), распадающееся в растворе на эквимолярные (равные) количества хиона ( $\text{C}_6\text{H}_4\text{O}_2$ ) и гидрохиона ( $\text{C}_6\text{H}_4(\text{OH})_2$ ):

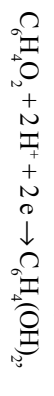


Гидрохинон, являясь слабой двухосновной кислотой, диссоциирует, образуя при этом анион, одинаковый по составу с хионом:



Этот анион может окисляться до хиона. Ниже приведены схема, электродная реакция и уравнение Нернста для расчета электродного потенциала окислительно-восстановительного хингидронного электрода:

(иногда данный электрод записывают как  $\text{H}^+ | \text{C}_6\text{H}_4(\text{OH})_2, \text{C}_6\text{H}_4\text{O}_2$ , (Pt))



$$\frac{E_{\text{C}_6\text{H}_4\text{O}_2, \text{H}^+}}{\text{C}_6\text{H}_4(\text{OH})_2} = E_{\text{C}_6\text{H}_4\text{O}_2, \text{H}^+}^{\circ} / \text{C}_6\text{H}_4(\text{OH})_2 + \frac{0,059}{2} \lg \frac{a_{\text{C}_6\text{H}_4\text{O}_2} \cdot a_{\text{H}^+}^2}{a_{\text{C}_6\text{H}_4(\text{OH})_2}}.$$

Хингидрон представляет собой эквимолярную смесь хиона и гидрохиона, поэтому в их насыщенном растворе (а эти соединения малорастворимы в воде)  $a_{\text{C}_6\text{H}_4(\text{OH})_2} = a_{\text{C}_6\text{H}_4\text{O}_2}$ , что позволяет упростить уравнение Нернста для данного электрода:

$$E_{\text{C}_6\text{H}_4\text{O}_2, \text{H}^+} = E_{\text{C}_6\text{H}_4\text{O}_2, \text{H}^+}^{\circ} / \text{C}_6\text{H}_4(\text{OH})_2 + 0,059 \lg a_{\text{H}^+}$$

или, учитывая соотношение (4.18):

$$E_{\text{C}_6\text{H}_4\text{O}_2, \text{H}^+} = E_{\text{C}_6\text{H}_4\text{O}_2, \text{H}^+}^{\circ} / \text{C}_6\text{H}_4(\text{OH})_2 - 0,059 \cdot \text{pH}.$$

Хингидронный электрод широко используется для определения  $a_{\text{C}_6\text{H}_4(\text{OH})_2} \neq a_{\text{C}_6\text{H}_4\text{O}_2}$  pH кислых, щелочных, однако для определения pH щелочных сред  $E_{\text{Hg}_2\text{Cl}_2/\text{HgCl}^-}^{\circ}$  не применяется, поскольку  $E_{\text{Hg}_2\text{Cl}_2/\text{HgCl}^-}^{\circ}$  в зависимости от условий равновесия электродной реакции сильно смещается влево, активности хиона и гидрохиона уже не равны.

Для определения pH раствора в этом случае необходимо дополнительное определение активностей хиона и гидрохиона, что представляет собой довольно сложную проблему.

#### 4.6. Гальванические элементы. Электродвижущая сила гальванического элемента

Гальванический элемент принят изображать в виде схемы, которая включает в себя два электрода, соединенных особым образом. При этом в ГЭ различают внутреннюю цепь (состоящую из проводников II рода – ионных проводников), в которой происходит перенос вещества от одного электрода к другому, и внешнюю цепь (состоящую из проводников I рода – электронных проводников (металлов или неметаллов)), в которой осуществляется перенос электронов.

Справа в схеме гальванического элемента записывают электрод с

более высоким, слева – с менее высоким (более низким) электродным потенциалом.

На левом электроде (аноде) протекает процесс окисления ( $Zn = Zn^{2+} + 2 e$ , выделение электронов (уходящих во внешнюю цепь)), а на правом (катоде) – процесс восстановления ( $Zn^{2+} + 2 e = Zn$ ; присоединение электронов (приходящих на электрод из внешней цепи)). Правый электрод записывается в соответствии с правилами записи электродов, т. е. слева от вертикальной черты, означающей границу раздела фаз, записывают электролит (раствор), а справа – вещество электрода. Левый электрод изображают по схеме зеркально-симметрично правому. Двойная вертикальная черта между электродами в записи ГЭ означает, что эти электроды соединены при помощи солевого мостика, и диффузионный потенциал между электродами практически устранен.

Диффузионный потенциал возникает в связи с диффузией электролита из раствора с большей активностью (концентрацией) в раствор с меньшей активностью (концентрацией). Подвижности катионов и анионов в общем случае неодинаковы, поэтому ионы с большей подвижностью дифундируют в более разбавленный раствор с большей скоростью и в пограничном слое между растворами происходит пространственное разделение зарядов.

Возникающая в связи с этим в пограничном слое между двумя растворами дополнительная разность потенциалов называется *диффузионным потенциалом*. Электродвижущая сила гальванического элемента ( $E_{\text{ГЭ}}$ ) рассчитывается по формуле (4.46):

$$E_{\text{ГЭ}} = E_{\text{пп}} - E_{\text{жел}} = E_+ - E_-, \quad (4.46)$$

где  $E_{\text{пп}} \equiv E_+$  и  $E_{\text{жел}} = E_-$  – потенциалы катода и анода соответственно.

При этом ЭДС характеризует гальванический элемент, процесс в котором протекает термодинамически обратимо. Это возможно, если электроды соединены проводником с бесконечно большим сопротивлением, т. е. если электрический ток во внешней цепи отсутствует и химическая реакция в гальваническом элементе протекает бесконечно медленно. Если процесс в ГЭ протекает необратимо, то такой элемент может совершать работу. При наступлении равновесия в гальваническом элементе производство работы прекращается, так как значения электродных потенциалов катода и анода выравниваются ( $E_{\text{ГЭ}} = 0$ ).

#### 4.7. Классификация гальванических элементов

Как упоминалось выше, гальванический элемент представляет собой устройство, состоящее из двух и более электродов, в котором происходит преобразование энергии химических процессов в электрическую (при протекании химической реакции или физико-химического процесса), и которое за счет этого способно совершать электрическую работу. В зависимости от природы электродов, образующих гальванический элемент, а также от конструкционных особенностей этого элемента различают химические и концентрационные ГЭ, а также ГЭ с переносом и без переноса.

*Химический гальванический элемент* (ХГЭ) состоит из различных по своей природе электродов; эти элементы совершают электрическую работу за счет того, что в них протекает химическая реакция.

*Концентрационные гальванические элементы* (КГЭ) состоят из электродов, одинаковых по своей природе, но отличающихся активностями участников электродных реакций (активности ионов в растворе, парциальные давления газов на электродах и т. д.). В этих ГЭ работа совершается за счет выравнивания активностей участников электродных реакций на аноде и катоде.

В состав гальванического элемента с *переносом* (ГЭ СП) входят два раствора, которые разделены полупроницаемой мембраной либо солевым мостиком (!). Внутри таких элементов имеется граница раздела двух жидкких фаз, через которую происходит перенос ионов, т. е. под переносом понимают перенос ионов через границу раздела *двух жидкокомплексных фаз*. Наличие контакта двух жидкких фаз обуславливает возникновение в ГЭ диффузионного потенциала (см. подраздел 4.6). Наличие диффузионного потенциала ( $E_{\text{жел}}$ ) в ГЭ изменяет величину его ЭДС, которая в данном случае рассчитывается по уравнению (4.47):

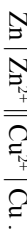
$$E_{\text{ГЭ}} = E_{\text{пп}} - E_{\text{жел}} + E_{\text{ж}} = E_+ - E_- + E_{\text{ж}} \quad (4.47)$$

Диффузионный потенциал может быть положительным ( $E_{\text{ж}} > 0$ ) и отрицательным ( $E_{\text{ж}} < 0$ ), т. е. он может увеличивать или уменьшать ЭДС гальванического элемента. Использование солевого мостика (насыщенный (или одномолярный) раствор  $KCl$  в геле агар-агара, в простейшем случае – фильтровальная бумага, пропитанная насыщенным раствором  $KCl$ ) позволяет свести к минимуму диффузионный потенциал гальванических элементов с переносом. На практике ЭДС гальванических элементов с переносом часто рассчитывают по формуле (4.46), считая,

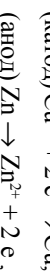
что вследствие использования солевого мостика диффузионный потенциал в них практически устранен.

В состав гальванических элементов без *переноса* (ГЭ БП) входит только один раствор (общий для катода и анода), таким образом, в таких ГЭ отсутствует контакт двух растворов, и, как следствие, отсутствует диффузионный потенциал. Значение ЭДС таких элементов рассчитывается по уравнению (4.46) точно.

**4.7.1. Химический гальванический элемент с переносом.** Типичным примером химического гальванического элемента с переносом (ХГЭ СП) является элемент Якоби – Даниэля, составленный из двух электролов I рода – медного и цинкового. Вследствие того, что потенциал медного электрода ( $E_{\text{Cu}^{2+}/\text{Cu}}^{\circ} = 0,337$  В) больше, чем цинкового ( $E_{\text{Zn}^{2+}/\text{Zn}}^{\circ} = -0,763$  В), этот электролит является положительным (катодом), а цинковый – отрицательным (анодом):



На катоде в гальваническом элементе протекает реакция восстановления, а на аноде – реакция окисления:



при этом суммарное уравнение химической реакции, протекающей в гальваническом элементе, полученное путем сложения электродных реакций, имеет вид

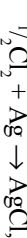


т. е. в гальваническом элементе Якоби – Даниэля за счет окисления цинка происходит восстановление меди.

ЭДС ГЭ Якоби – Даниэля рассчитывают по формуле (4.46):

$$E_{\text{T3}} = E_{+} - E_{-},$$

учитывая, что уравнения Нернста для катода и анода имеют вид



т. е. в данном элементе суммарно происходит окисление металлического серебра газообразным молекулярным хлором с образованием хлорида серебра. Уравнение Нернста для расчета ЭДС данного ГЭ имеет вид

$$E_{-} = E_{\text{Zn}^{2+}/\text{Zn}}^{\circ} = E_{\text{Zn}^{2+}/\text{Zn}}^{\circ} + \frac{0,059}{2} \lg a_{\text{Zn}^{2+}}.$$

Тогда ЭДС ГЭ равна

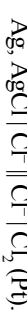
$$E_{\text{T3}} = E_{+} - E_{-} = E_{\text{Cu}^{2+}/\text{Cu}}^{\circ} - E_{\text{Zn}^{2+}/\text{Zn}}^{\circ},$$

т. е.

$$E_{\text{T3}} = E_{\text{T3}}^{\circ} + \frac{0,059}{2} \lg \frac{a_{\text{Cu}^{2+}}}{a_{\text{Zn}^{2+}}},$$

где  $E_{\text{T3}}^{\circ} = E_{\text{Cu}^{2+}/\text{Cu}}^{\circ} - E_{\text{Zn}^{2+}/\text{Zn}}^{\circ}$  – стандартная ЭДС ГЭ или электродвижущая сила стандартного гальванического элемента (ГЭ, активности всех участников электродных процессов в котором равны единице; в данном случае  $a_{\text{Cu}^{2+}} = a_{\text{Zn}^{2+}} = 1$ ).

Другим примером ХГЭ СП может служить гальванический элемент, составленный из хлорсеребряного электрода II рода и газового хлорного электрода. Поскольку потенциал газового хлорного электрода ( $E_{\text{Cl}_2/\text{Cl}^-}^{\circ} = 1,36$  В) больше, чем хлорсеребряного ( $E_{\text{AgCl}/\text{Ag},\text{Cl}^-}^{\circ} = 0,222$  В), то именно газовый хлорный электролит будет катодом, а хлорсеребряный, соответственно, – анодом, и гальванический элемент запишется как



На катоде и аноде в этом ГЭ протекают следующие реакции:



а уравнение химической реакции, протекающей в ГЭ, имеет вид



$$E_{\Gamma\Theta} = E_{\text{Cl}_2/\text{Cl}^-}^{\circ} + 0,059 \cdot \lg \frac{p_{\text{Cl}_2}^{\sqrt{2}}}{a_{\text{Cl}^-, \text{пр}}} - E_{\text{AgCl}/\text{AgCl}^-}^{\circ} + 0,059 \cdot \lg a_{\text{Cl}^-, \text{лев}},$$

где  $a_{\text{Cl}^-, \text{пр}}$  и  $a_{\text{Cl}^-, \text{лев}}$  – активности ионов  $\text{Cl}^-$  на правом (газовом хлорном) и левом (хлорсеребряном II рода) электродах.

$$E_{\Gamma\Theta} = E_{\Gamma\Theta}^{\circ} + 0,059 \cdot \lg \frac{a_{\text{Cl}^-, \text{лев}} \cdot p_{\text{Cl}_2}^{\sqrt{2}}}{a_{\text{Cl}^-, \text{пр}}},$$

где  $E_{\Gamma\Theta}^{\circ} = E_{\text{Cl}_2/\text{Cl}^-}^{\circ} - E_{\text{AgCl}/\text{AgCl}^-}^{\circ}$  – стандартная ЭДС ГЭ.

Как видно, ЭДС данного гальванического элемента зависит от активности ионов  $\text{Cl}^-$  на правом ( $a_{\text{Cl}^-, \text{пр}}$ ) и левом ( $a_{\text{Cl}^-, \text{лев}}$ ) электродах, а также от давления молекулярного хлора на правом электроде ( $p_{\text{Cl}_2}$ ).

**4.7.2. Химический гальванический элемент без переноса.** Как было указано выше, в состав гальванического элемента без переноса входит только один раствор (общий для катода и анода). Такой элемент можно собрать, например, из хлорсеребряного электрода II рода и газового хлорного электрода. Схема ХГЭ БП записывается следующим образом:



Электродные реакции и суммарная реакция, протекающие в данном гальваническом элементе будут такими же, как и для рассмотренного выше ХГЭ СП, составленного из этих же электролов. Уравнение Нернста в данном случае будет иметь более простой вид, поскольку в данном случае  $a_{\text{Cl}^-, \text{пр}} = a_{\text{Cl}^-, \text{лев}} = a_{\text{Cl}^-}$  (общий раствор):

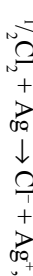
$$E_{\Gamma\Theta} = E_{\text{Cl}_2/\text{Cl}^-}^{\circ} - E_{\text{AgCl}/\text{AgCl}^-}^{\circ} + 0,059 \cdot \lg p_{\text{Cl}_2}^{\sqrt{2}} = E_{\Gamma\Theta}^{\circ} + \frac{0,059}{2} \cdot \lg p_{\text{Cl}_2},$$

т. е. электродвижущая сила данного ГЭ зависит только от давления молекулярного хлора на правом электроде ( $p_{\text{Cl}_2}$ ) и не зависит от активности ионов  $\text{Cl}^-$  в растворе.

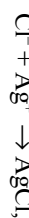
К преимуществам ХГЭ БП можно отнести тот факт, что в них отсутствует диффузионный потенциал и ЭДС таких элементов определяется только электродными потенциалами входящих в их состав электролов.

Стоит однако отметить, что количество ХГЭ БП значительно меньше, чем ХГЭ СП. Действительно, ХГЭ с переносом можно, в принципе, собрать из любой пары электролов (отличающихся по своей природе), тогда как ХГЭ без переноса можно собрать только из таких электролов, в общем растворе которых (составленном из растворов отдельных электролов) не будут протекать необратимые реакции (приводящие к образованию осадка или газа).

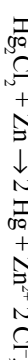
Так, например, из газового хлорного электрода ( $\text{KCl} \mid \text{Cl}_2 \text{ (Pt)}$ ) и серебряного электрода I рода ( $\text{AgNO}_3 \mid \text{Ag}$ ) можно создать ХГЭ СП, в котором будет протекать суммарная реакция:



и нельзя создать ХГЭ БП, поскольку в последнем случае в объединенном растворе ( $\text{KCl} + \text{AgNO}_3$ ) вместо приведенной выше будет протекать необратимая реакция:



приводящая к выпадению осадка  $\text{AgCl}$ . Гипичным примером ХГЭ БП с одним электролитом, активность катиона которого определяет электродный потенциал одного электрода, а активность анионов – электродный потенциал второго электрода, является ГЭ, состоящий из гильзового электрода I рода и катодельного электрода II рода:  $E_{\Gamma\Theta} = E_+ - E_- = E_{\text{Hg}_2\text{Cl}_2/\text{HgCl}^-}^{\circ} - E_{\text{Zn}^{2+}/\text{Zn}}^{\circ}$ ,  $\text{Zn} \mid \text{ZnCl}_2 \mid \text{Hg}_2\text{Cl}_2, \text{Hg}$ ,



$$E_{\Gamma\Theta} = E_{\text{Hg}_2\text{Cl}_2/\text{HgCl}^-}^{\circ} - 0,059 \cdot \lg a_{\text{Cl}^-} - (E_{\text{Zn}^{2+}/\text{Zn}}^{\circ} + \frac{0,059}{2} \cdot \lg a_{\text{Zn}^{2+}}),$$

откуда, с учетом того, что  $E_{\Gamma\Theta}^{\circ} = E_{\text{Hg}_2\text{Cl}_2/\text{HgCl}^-}^{\circ} - E_{\text{Zn}^{2+}/\text{Zn}}^{\circ}$ ,

$$E_{\Gamma\Theta} = E_{\Gamma\Theta}^{\circ} - \frac{0,059}{2} \cdot \lg(a_{\text{Zn}^{2+}} \cdot a_{\text{Cl}^-}^2) = E_{\Gamma\Theta}^{\circ} - \frac{3 \cdot 0,059}{2} \cdot \lg(a_{\pm, \text{ZnCl}_2}),$$

поскольку  $a_{\pm, \text{ZnCl}_2} = (a_{\text{Zn}^{2+}} \cdot a_{\text{Cl}^-}^2)^3$ .

#### 4.7.3. Концентрационный гальванический элемент с переносом.

Простейшим примером концентрационного гальванического элемента с переносом (КГЭ СП) является элемент, составленный из двух медных электродов I рода, которые отличаются активностями катионов меди в растворах ( $a_{\text{Cu}^{2+},\text{пр}} = a_{\text{Cu}^{2+},\text{лев}}$ ):



$$a_{\text{Cu}^{2+},\text{лев}} \quad a_{\text{Cu}^{2+},\text{пр}}$$

На катоде и аноде этого гальванического протекает одна и та же реакция, но в различных направлениях:



поэтому суммарная химическая реакция отсутствует. В ходе работы данного ГЭ равные количества Cu переходят в раствор на левом электролиде и выделяются из раствора на правом, при этом концентрация  $\text{Cu}^{2+}$  на левом электролиде возрастает, а на правом – уменьшается. Таким образом, суммарный процесс заключается в переносе электролита из более концентрированного раствора – в менее концентрированный.

Уравнение Нернста для рассматриваемого ГЭ имеет вид

$$E_{\text{ТЭ}} = \frac{0,059}{2} \lg \frac{a_{\text{Cu}^{2+},\text{пр}}}{a_{\text{Cu}^{2+},\text{лев}}},$$

его ЭДС зависит от активностей ионов водорода в растворах ( $a_{\text{H}^+,\text{лев}}$  и  $a_{\text{H}^+,\text{пр}}$ ) и давлений водорода на электролодах ( $p_{\text{H}_2,\text{лев}}$  и  $p_{\text{H}_2,\text{пр}}$ ); при этом для того чтобы гальванический элемент работал (чтобы его ЭДС  $|E_{\text{ТЭ}}| > 0$ ), должно соблюдаться условие  $a_{\text{H}^+,\text{пр}}^2 \cdot p_{\text{H}_2,\text{лев}} > a_{\text{H}^+,\text{лев}}^2 \cdot p_{\text{H}_2,\text{пр}}$ , или, в частности,  $a_{\text{H}^+,\text{пр}} > a_{\text{H}^+,\text{лев}}$ ,  $p_{\text{H}_2,\text{лев}} > p_{\text{H}_2,\text{пр}}$ , т. е. активность окисленной формы ( $\text{H}^+$ ) на катоде должна быть больше, чем на аноде, а восстановленной ( $\text{H}_2$ ) – наоборот, на аноде больше, чем на катоде.

Если давления водорода на катоде и аноде равны

уравнение Нернста для данного ГЭ имеет вид

$$(p_{\text{H}_2,\text{лев}} = p_{\text{H}_2,\text{пр}}) E_{\text{ТЭ}} = 0,059 \cdot \lg \frac{a_{\text{H}^+,\text{пр}}}{a_{\text{H}^+,\text{лев}}} \text{ равны активности ионов водорода в растворах } (a_{\text{H}^+,\text{пр}} = a_{\text{H}^+,\text{лев}}), \text{ то}$$

$$E_{\text{ТЭ}} = \frac{0,059}{2} \lg \frac{p_{\text{H}_2,\text{лев}}}{p_{\text{H}_2,\text{пр}}}.$$

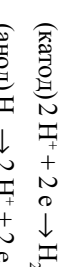
Еще одним примером КГЭ СП является гальванический элемент, составленный из двух серебряных электролов I рода, разделенных полупроницаемой мембраной ( ):



Расчет ЭДС данного элемента можно провести при помощи уравнения Нернста, в котором учтен диффузионный потенциал ( $E_{\perp}$ ):

$$E_{\text{ТЭ}} = \frac{0,059}{2} \lg \frac{a_{\text{Ag}^+,\text{пр}}}{a_{\text{Ag}^+,\text{лев}}} + E_{\perp}.$$

На катоде этого ГЭ протекает восстановление, а на аноде – окисление водорода:



а уравнение Нернста для расчета ЭДС данного ГЭ имеет вид

$$E_{\text{ТЭ}} = \frac{0,059}{2} \lg \frac{a_{\text{H}^+,\text{пр}}^2 \cdot p_{\text{H}_2,\text{лев}}}{a_{\text{H}^+,\text{лев}}^2 \cdot p_{\text{H}_2,\text{пр}}},$$

его ЭДС зависит от активностей ионов водорода в растворах ( $a_{\text{H}^+,\text{лев}}$  и  $a_{\text{H}^+,\text{пр}}$ ) и давлений водорода на электролодах ( $p_{\text{H}_2,\text{лев}}$  и  $p_{\text{H}_2,\text{пр}}$ ); при этом для того чтобы гальванический элемент работал (чтобы его ЭДС  $|E_{\text{ТЭ}}| > 0$ ), должно соблюдаться условие  $a_{\text{H}^+,\text{пр}}^2 \cdot p_{\text{H}_2,\text{лев}} > a_{\text{H}^+,\text{лев}}^2 \cdot p_{\text{H}_2,\text{пр}}$ , или, в частности,  $a_{\text{H}^+,\text{пр}} > a_{\text{H}^+,\text{лев}}$ ,  $p_{\text{H}_2,\text{лев}} > p_{\text{H}_2,\text{пр}}$ , т. е. активность окисленной формы ( $\text{H}^+$ ) на катоде должна быть больше, чем на аноде, а восстановленной ( $\text{H}_2$ ) – наоборот, на аноде больше, чем на катоде.

Если давления водорода на катоде и аноде равны

то

уравнение Нернста для данного ГЭ имеет вид

$$E_{\text{ТЭ}} = \frac{0,059}{2} \lg \frac{a_{\text{Ag}^+,\text{пр}}}{a_{\text{Ag}^+,\text{лев}}} + E_{\perp}.$$

Рассмотрим более подробно возникновение диффузионного потенциала на примере последнего ГЭ. В общем случае величина

диффузионного потенциала может быть рассчитана по уравнению (4.48):

$$E_{\text{д}} = \frac{R \cdot T}{z \cdot F} \cdot (t^- - t^+) \cdot \ln \frac{a_{\text{пр}}}{a_{\text{лев}}}, \quad (4.48)$$

или (4.49):

$$E_{\text{д}} = \frac{R \cdot T}{z \cdot F} \cdot \left( \frac{\lambda^- - \lambda^+}{\lambda^+ + \lambda^-} \right) \cdot \ln \frac{a_{\text{пр}}}{a_{\text{лев}}}, \quad (4.49)$$

где  $a_{\text{пр}}$  и  $a_{\text{лев}}$  – активности участников электродных реакций на правом (катод) и левом (анод) электродах;  $t^+$ ,  $t^-$  – числа переноса по катиону и аниону (числа переноса катиона и аниона), число переноса иона – это отношение количества, перенесенного видом ионов ( $q_+$  или  $q_-$ ), к общему количеству электричества, перенесенному всеми ионами ( $q_+ + q_-$ ):

$$t_+ = \frac{q_+}{q_+ + q_-}, \quad t_- = \frac{q_-}{q_+ + q_-},$$

$\lambda^+$ ,  $\lambda^-$  – подвижности катиона и аниона соответственно.

При температуре  $T = 298$  К предельные эквивалентные электропроводности входящих в состав раствора  $\text{AgNO}_3$  ионов  $\text{Ag}^+$  и  $\text{NO}_3^-$  составляют соответственно  $\lambda_{\text{Ag}^+}^0 = 71,5 \cdot 10^{-4}$  См  $\cdot$  м $^2$  · (моль ЭКВ) $^{-1}$  и

$\lambda_{\text{NO}_3^-}^0 = 61,9 \cdot 10^{-4}$  См  $\cdot$  м $^2$  · (моль ЭКВ) $^{-1}$ . Активность ионов  $\text{Ag}^+$  и  $\text{NO}_3^-$  на катоде выше, чем на аноде (для того, чтобы  $E_{\text{T}3} > 0$ , необходимо, чтобы

$a_{\text{Ag}^+, \text{лев}} < a_{\text{Ag}^+, \text{пр}}$ ); при этом подвижность анионов в данном случае выше

подвижности катионов ( $\lambda_{\text{NO}_3^-}^0 > \lambda_{\text{Ag}^+}^0$ ), поэтому они переходят из правого раствора в левый через полуупроникаемую мембрану быстрее.

При этом на границе раздела растворов происходит пространственное разделение зарядов: слева от полуупроникаемой мембранны преобладает отрицательный заряд, а справа – положительный. Как следует из приведенных рассуждений, а также из формулы (4.49), диффузионный потенциал в данном случае положителен ( $E_{\text{д}} > 0$ ) и увеличивает величину ЭДС ГЭ (в этом случае знак  $E_{\text{д}}$  совпадает со знаками электродов в данном гальваническом элементе).

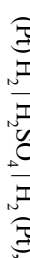
При ином соотношении активностей ионов на катоде и аноде или подвижностей катиона и аниона в растворах диффузионный потенциал

будет отрицательным ( $E_{\text{д}} < 0$ ) и будет уменьшать величину ЭДС гальванического элемента.

Диффузионный потенциал относительно невелик ( $E_{\text{д}} = 30–40$  мВ), и при проведении приближенных расчетов его не учитывают. Замена полуупроникаемой мембранны солевым мостиком приводит вследствие близости подвижностей ионов  $\text{K}^+$  и  $\text{Cl}^-$  ( $\lambda_{\text{Cl}^-}^0 \approx \lambda_{\text{K}^+}^0$ ) к уменьшению величины  $E_{\text{д}}$  до нескольких мВ:  $E_{\text{д}} = 2–3$  мВ.

#### 4.7.4. Концентрационный гальванический элемент без переноса.

Из электродов I (металлы или неметаллы в растворе собственной соли) или II рода такой гальванический элемент собрать нельзя, поскольку в этом случае раствор будет общим, электроды не будут отличаться ни по природе (КГЭ), ни по активностям участников электродной реакции, и ЭДС такого элемента будет равна нулю ( $E_{\text{T}3} = 0$ ). КГЭ БП можно собрать на базе амальгамных либо газовых электродов, например, на основе газового водородного электрода:



$$P_{\text{H}_2, \text{лев}} > P_{\text{H}_2, \text{пр}},$$

при этом такой ГЭ будет работать за счет выравнивания давлений водорода на катоде и аноде и только в том случае, если давление газа на левом электроде будет выше, чем на правом ЭДС такого ГЭ выражается соотношением

Другим примером КГЭ БП является элемент, составленный из двух цинковых амальгамных электродов:



$$a_{\text{Zn(Hg),лев}} > a_{\text{Zn(Hg),пр}}.$$

Этот гальванический элемент будет работать за счет выравнивания активностей цинка в амальгамах на катоде и аноде при условии, что  $a_{\text{Zn(Hg),лев}} > a_{\text{Zn(Hg),пр}}$ . ЭДС этого элемента рассчитывается по формуле

$$E_{\text{T}3} = \frac{0,059}{2} \lg \frac{a_{\text{Zn(Hg),лев}}}{a_{\text{Zn(Hg),пр}}}.$$

#### 4.8. Термодинамика гальванического элемента

Если реакцию в гальваническом элементе проводить обратно и при постоянных температуре и давлении ( $p, T \equiv \text{const}$ ), то убыль свободной энергии Гиббса ( $-\Delta G$ ) будет равна максимальной полезной работе ( $A'$ ) (формула (1.73б)). С другой стороны, электрическая работа гальванического элемента равна произведению его ЭДС ( $E_{\Gamma_3}$ ) на количество перенесенного заряда ( $q$ ) (4.50):

$$A' = q \cdot E_{\Gamma_3}. \quad (4.50)$$

По закону Фарadays, в гальваническом элементе переносится заряд  $q = z \cdot F$ , если в окислительно-восстановительной реакции прореагирует  $z$  моль экв веществ.

Тогда

$$A' = -\Delta G = z \cdot F \cdot E_{\Gamma_3}, \text{ или } \Delta G = -z \cdot F \cdot E_{\Gamma_3}. \quad (4.51)$$

Если гальванический элемент работает при стандартных условиях (когда активности всех участников протекающей в нем реакции равны единице), то

$$\Delta G^\circ = -z \cdot F \cdot E_{\Gamma_3}^\circ, \quad (4.52)$$

где  $E_{\Gamma_3}^\circ$  – стандартная ЭДС гальванического элемента.  
Учитывая, что, согласно (1.93а)

$$\left( \frac{\partial E_{\Gamma_3}}{\partial T} \right)_p = \frac{\Delta H_{\Gamma_3}^\circ}{z \cdot F \Delta S_{\Gamma_3}^\circ} \stackrel{\text{Поставляя } (4.57) \text{ в } (4.51) \text{ с учетом уравнения}}{\longrightarrow} \Delta H_{\Gamma_3}^\circ = T \cdot \Delta S_{\Gamma_3}^\circ, \quad (4.53)$$

подставим (4.51) в (4.53) и получим (4.54):

$$\Delta S = z \cdot F \cdot \left( \frac{\partial E_{\Gamma_3}^\circ}{\partial T} \right)_p = z \cdot F \cdot \frac{dE_{\Gamma_3}^\circ}{dT}, \quad (4.54)$$

а для стандартных условий (4.55):

$$\Delta S^\circ = z \cdot F \cdot \left( \frac{\partial E_{\Gamma_3}^\circ}{\partial T} \right)_p = z \cdot F \cdot \frac{dE_{\Gamma_3}^\circ}{dT}, \quad (4.55)$$

где  $\left( \frac{\partial E_{\Gamma_3}}{\partial T} \right)_p$  (или и  $\frac{dE_{\Gamma_3}}{dT}$ ) – температурный коэффициент ЭДС ГЭ и стандартной ЭДС ГЭ соответственно, показываю-

щий, на сколько В изменяется ЭДС и стандартная ЭДС ГЭ при изменении температуры на 1 кельвин. В зависимости от природы ГЭ эта величина может быть положительной или отрицательной.

Используя соотношение  $\Delta G = \Delta H - T \cdot \Delta S$  (для стандартных условий легко получить выражение для расчета теплового эффекта химической реакции, протекающей в гальваническом элементе  $\Delta H_T^\circ$  (4.56)):

$$\Delta H_T^\circ = z \cdot F \cdot (T \cdot \frac{dE_{\Gamma_3}^\circ}{dT} - E_{\Gamma_3}^\circ). \quad (4.56)$$

Учтем, что  $\Delta H_T^\circ$  – это тепловой эффект реакции, протекающей обратимо. В этом случае полезная работа не совершается. Количество теплоты, которая выделяется или поглощается в ходе реакции, обратимо и изотермически протекающей в гальваническом элементе, рассчитывается в соответствии со *вторым законом термодинамики*:

$$Q_{\text{обр}} = T \cdot \Delta S. \quad (4.57)$$

откуда следует, что чем больше теплоты поглощается из окружающей среды ( $Q_{\text{обр}} > 0$ ) и выделяется в результате химической реакции ( $\Delta H$ ), тем больше будет величина полезной работы, совершающейся ГЭ.

Для расчета константы равновесия химической реакции, протекающей в гальваническом элементе, используем уравнение изотермы химической реакции в виде формулы (2.28):

откуда, учитывая соотношение (4.52), получим (4.59):

$$\ln K_a = \frac{z \cdot F}{R \cdot T} \frac{E_{\Gamma_3}^\circ}{E_{\Gamma_3}}, \quad (4.59a)$$

$$K_a = \exp\left(\frac{z \cdot F}{R \cdot T} E_{\Gamma_3}^\circ\right), \quad (4.59b)$$

где  $E_{\Gamma_3}^\circ$  – стандартная ЭДС гальванического элемента.

## 5. ХИМИЧЕСКАЯ КИНЕТИКА

### 5.1. Приметы химической кинетики. Основной постулат химической кинетики

Химическая кинетика – раздел физической химии, в котором химические превращения веществ изучаются как процессы, протекающие во времени, исследуются закономерности, определяющие скорость этих превращений, а также их механизмы. Одной из основных задач химической кинетики является определение условий, при которых термодинамически возможные реакции будут протекать с необходимой скоростью. Практическая ценность кинетических параметров заключается в том, что с их помощью можно оптимизировать существующие и разрабатывать новые технологические процессы.

По способу описания различают *формальную* (феноменологическую) кинетику, или *макрокинетику*, в которой описание химического превращения проводится на основании экспериментальных данных о текущих концентрациях (парциальных давлениях) реагентов, и *молекулярную*, или *микрокинетику*, в которой описание процессов производится на микроуровне с учетом свойств реагирующих частиц. В данном пособии мы ограничимся рассмотрением макрокинетики.

Различают так называемые *прямую* и *обратную* задачи химической кинетики. *Прямая задача* заключается в определении скоростей химических реакций и концентраций участников этих реакций в любой момент времени, для чего необходимо знание начальных условий (начальных концентраций участников реакции), а также вида кинетического уравнения (определенного механизмом химической реакции). *Обратная же задача* состоит в том, чтобы с использованием кинетических данных (зависимостей концентраций участников реакции от времени  $C_i = f(t)$ ) определить вид кинетического уравнения, описывающего реакцию. Определение значения константы скорости химической реакции (см. ниже) и ее порядка (также см. ниже) проводится в рамках решения обратной задачи химической кинетики. Необходимо заметить, однако, что для решения обратной задачи чаше только кинетических данных (зависимостей  $C_i = f(t)$ ) недостаточно, необходимы дополнительные данные о механизме химической реакции.

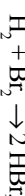
В зависимости от фазового состояния системы, в которой протекает химическая реакция, различают *гомогенные* (гомофазные) и *гетеро-*

генные (гетерофазные) процессы (реакции). Гомогенные реакции протекают в одной фазе, их можно разделить на газофазные (протекающие внутри газовой фазы) и *жидкофазные* (протекающие внутри жидкой фазы). К гетерогенным относятся процессы (реакции), протекающие на границе раздела двух (и более) фаз, например, на границах раздела фаз «газ – твердое», «жидкость – жидкость», «жидкость – твердое». Ниже мы ограничимся рассмотрением только гомогенных реакций (процессов).

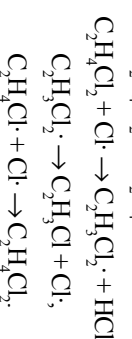
Различают *простые* (элементарные) и *сложные* реакции. Простая реакция состоит из однотипных элементарных актов, т. е. представляет собой одностадийный химический процесс превращения исходных веществ непосредственно в продукты реакции:

$$I_2 \rightarrow 2 I,$$
$$OH^- + CH_3Br \rightarrow CH_3OH + Br^-.$$

Сложные реакции – это многостадийные процессы, состоящие из нескольких простых реакций – элементарных стадий. Последовательность элементарных стадий представляет собой *схему*, или *механизм* реакции. Примерами сложных являются следующие реакции:



$C_2H_4Cl_2 \rightarrow C_2H_3Cl + HCl,$   
последняя из которых протекает по свободнорадикальному механизму:



Для простых реакций (элементарных стадий) применимо понятие *молекулярности*, определяемой числом частиц (молекул, атомов, ионов), принимающих участие в элементарном акте химической реакции. Другими словами, молекулярность показывает количество частиц, одновременное столкновение которых может привести к химическому превращению. Элементарные реакции с участием одной, двух и трех частиц (молекул) называют соответственно *mono*-, *би-* и *тримолекулярными*. Вероятность одновременного столкновения четырех и более частиц исчезающе мала, поэтому реакции с молекулярностью большей чем три в природе не встречаются.

К мономолекулярным реакциям относятся реакции разложения и перегруппировки; кроме того, по мономолекулярному механизму протекают многие полиморфные превращения в твердых телах. К бимолекулярным (реже – к trimолекулярным) реакциям относятся реакции присоединения, замещения, обмена, протекающие как в газовой, так и в жидкой фазе (растворе). Очевидно, что для сложных реакций, протекающих в несколько элементарных стадий, понятие молекулярности в целом не имеет смысла, хотя можно говорить о молекулярности каждой отдельной стадии сложной реакции.

Одним из важнейших понятий в химической кинетике является *скорость реакции*. Скорость химической реакции по  $i$ -му компоненту ( $w_i$ ) определяется изменением количества молей реагирующих частиц этого компонента в единицу времени (5.1):

$$[w_i] = \text{моль} \cdot \text{с}^{-1}. \quad (5.1)$$

Принято, что скорость химической реакции – положительная величина ( $w_i > 0$ ), поэтому если за ходом реакции следят по изменению количества исходного реагента ( $\frac{dn_i}{dt} < 0$ ), то в уравнении (5.1) ставится знак « $-$ », а если по концентрации продуктов ( $\frac{dn_i}{dt} > 0$ ), то знак « $+$ ».

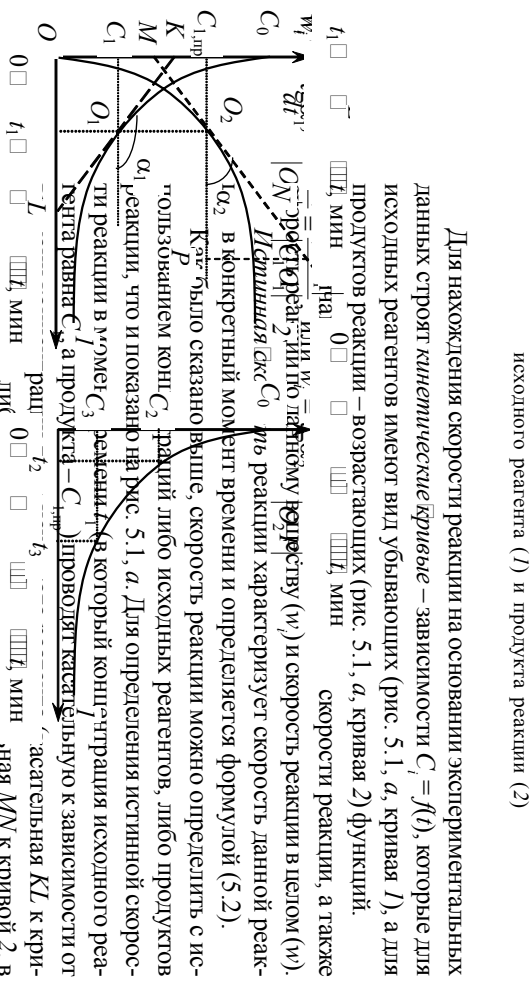
Определяемая уравнением (5.1) скорость химической реакции является экспессивным параметром (зависящим от размера системы), поэтому на практике для удобства скорости гомогенной реакции относят к единице объема ( $V$ ) реакционной среды (5.2), а гетерогенную – к единице площади ( $S$ ) поверхности раздела фаз, на которой протекает эта реакция (5.3):

$$w_i = \pm \frac{1}{V} \cdot \frac{dn_i}{dt} = \pm \frac{dC_i}{dt}, \quad [w_i] = \text{моль} \cdot \text{л}^{-1} \cdot \text{с}^{-1}, \quad (5.2)$$

$$w_i = \pm \frac{1}{S} \cdot \frac{dn_i}{dt}, \quad [w_i] = \text{моль} \cdot \text{м}^{-2} \cdot \text{с}^{-1}. \quad (5.3)$$

В уравнениях (5.1)–(5.3) время выражено (в соответствии с СИ) в с, хотя на практике для удобства расчетов выбирают размерность времени, отвечающую реальной скорости протекания реакции (секунды, миллисекунды и наносекунды – для быстропротекающих реакций; минуты и часы – для реакций, протекающих с меньшей скоростью; дни, месяцы и годы – для медленных реакций).

Рис. 5.1. Определение истинной (а) и средней (б) скорости химической реакции по зависимостям концентрации исходного реагента ( $I$ ) и продукта реакции ( $2$ )



Для нахождения скорости реакции на основании экспериментальных данных строят *кинетические кривые* – зависимости  $C_i = f(t)$ , которые для исходных реагентов имеют вид убывающих (рис. 5.1, а, кривая 1), а для продуктов реакции – возрастающих (рис. 5.1, а, кривая 2) функций. Для нахождения скорости реакции, а также определения времени и определяется формуулой (5.2). Ключевым было сказано выше, скорость реакции можно определить с использованием конц.  $C_2$  реагента, что и показано на рис. 5.1, а. Для определения истинной скорости реакции в момент  $t_1$  конц.  $C_3$  за продукт 2, в который конц.  $C_1$  реагента 1 –  $C_1$  – проводят касательную  $KL$  к кривой 2 в точке  $O_2$ , и по тангенсу угла наклона этой касательной к положительному направлению оси абсцисс определяют искомую скорость реакции:

Средняя скорость реакции по веществу  $i$  ( $w_{\bar{i}}$ ) за данный промежуток времени ( $\Delta t$ ) равна отношению изменения концентрации вещества

$(\Delta C_i)$  к конечному промежутку времени ( $\Delta t$ ), в течение которого это изменение произошло (5.4):

$$(5.4) \quad w = \frac{1}{v_1} w_{A_1} = \frac{1}{v_2} w_{A_2} = \dots = \frac{1}{v_i} w_{A_i} = \frac{1}{v_j} w_{A_j} = \dots$$

Так, например, средняя скорость химической реакции по веществу  $i$  в интервале  $\Delta t = t_3 - t_2$ , определяемая по концентрации исходного реагента (рис. 5.1, 6), равна

Для гомогенной реакции, протекающей с участием нескольких веществ

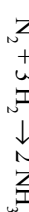
$$v_1 A_1 + v_2 A_2 + \dots + v_i A_i \rightarrow v'_1 A'_1 + v'_2 A'_2 + \dots + v'_i A'_i \quad (5.5)$$

скорость реакции, определенная по изменению концентрации одного вещества, в общем случае (если стехиометрические коэффициенты участников реакции различны ( $v_1 \neq v_2 \neq \dots \neq v'_1 \neq v'_2 \neq \dots$ ) не равна скорости реакции, определенной по изменению концентрации другого реагента:

$$w_{A_1} \neq w_{A_2} \neq \dots \neq w_{A'_1} \neq w_{A'_2} \neq \dots$$

поскольку различны изменения концентрации различных реагентов за один и тот же промежуток времени.

Так, например, для реакции образования аммиака



уменьшение концентрации водорода втрое превышает уменьшение концентрации азота в полтора раза – увеличение концентрации аммиака.

Чтобы обойти кажущееся несогласие, вводят понятие *скорости реакции*, равной отношению скорости реакции по веществу к стехиометрическому коэффициенту, стоящему перед этим веществом в уравнении химической реакции (5.6):



Скорость реакции (5.5) через скорости этой же реакции по веществам выражается следующим образом:

$$w = -\frac{1}{v_1} \frac{dC_{A_1}}{dt} = -\frac{1}{v_2} \frac{dC_{A_2}}{dt} = \dots = -\frac{1}{v_i} \frac{dC_{A_i}}{dt} = -\frac{1}{v'_1} \frac{dC_{A'_1}}{dt} = -\frac{1}{v'_2} \frac{dC_{A'_2}}{dt} = \dots$$

или

$$w = \frac{1}{v_1} w_{A_1} = \frac{1}{v_2} w_{A_2} = \dots = \frac{1}{v_i} w_{A_i} = \frac{1}{v'_1} w_{A'_1} = \frac{1}{v'_2} w_{A'_2} = \dots$$

Для реакции синтеза аммиака получаем:

$$w_{NH_3} = -\frac{dC_{NH_3}}{dt}, \quad w_{H_2} = -\frac{dC_{H_2}}{dt}, \quad w_{N_2} = -\frac{dC_{N_2}}{dt}$$

и с учетом стехиометрических коэффициентов в уравнении реакции

$$w = \frac{1}{3} w_{H_2} = \frac{1}{2} w_{NH_3} = \frac{1}{1} w_{N_2}.$$

Скорость реакции в целом ( $w$ ) не зависит от того, по какому веществу она рассчитана, и равна скорости реакции по веществу ( $w$ ) только в случае, если соответствующий стехиометрический коэффициент равен единице ( $v_i = 1$ ).

В общем случае гомогенные химические реакции являются обратимыми, т. е. протекают одновременно в двух направлениях (прямом и обратном). При этом скорость обратимой реакции равна разности скоростей прямой и обратной реакции. Если скорость прямой реакции (последнего бульда  $\frac{\Delta C}{\Delta t}$ ) значительно больше скорости обратной ( $\frac{\Delta C}{\Delta t}$ ), то можно рассматривать как практически необратимые (односторонние). Рассмотрением таких простых реакций мы и займемся в дальнейшем.

Согласно основному постулату химической кинетики, называемому также законом действующих масс или законом Гути-Бергга-Вааге, скорость реакции в каждый момент времени пропорциональна произведению текущих концентраций реагирующих веществ, возведенных в некоторые степени. Этот постулат вытекает из очевидного предположения, что реагируют те молекулы, которые сталкиваются, число же столкновений (а следовательно, и скорость реакции) зависит от концентрации этих молекул.

Для реакции (5.5) основной постулат химической кинетики записывается в виде (5.7):

$$(5.7) \quad w = K \cdot C_{A_1}^{n_1} \cdot C_{A_2}^{n_2} \cdots C_{A_i}^{n_i}$$

где  $K$  – константа скорости химической реакции;

$C_{A_1}, C_{A_2}, \dots, C_{A_i}$  – текущие концентрации реагентов  $A_1, A_2, \dots, A_i$ ;  $n_1, n_2, \dots, n_i$  – частные порядки реакции по веществам  $A_1, A_2, \dots, A_i$ .

Частные порядки реакции могут быть целыми и дробными, положительными и отрицательными (а также равными нулю), в общем случае величина частного порядка по веществу не равна стехиометрическому коэффициенту перед этим веществом в уравнении реакции. Равенство  $V_i = n_i$  наблюдается в том и только в том случае, если уравнение реакции записано в соответствии с ее механизмом (молекулярностью). Сумма частных порядков реакции называется *общим (полным) порядком* реакции ( $n$ ):

легко установить физический смысл  $K$ . Действительно, из (5.12) видно, что константа скорости химической реакции численно равна скорости этой реакции, если текущие концентрации всех участников химической реакции равны единице. Вследствие этого константу скорости иногда называют *удельной скоростью* химической реакции.

$$n = n_1 + n_2 + \dots + n_r \quad (5.8)$$

Порядок простой (элементарной) химической реакции соответствует ее молекулярности (при этом речь идет как об общем (полном), так и о частных порядках реакции). Так порядок простых мономолекулярных

реакций равен единице, бимолекулярных – двум.

Иногда говорят о *кальцирующей торжке*, или *псевдоторжке*, реакции. Такой порядок формально наблюдают тогда, когда в ходе реакции концентрации одного или нескольких веществ остаются постоянными (или практически постоянными). Например, реакция (5.9):

В общем случае ( $C_A \approx C_B$ ) имеет порядок  $n = n_A + n_B$  и основной постулат химической кинетики для нее записывается как (5.10):

$$w = K \cdot C_A^{n_A} \cdot C_B^{n_B}. \quad (5.10)$$

Если же данная реакция протекает при условиях  $C_A \ll C_B$  (что на практике достигается уже в случае десятикратного избытка вещества B), то вследствие значительного избытка вещества B его концентрация в ходе реакции остается практически неизменной ( $C_B \approx \text{const}$ ) и уравнение

$$\nu = K' \cdot C_{\Delta}^{m_{\Delta}} = K' \cdot C_{\Delta}^{n'}, \quad (5.11)$$

где  $K' = K \cdot C_{\text{B}}^n$  – т. н. псевдоконстанта скорости реакции.

В этом случае общий порядок реакции (5.9) оказывается равен ее частному порядку по компоненту А:  $n' \approx n_A$ , причем  $n'$  называют кажущимся или псевдопорядком реакции.

$$K = \frac{w}{C_{\Lambda_1}^{\eta_1} \cdot C_{\Lambda_2}^{\eta_2} \cdot \dots \cdot C_{\Lambda_t}^{\eta_t}}, \quad [K] = \frac{[w]}{[C]^n}, \quad (5.12)$$

[ $K$ ] = [давление] $^{1-n}$ . [время] $^{-1}$ ,

например, для  $n = 2$ , если  $[p] = \text{Па}$ , а  $[t] = \text{мин}$ , то  $[K] = \text{Па}^{-1} \cdot \text{мин}^1$ . Скорость гомогенной химической реакции зависит от природы и концентраций (парциальных давлений) участников реакции, температуры, давления (для газофазных реакций, для жидкотвердых выражено слабо ввиду того, что сжимаемость жидкостей очень мала), наличия катализатора (или ингибитора) и ряда других факторов (на-

$$w_i \equiv \pm \frac{z_i}{dt}, [w_i] = [\text{давление}] \cdot [\text{время}]^{-1} \quad (5.13)$$

При этом размерность скорости реакции будет зависеть от того, в чём выражается парциальное давление участника реакции и время: Па · с<sup>-1</sup>, атм · с<sup>-1</sup>, атм · мин<sup>-1</sup> и т. д.

Основной постулат химической кинетики для газофазной реакции, протекающей по уравнению (5.5), записывается в виде (5.14):

$$w = K \cdot p_{A_1}^{n_1} \cdot p_{A_2}^{n_2} \cdots p_{A_i}^{n_i}, \quad (3.14)$$

[К] ≡ [давление]<sub>1-n</sub> · [время]<sup>n</sup>

142

пример, природы растворителя – для реакций, протекающих в растворах).

*Каталитатором* называется вещество, значительно повышающее, а *ингибитором* – значительно понижающее скорость химической реакции. Иначе говоря, катализатор ускоряет, а ингибитор замедляет химическую реакцию, при этом ни катализатор, ни ингибитор в ходе химической реакции не изменяются и после проведения реакции могут быть извлечены из реакционной системы для дальнейшего использования.

Константа скорости химической реакции не зависит от концентраций (парциальных давлений) участников реакции (см. (5.12) ниже) и зависит от всех остальных параметров, влияющих на скорость химической реакции. Как видно из (5.10), (5.11),  $K'$  зависит от концентрации участника реакции В и именно поэтому называется псевдоконстантой скорости реакции.

Как упоминалось выше, численное значение скорости и константы скорости химической реакции зависит от того, в чём выражены время и концентрации (парциальные давления) участников реакции.

Совместная уравнения (5.6) и (5.7), получим выражение (5.15):

$$\pm \frac{1}{V_i} \frac{dC_{\Lambda_i}}{dt} = w = K \cdot C_{\Lambda_1}^{\eta_1} \cdot C_{\Lambda_2}^{\eta_2} \cdots C_{\Lambda_i}^{\eta_i}, \quad (5.15)$$

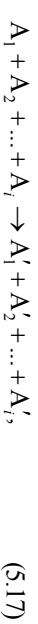
которое в случае  $V_i = 1$  выраженное через скорость убыли концентрации исходного реагента (как чаще и проводится кинетическое описание химических реакций) имеет вид (5.16):

$$-\frac{dC_{\Lambda_i}}{dt} = K \cdot C_{\Lambda_1}^{\eta_1} \cdot C_{\Lambda_2}^{\eta_2} \cdots C_{\Lambda_i}^{\eta_i}. \quad (5.16)$$

Уравнение (5.16) называют *кинетической формой* или *дифференциальной формой* реакции *в дифференциальной форме или дифференциальной форме записи кинетического уравнения* не обратимой реакции.

## 5.2. Применение основного поступатата химической кинетики к необратимым реакциям

Реакции характеризуют кинетическим уравнением, с помощью которого можно, в частности, рассчитать значение константы скорости химической реакции, а также концентрации участников реакции (как исходных реагентов, так и продуктов реакции) в любой момент времени. Ниже будет рассмотрено применение уравнения (5.16) к реакциям типа (5.17):



в которых стехиометрические коэффициенты для всех реагирующих веществ равны единице. В этом случае  $w_i = w$ , т. е. скорости реакции по различным компонентам равны скорости реакции в целом. Кроме того, в дальнейшем мы будем рассматривать протекание реакции при условии, что

$$C_{0,\Lambda_1} = C_{0,\Lambda_2} = \dots = C_{0,\Lambda_i} = C_{0,A}, \quad (5.17)$$

т. е. в случае, когда начальные концентрации всех исходных реагентов одинаковы и при  $V = \text{const}$  (естественно, что и текущие концентрации всех исходных реагентов при этом также будут одинаковы).

**5.2.1. Необратимые реакции 0-го порядка.** Для необратимой (односторонней) реакции нулевого порядка ( $n = 0$ ) типа ( $A \rightarrow B$ ) кинетическое уравнение в дифференциальной форме имеет вид (5.18):

$$dC_A \frac{dE_A}{dt} = K \cdot C_A^n, \quad (5.18)$$

где  $K$  – константа скорости необратимой реакции 0-го порядка.

Разделяя переменные и интегрируя это уравнение в пределах от  $t = 0$  до  $t = t$  по времени (и от  $C_A = C_{0,A}$  до  $C_A = C_A$  по концентрации)

$$\begin{aligned} & \int_{C_{0,A}}^{C_A} dC_A = K \int_0^t dt, \\ & - \int_{C_{0,A}}^{C_A} dC_A = \int_0^t K dt = K t, \end{aligned}$$

получим кинетическое уравнение для необратимой реакции 0-го порядка в интегральной форме (5.19):

$$(5.19a)$$

Как видно из (5.18), нулевой порядок реакции означает отсутствие

зависимости скорости реакции ( $w = -\frac{dC_A}{dt}$ ) от концентрации реагирующего вещества ( $C_A$ ). Это возможно в случаях, если: а) концентрация реагента автоматически поддерживается постоянной (например, в насыщенном растворе вещества, контактирующим с избытком этого нерастворившегося вещества); б) скорость реакции определяется не концентрацией реагирующего вещества, которая очень велика и практи-

чески не изменяется (или изменяется незначительно) в ходе реакции, а иными факторами – концентрацией катализатора (при гомогенном катализе) или фермента (при ферментативном катализе), количеством поглощенного света (для фотохимических реакций) и др.

Как видно из (5.19а), значение константы скорости необратимой реакции 0-го порядка можно найти из зависимости  $C_A = f(t)$  (рис. 5.2).

$K_0$  имеет размерность  $[K_0] = [\text{концентрация}] \cdot [\text{время}]^{-1}$ , при этом, если концентрация измеряется в моль · л<sup>-1</sup>, а время – в минутах, то  $[K_0] = [\text{моль} \cdot \text{л}^{-1} \cdot \text{мин}^{-1}]$ .

Важной кинетической характеристикой химической реакции является *время (период) полупревращения*, или *время полупрекращения*  $\tau_{1/2}$  данного исходного вещества, т. е. время, в течение которого концентрация исходного вещества уменьшается в два раза (время, за которое превращается половина исходного вещества). Таким образом, если  $C_A = C_{0,A}/2$ ,

Поставляя это в уравнение (5.19), получим формулу для расчета времени полупревращения  $\tau_{1/2}$  необратимой реакции 0-го порядка (5.20):

$$(5.20)$$

Как видно из (5.20), для необратимой реакции 0-го порядка  $\tau_{1/2}$  увеличивается при увеличении начальной концентрации ( $C_{0,A}$ ) исходного реагента (в данном случае, вещества А).

**5.2.2. Не обратимые реакции 1-го порядка.** Дифференциальная форма записи кинетического уравнения для необратимой (односторонней) реакции первого порядка ( $n = 1$ ) типа ( $A \rightarrow B$ ) имеет вид (5.21):

$$(5.21)$$

где  $K_1$  – константа скорости необратимой реакции 1-го порядка.

Разделяя в уравнении (5.21) переменные и интегрируя это уравнение в пределах от  $t = 0$  до  $t = t$  по времени (и от  $C_A = C_{0,A}$  до  $C_A = C_A$  по концентрации),

$$-\int \frac{dC_A}{C_A} = \int K_1 dt = K_1 \int_0^t dt,$$

получим кинетическое уравнение для необратимой реакции 1-го порядка в интегральной форме (5.22):

$$\begin{aligned} & \text{или } -\ln(1 - \alpha_A) = K_1 \cdot t, \\ & (5.22\text{в}) \end{aligned}$$

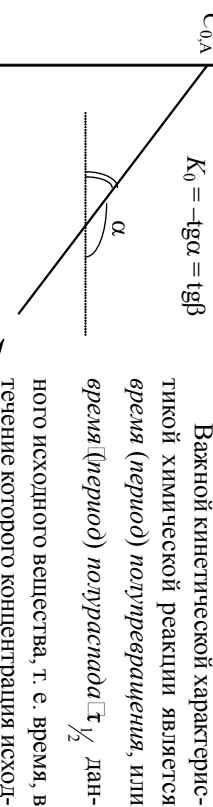


Рис. 5.2. Графическое определение константы скорости необратимой реакции 0-го порядка  $K_0$  (см. уравнение (5.20)).

$$\ln \frac{C_{0,A}}{C_A} = K_1 t + \text{const} \quad (\text{Величина } K_1 \text{ называется } \underline{\underline{\text{степенью полупрекращения}}}).$$

Графическое определение данное:

Графическое определение данное из (5.22а), значение константы скорости необратимой 1-го порядка  $K_1$  – это скорость необратимой реакции 1-го порядка  $K_1 = -\frac{1}{\tau_{1/2}} \ln 2$ .

Графическое определение данное из (5.22а), значение константы скорости необратимой 1-го порядка можно определить разностью концентрации  $\ln C_A$  в конце и начале 1-го порядка.

Выражение для периода полу-

превращения ( $\tau_{1/2}$ ) необратимой реакции 1-го порядка имеет вид (5.23):

Рис. 5.3. Графическое определение константы скорости необратимой реакции 1-го порядка  $K_1$



Рис. 5.3. Графическое определение константы скорости необратимой реакции 1-го порядка  $K_1$  (см. уравнение (5.22а)).

$$\tau_{\frac{1}{2}} = \frac{\ln 2}{K_1} = \frac{0,693}{K_1}. \quad (5.23)$$

Как видно из (5.23), величина периода полупревращения ( $\tau_{\frac{1}{2}}$ ) для необратимой реакции 1-го порядка ( $n = 1$ ) не зависит от начальной концентрации исходного реагента ( $C_{0,A}$ ).

Помимо времени полупревращения при описании кинетики химических реакций используют еще ряд т. н. *характеристических времен* или времен частичного прореагирования т. е. времен, за которые реакция проходит на определенную глубину (достигает определенной степени превращения исходного реагента –  $\alpha_A$ , если исходный реагент – вещество A). В случае необратимой реакции 1-го порядка эти времена связаны с константой скорости реакции пропорциональными соотношениями:

$$\tau_{\frac{1}{2}} = \frac{1}{K_1} \cdot \ln \frac{1}{1 - \frac{1}{3}} = \frac{1}{K_1} \cdot \ln \frac{3}{2},$$

$$\tau_{0,99} = \frac{1}{K_1} \cdot \ln \frac{1}{1 - 0,99} = \frac{1}{K_1} \cdot \ln 100 \text{ и т. д.}$$

**5.2.3. Необратимые реакции 2-го порядка.** Для необратимой (односторонней) реакции второго порядка ( $n = 2$ ) типа (2 A → B) или (A + B → D) при условии равенства начальных концентраций исходных реагентов A и B ( $C_{0,A} = C_{0,B}$ ) кинетическое уравнение в дифференциальной форме имеет вид (5.24):

$$-\frac{dC_A}{dt} = K_2 \cdot C_A^2, \quad (5.24)$$

где  $K_2$  – константа скорости необратимой реакции 2-го порядка.

Разделяя переменные и интегрируя это уравнение в пределах от  $t = 0$  до  $t = t$  по времени (и от  $C_A = C_{0,A}$  до  $C_A = C_A$  по концентрации)

получим кинетическое уравнение для необратимой реакции 2-го порядка в интегральной форме (5.25):

$$\frac{1}{C_A} = \frac{1}{C_{0,A}} + \frac{4}{K_2} t. \quad (5.25)$$

Помимо времени полупревращения при описании кинетики

химических реакций используют еще ряд т. н. *характеристических времен* или времен частичного прореагирования т. е. времен, за которые реакция проходит на определенную глубину (достигает определенной степени превращения исходного реагента –  $\alpha_A$ , если исходный реагент – вещество A). В случае необратимой реакции 1-го порядка эти времена связаны с константой скорости реакции пропорциональными соотношениями:

Выражение для периода полупревращения ( $\tau_{\frac{1}{2}}$ ) необратимой реакции 2-го порядка имеет вид (5.26):

$$\tau_{\frac{1}{2}} = \frac{1}{K_2} \cdot \ln \frac{4}{C_A - C_{0,A}}, \quad (5.26)$$

или  $\tau_{\frac{1}{2}} = \frac{1}{K_2} \cdot \ln \frac{4}{C_A}$  в случае периода полупревращения ( $\tau_{\frac{1}{2}}$ ) уменьшается при исходной концентрации

$$K_2 = \text{т.о. } \frac{1}{C_A}, \text{ (моль}^{-1} \cdot \text{л)}$$

В случае, если при протекании необратимой (односторонней) реакции второго порядка ( $n = 2$ ) типа (A + B → D + E) начальные концентрации исходных реагентов A и B раз-

личны ( $C_A \neq C_B$ ), то реакция имеет

$$-\frac{dC_A}{dt} = K_2 \cdot C_A \cdot C_B, \quad (5.27)$$

где  $K_2$  – константа скорости необратимой реакции 2-го порядка.

Разделяя переменные и интегрируя это уравнение в пределах от  $t = 0$  до  $t = t$  по времени (и от  $C_A = C_{0,A}$  до  $C_A = C_A$  по концентрации)

имеет вид (5.27):

$$\frac{1}{C_A} = \frac{1}{C_{0,A}} + \frac{4}{K_2} t. \quad (5.27)$$

Рис. 5.4. Графическое определение константы скорости необратимой реакции 2-го порядка  $K_2$

Рис. 5.4. Графическое определение константы скорости необратимой реакции 2-го порядка  $K_2$

где  $C_x = C_{0,A} - C_A = C_{0,B} - C_B$  – концентрация любого из образовавшихся к моменту времени  $t$  продуктов реакции (D или E).

Интегрируя по частям уравнение (5.27) в соответствующих пределах, получаем кинетическое уравнение в интегральной форме (5.28) для необратимой реакции 2-го порядка при различных начальных концентрациях исходных реагентов A и B ( $C_{0,A} \neq C_{0,B}$ ):

$$K_2 \cdot t = \frac{1}{C_{0,A} - C_{0,B}} \cdot \ln \frac{C_{0,B} \cdot C_A}{C_{0,A} \cdot C_B}. \quad (5.28)$$

В данном случае также можно говорить о времени полуупреждения, однако таких времен будет два:  $\tau_{1/2,A} \neq \tau_{1/2,B}$ .

**5.2.4. Необратимые реакции 3-го порядка.** Дифференциальная форма записи кинетического уравнения для необратимой (односторонней) реакции третьего порядка ( $n = 3$ ) типа (3 A  $\rightarrow$  E) либо (A + B + D  $\rightarrow$  E + F) при условии равенства начальных концентраций исходных реагентов ( $C_{0,A} = C_{0,B} = C_{0,D}$ ) имеет вид (5.29):

$$(5.29)$$

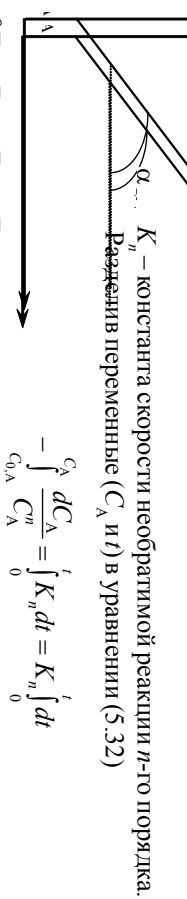
где  $K_3$  – константа скорости необратимой реакции 3-го порядка.

Разделяя в уравнении (5.29) переменные и интегрируя это уравнение в пределах от  $t = 0$  до  $t = t$  по времени (от  $C_A = C_{0,A}$  до  $C_A = C_A$  по концентрации)

$$-\int \frac{dC_A}{C_A^3} = \int_0^t K_3 dt = K_3 \int_0^t dt,$$

получим кинетическое уравнение для необратимой реакции 3-го порядка в интегральной форме (5.30):

$$(5.30a)$$



Разделив переменные ( $C_A$  и  $t$ ) в уравнении (5.32)

$$(5.30b)$$

получим кинетическое уравнение для необратимой реакции  $n$ -го порядка в интегральной форме (5.33):

$$(5.32)$$

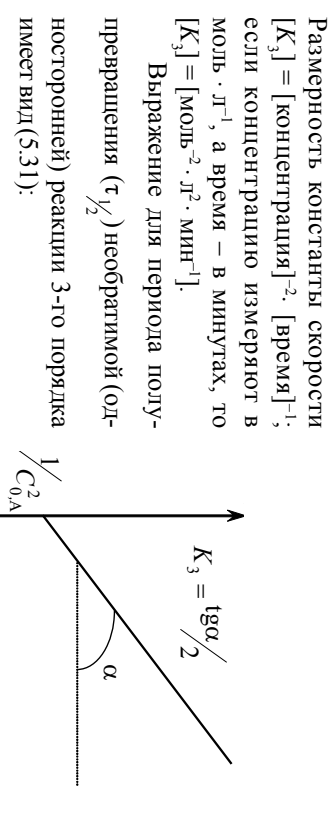


Рис. 5.5. Графическое определение константы скорости необратимой реакции 3-го порядка  $K_3$

т. е. при  $n = 3$  величина периода полупревращения ( $\tau_{1/2}$ ) уменьшается при увеличении начальной концентрации исходного реагента ( $C_{0,A}$ ), причем это уменьшение выражено сильнее, чем для  $n = 2$ .

**5.2.5. Необратимые реакции  $n$ -го порядка.** Кинетическое уравнение  $n$ -го порядка в дифференциальной форме при определение константы скорости необратимой  $n$ -го порядка  $K_n$  имеет вид (5.32):

$$-\int \frac{dC_A}{C_A^n} = \int_0^t K_n dt = K_n \int_0^t dt \quad (5.32)$$

$K_n$  – константа скорости необратимой реакции  $n$ -го порядка.

С 5.5. Графическое определение константы скорости необратимой реакции  $n$ -го порядка  $K_n$  (кроме  $n = 1$ ) выражения (5.33), являющиеся интегральными формами кинетического уравнения необратимой реакции  $n$ -го порядка:

$$(5.33a)$$

С учетом (5.30a) значение константы скорости необратимой реакции 3-го порядка можно определить из зависимости  $\frac{1}{C_A^2} = f(t)$  (рис. 5.5).

(5.33б) выражение для времени полупревращения ( $\tau_{\frac{1}{2}}$ ) необратимой реакции  $n$ -го порядка имеет вид (5.34):

$$(5.34)$$

Как видно из уравнения (5.34), период полупревращения ( $\tau_{\frac{1}{2}}$ ) обратимой реакции порядка  $n$  обратно пропорционален начальной концентрации исходного реагента ( $C_{0,A}$ ) в степени ( $n - 1$ ).

### 5.3. Методы определения порядка реакции

Порядок реакции можно определить из экспериментальных данных по изменению концентрации реагирующих веществ с течением времени при определенной постоянной температуре. Определяя порядок реакции различными методами, используют два подхода:

- метод избытков (метод изолирования Оствальда);
- метод равных концентраций.

Первый метод применяют при определении частных порядков реакции по различным веществам. При этом концентрации всех реагентов берут одинаковыми. Так, для реакции (5.35) при этих условиях ( $C_{0,A} = C_{0,B} = C_{0,D}$ ) кинетическое уравнение имеет вид (5.38):

$$w = K \cdot C_A^n \cdot C_B^m \cdot C_D^p = K \cdot C_A^{n_A + n_B + n_D} = K \cdot C_A^n. \quad (5.38)$$

Обрабатывая это уравнение, сразу находят общий порядок реакции (5.35) по веществам А и В ( $n_A$  и  $n_B$ ) и ее общий порядок ( $n$ ), а затем из полученных данных находят частный порядок реакции (5.35) по веществу D ( $n_D$ ).

$$\frac{\Delta \pm R \cdot C_A^n \cdot C_B^m \cdot C_D^p}{(k_{D\pi} \cdot [n \tau])} = \frac{V_A^n \cdot A \cdot T_A^{m_A} \cdot B \rightarrow V_D}{C_A^{n_A} \cdot C_B^{n_B} \cdot C_D^{n_D}} \text{ если в уравнении реакции}$$

стехиометрические коэффициенты  $V_A \neq V_B$ , при определении полного порядка реакции ( $n$ ) начальные концентрации исходных реагентов (А и В) следует выбирать таким образом, чтобы выполнялось соотношение  $V_B \cdot C_{0,A} = V_A \cdot C_{0,B}$ .

Методы определения порядка реакции можно разделить на *дифференциальные* и *интегральные, аналитические и графические*. К интегральным методам относятся методы, основанные на применении интегральных форм кинетических уравнений для реакций соответствующих порядков; в дифференциальных методах используют дифференциальные формы кинетических уравнений.

В аналитических методах применяется табличная (аналитическая) форма представления экспериментальных кинетических данных; при использовании графических методов экспериментальные данные представляют в графическом виде.

Интегральные и дифференциальные методы имеют свои достоинства и недостатки.

Проводя эксперимент аналогичным образом, но уже при иных соотношениях концентраций: беря в недостатке вначале вещество В ( $C_{0,A} \approx C_{0,D} \gg C_{0,B}$ ), а затем вещество D ( $C_{0,A} \approx C_{0,B} \gg C_{0,D}$ ), вслед за частным порядком реакции по веществу А ( $n_A$ ) определяют частные порядки реакции по веществам В ( $n_B$ ) и D ( $n_D$ ), после чего по уравнению (5.37) рассчитывают полный (общий) порядок реакции ( $n$ ):

$$(5.37)$$

где  $K^* = K \cdot C_B^{n_B} \cdot C_D^{n_D}$  – псевдоконстанта скорости реакции.

Основным достоинством интегральных методов является то, что в них при определении порядка реакции используется концентрация реагента, непосредственно определяемая из опыта, тогда как в дифференциальных методах используют значения скорости химической реакции при различных текущих концентрациях реагента (в различные моменты времени), которую дополнительно рассчитывают из экспериментально полученных зависимостей  $C_i = f(t)$ , графически или аналитически дифференцируя эти зависимости. Это дифференцирование значительно усложняет расчеты и приводит к существенному увеличению их сложности.

Бесспорным преимуществом дифференциальных методов перед интегральными является то, что при их использовании порядок реакции определяется *непосредственно* из основного кинетического уравнения для исследуемой реакции

$$-\frac{dC_A}{dt} = K_n \cdot C_A^n,$$

без каких-либо дополнительных допущений, тогда как нахождение порядка реакции при помощи большинства интегральных методов основано на предварительном выборе интегрального уравнения с последующей проверкой того, хорошо ли выбранное уравнение описывает экспериментальные кинетические данные.

На практике среди интегральных чаще всего применяют метод подбора (подстановки), графический метод и метод периода полупревращения, а среди лифференциальных – метод Вант-Гоффа.

**5.3.1. Метод подбора (подстановки).** Этот метод основан на том, что константа скорости химической реакции ( $K$ ) не зависит от концентрации участников реакции. *Метод подбора* заключается в подстановке экспериментальных данных по зависимости концентрации регулирующего вещества от времени  $C = f(t)$  в интегральные уравнения для констант скорости различных порядков (5.19б, 5.22л, 5.25б, 5.30б). Если рассчитанные по какому-либо из указанных уравнений (например, по формуле (5.25б)) значения константы скорости химической реакции остаются постоянными (в пределах погрешности эксперимента), то порядок реакции найден (в этом случае, например,  $n = 2$ ). Если же ни одно из уравнений не подходит, то это означает, что реакция идет более сложным путем (например, суммарный порядок реакции является дробным).

Для наглядности полученные результаты иногда представляют графически в виде зависимостей  $K_n = f(C)$  или  $K_n = f(t)$ . На рис. 5.6 представлены результаты подобной интерпретации для двух различных кинетических процессов.

Построение зависимостей, аналогичных приведенным на рис. 5.6, удобно еще и тем, что при анализе реакций, имеющих в действительности дробный порядок, это позволяет хотя бы примерно оценить величину этого порядка (по расходимости кривых  $K_n = f(C)$  или  $K_n = f(t)$  для различных  $n$ ).

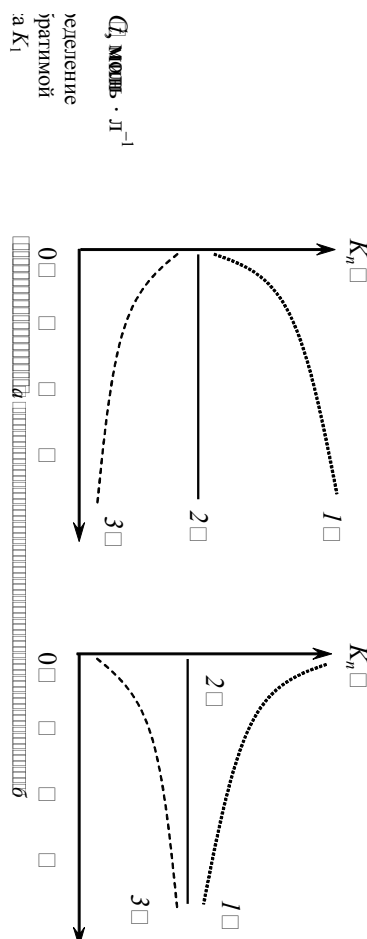


Рис. 5.6. Зависимости констант скорости реакции ( $K_n$ ), рассчитанных для различных порядков ( $n$ ) от текущей концентрации исходного реагента (а) и времени (б). Независимость величины  $K_n$  от  $C$  и  $t$  ( $K_n \neq f(C)$  или  $K_n \neq f(t)$ ) при  $n = 2$  указывает на то, что реакция имеет второй порядок

Так, например, если построенная зависимость  $K_1 = f(C)$  является возрастающей, а  $K_2 = f(C)$  – убывающей, то это означает что порядок реакции дробный и находится в пределах  $1 < n < 2$  (при анализе зависимостей  $K_n = f(t)$  в этом случае кривая  $K_1 = f(t)$  будет убывающей, а  $K_2 = f(t)$  – возрастающей).

**5.3.2. Графический метод**, по существу, является разновидностью метода подбора с графической интерпретацией результатов. Основан он на том, что для необратимых (односторонних) реакций целочисленных ( $n = 0, 1, 2, 3$ ) порядков линейными являются различные функции концентрации:  $f(C) = K_n \cdot t$ .

$$C = C_0 - K_0 \cdot t.$$

ся при увеличении  $C_0$ , причем с ростом  $n$  это уменьшение становится более выраженным. Учитывая это, оценить величину порядка реакции можно уже из зависимости

Так, отсутствие влияния

$C_0$  на  $\lg \tau_{1/2}$  указывает на то, что реакция имеет первый порядок.

Количественно определить порядок любой необратимой реакции (кроме  $n = 1$ ) можно, используя уравнение (5.34), из которого видно, что

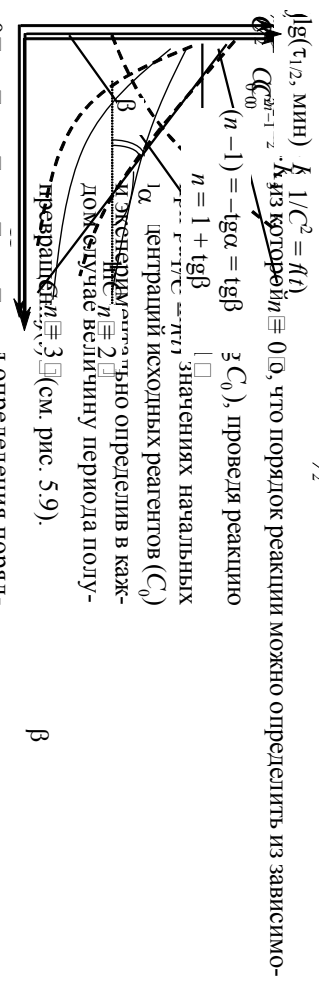
Рис. 5.8. Зависимость величины периода полупревращения  $\lg \tau_{1/2}$  необратимых реакций различных порядков ( $n$ ) от начальной концентрации исходных реагентов ( $C_0$ )

$f(t) \square$   $(n = 2)$ ,  $\frac{1}{C^2} = f(t) \quad (n = 3)$ . По экспериментальным данным строят графики в указанных координатах и ищут, в каком случае будет наблюдаться линейная зависимость соответствующей функции концентрации от времени.

Линейность такой зависимости свидетельствует о правильности выбора порядка реакции  $n$ .

Так, на рис. 5.7 приведены указанные зависимости для случая, когда реакция имеет второй порядок ( $n = 2$ ). Если все построенные зависимости ( $C = f(t)$ ,  $\ln C = f(t)$ ,  $\frac{1}{C} = f(t)$ ,  $\frac{1}{C^2} = f(t)$  и т. д.) указывает на то, что реакция имеет второй порядок

нейны, значит исследуемая реакция



$\beta$

имеет дробный (неделочисленный) порядок.

**5.3.3. Метод периода полупревращения** (или метод Оствальда — Ноëса) основан на том, что для реакций различных порядков величина периода полупревращения ( $\tau_{1/2}$ ) различным образом зависит от начальной концентрации исходных реагентов ( $C_0$ ). Как следует из формул (5.20, 5.23, 5.26 и 5.31) и видно из рис. 5.8, величина для реакции нулевого порядка ( $n = 1$ ) возрастает с ростом  $C_0$ , для  $n = 1$  — не зависит от начальной концентрации исходных реагентов, а для  $n \geq 2$  — уменьшает-

чис. 5.9. Графическое определение порядка реакции по величинам периодов полупревращения ( $\tau_{1/2}$ ) обратимой реакции при различных начальных концентрациях исходных реагентов ( $C_0$ ) для различных исходных реагентов

В этом случае порядок реакции ( $n$ )

$C_0$ , моль ·  $\text{л}^{-1}$

Рис. 5.9. Графическое определение порядка реакции по величинам периодов полупревращения ( $\tau_{1/2}$ ) обратимой реакции при различных начальных концентрациях исходных реагентов ( $C_0$ )

определяют не графически, а аналитически, используя формулу (5.39):

$$n = \frac{\lg(\tau'_{\frac{V_2}{V_1}}/\tau''_{\frac{V_2}{V_1}})}{\lg(C''_0/C'_0)} + 1, \quad (5.39)$$

Достоинством данного метода является то, что с его помощью можно определять любой порядок реакции – целый или дробный, положительный или отрицательный.

**5.3.4. Дифференциальный метод Вант-Гоффа.** В этом методе используют дифференциальную формулу кинетического уравнения не обратимой реакции  $n$ -го порядка при равенстве начальных концентраций всех исходных реагентов ( $C_{0,i} = C_0$ )

$$w = -\frac{dC}{dt} = K_n \cdot C^n.$$

Логарифмируя это уравнение, получим (5.40):

$$(5.40)$$

Таким образом, построив график зависимости логарифма скорости химической реакции от логарифма концентрации (см. рис. 5.10), порядок реакции можно определить как тангенс угла наклона прямой к положительному направлению оси абсцисс, а константу скорости реакции – по величине отрезка, отсекаемого прямой на оси ординат (при  $\lg C = 0$ , т. е. при  $C = 1$ ). С другой стороны, константу скорости реакции можно найти, используя значение скорости реакции  $w$  при какой-либо текущей концентрации  $C$  и предварительно из графика зависимости  $\lg w = f(\lg C)$ , определив значение порядка исследуемой реакции ( $n$ ), из формулы:

$$\lg K_n = \lg w - n \cdot \lg C, \text{ или } K_n = w \cdot C^{-n}. \quad (5.41)$$

Расчеты можно производить с использованием как истинных, так и средних скоростей химической реакции. В первом случае истинные скорости реакции ( $w$ ) при различных текущих концентрациях исходного реагента ( $C$ ) определяют из зависимости  $C = f(t)$ , как это показано на рис. 5.11. Для этого к зависимости  $C = f(t)$  в различных точках при  $t_1, t_2, t_3$  проводят касательные, по тангенсам углов наклона которых к положительному направлению оси абсцисс рассчитывают значения истинных скоростей реакции в эти моменты времени ( $w_1, w_2, w_3$  при  $t_1, t_2, t_3$  соответственно). Как видно из рис. 5.11, эти скорости соответствуют текущим концентрациям  $C_1, C_2, C_3$  ( $w_1$  при  $C_1$  и т. д.).

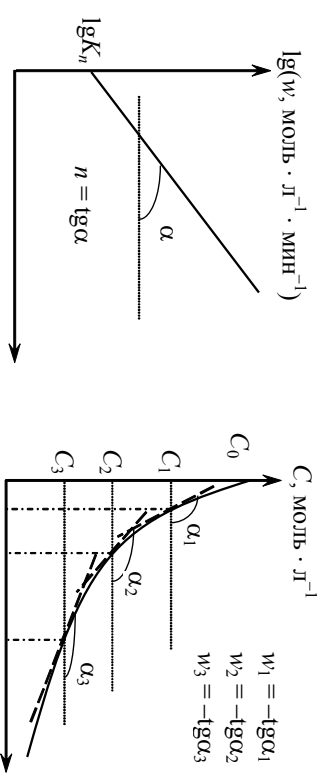


Рис. 5.10. Определение порядка ( $n$ ) и константы скорости реакции ( $K_n$ ) при помощи дифференциального метода Вант-Гоффа

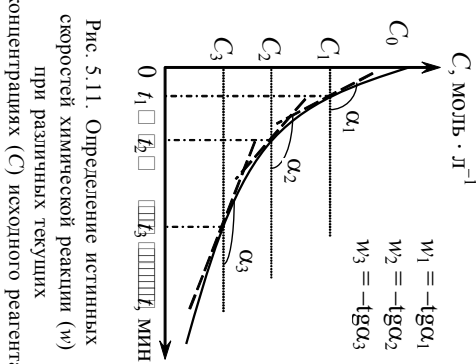


Рис. 5.11. Определение истинных скоростей химической реакции ( $w$ ) при различных текущих концентрациях ( $C$ ) исходного реагента

Используя уравнение (5.40), порядок реакции ( $n$ ) можно найти также по двум значениям начальных скоростей ( $w'_0$  и  $w''_0$ ), соответствующих двум различным начальным концентрациям ( $C'_0$  и  $C''_0$ ). Значениям скоростей  $w'_0$  и  $w''_0$  соответственno (5.42):

$$\begin{aligned} n_1 &= \frac{\lg(w'_0/w''_0)}{\lg(C'_0/C''_0)}, \\ n_2 &= \frac{\lg(w''_0/w'_0)}{\lg(C''_0/C'_0)}, \end{aligned}$$

$$(5.42)$$

При этом порядок  $n_1$ , определенный по начальным концентрациям, называется *концентрационным (истинным) порядком* реакции, а порядок  $n_2$ , определенный по текущим концентрациям, – *временным порядком* реакции. Порядки  $n_1$  и  $n_2$  могут не совпадать, если продукты реакции (или промежуточные вещества – полупродукты или интермедиаты) ингибируют или катализируют процесс. Если временной порядок большее концентрационного, то скорость реакции уменьшается быстрее, чем можно ожидать из концентрационного порядка, т. е. промежуточные вещества ингибируют (замедляют) процесс. Если же временной порядок меньше концентрационного, то реакция автокатализируется промежуточными продуктами реакции.

На практике иногда при определении порядка реакции по уравнению (5.40) вместо истинных скоростей химической реакции ( $w$ ) используют средние ( $\bar{w}$ ), которые определяют не из зависимостей  $C = f(t)$ , а по уравнению (5.43) (если скорость реакции определяют по убывающим концентрациям исходных реагентов):

$$(5.43)$$

где  $C_1$  и  $C_2$  – текущие концентрации исходного реагента в моменты времени  $t_1$  и  $t_2$ .

Среднюю скорость ( $\bar{w}$ ) относят либо к середине соответствующего временного интервала

$$\text{либо к средней концентрации ис-}$$

ходного реагента в этом интервале ( $\bar{C} = (C_1 + C_2)/2$ ).

#### 5.4. Зависимость скорости константы скорости химической реакции. Правило Вант-Гоффа

Из экспериментальных данных известно, что скорость большинства химических реакций увеличивается с ростом температуры. Анализ уравнения (5.7) для скорости химической реакции указывает на то, что, в принципе, изменение скорости реакции может быть обусловлено изменением константы скорости, концентраций участников реакции и порядка реакции. Как правило, концентрации реагентов мало изменяются при изменении температуры, изменение порядка реакции под влиянием температуры – явление достаточно редкое. Вследствие этого в химической кинетике изменение скорости реакции под влиянием температуры связывают обычно с изменением константы скорости реакции.

Согласно *эмпирическому правилу Вант-Гоффа*, при увеличении температуры на  $10^\circ\text{C}$  (в области температур, близких к комнатной) скорость (и константа скорости) химической реакции увеличивается в 2–4 раза (5.44):

$$\frac{w_{T+10}}{w_T} = \frac{K_{T+10}}{K_T} = 2 \div 4 = \gamma, \quad (5.44)$$

где  $\gamma$  – температурный коэффициент скорости (или константы скорости) химической реакции, иначе называемый температурным коэффициентом Вант-Гоффа.

Правило Вант-Гоффа является приближенным, оно выполняется не для всех реакций и не выполняется при высоких температурах (коэффициент  $\gamma$  уменьшается с ростом температуры). Более точную зависимость скорости (и константы скорости) химической реакции от температуры выражает *уравнение Аррениуса*.

#### 5.5. Уравнение Аррениуса. Энергия активации химической реакции, ее экспериментальное определение

Дифференциальная форма записи *уравнения Аррениуса* имеет вид (5.46):

$$\frac{d \ln K}{dT} = \frac{E_A}{R \cdot T^2}, \quad (5.46)$$

откуда легко перейти к интегральным формам записи уравнения Аррениуса:

$$\frac{\bar{K}}{K} = \frac{K_{T_2}}{K_{T_1}} = \frac{\left(\frac{C_{T_2}}{C_{T_1}}\right)^{\frac{1}{\Delta f}}}{\left(\frac{T_2 - T_1}{R}\right)}; \quad (5.47)$$

$$K = A \cdot e^{-\frac{E_A}{R \cdot T}}, \quad (5.48)$$

$$\ln K = \ln A - \frac{E_A}{R} \cdot \frac{1}{T}, \quad (5.49)$$

где  $E_A$  – энергия активации химической реакции, кДж · моль<sup>-1</sup>;  $R$  – универсальная газовая постоянная,  $R = 8,314 \text{ Дж} \cdot \text{моль}^{-1} \cdot \text{К}^{-1}$ ;  $K$  – константа скорости химической реакции;

$A$  – предэкспоненциальный множитель, имеющий туже размерность, что и константа скорости реакции (в зависимости от порядка реакции  $n$ ).

Энергия активации ( $E_A$ ) представляет собой минимальную избыточную энергию по сравнению со средней энергией молекул при данной температуре (в расчете на 1 моль), которой должны обладать реагирующие молекулы, чтобы столкновение между ними привело к химической

реакции, т. е. к превращению молекул исходных реагентов в молекулы продуктов реакции. Данное определение имеет смысл только для простых реакций. В случае сложных реакций, протекающих в несколько стадий, энергия активации имеет указанный смысл только для отдельных стадий.

Физический смысл энергии активации можно объяснить при помощи схем изменения энергии системы при переходе ее из начального (исходные реагенты) в конечное (продукты реакции) состояние. Примеры таких схем приведены на рис. 5.12. Согласно современным теориям химической кинетики превращение исходных реагентов (ИР) в продукты реакции (ПР) протекает через промежуточное состояние, называемое активированным комплексом (АК). В этом состоянии (АК) энергия системы максимальна.

Рассмотрим подробнее схемы, изображенные на рис. 5.12. Для того чтобы прошла прямая реакция, молекулы реагирующих веществ должны преодолеть энергетический барьер, т. е. перейти от состояния ИР к ПР через активированный комплекс (АК). Для этого молекулы должны обладать избытком энергии  $E_{\text{A},1}$ , который, согласно данному выше определению, представляет собой энергию активации прямой реакции (рис. 5.12).

Для протекания обратной реакции, т. е. перехода веществ из состояния ПР в ИР, молекулы ПР должны преодолеть энергетический барьер  $E_{\text{A},2}$  представляющий собой, очевидно, энергию активации обратной реакции.

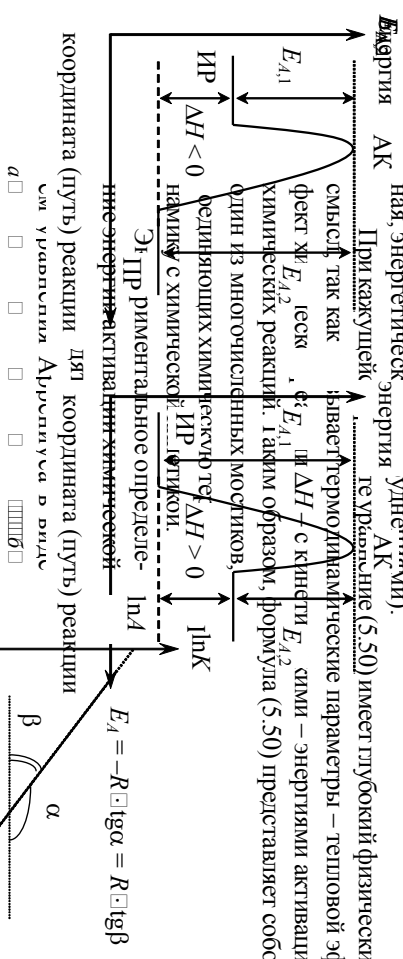
Разность между суммой энергий продуктов реакции (ПР) и суммой энергий исходных реагентов (ИР) представляет собой при  $r = \text{const}$  тепловой эффект химической реакции, которая протекает экзотермически ( $\Delta H < 0$ ), если в ходе реакции энергия веществ уменьшается (рис. 5.12, а) или эндотермически ( $\Delta H > 0$ ), если в ходе реакции энергия веществ увеличивается (рис. 5.12, б).

Как видно из рис. 5.12, между энергиями активации прямой ( $E_{\text{A},1}$ ) и обратной ( $E_{\text{A},2}$ ) реакций и между суммарным тепловым эффектом химической реакции ( $\Delta H$ ) имеется простая связь:

$$\Delta H = E_{\text{A},1} - E_{\text{A},2} \quad (5.50)$$

т. е. тепловой эффект химической реакции представляет собой разность между энергиями активации прямой и обратной реакций. В случае экзотермических реакций ( $\Delta H < 0$ )  $E_{\text{A},1} < E_{\text{A},2}$ , т. е. энергия активации прямой реакции меньше, чем обратной (иначе говоря, прямая реакция протекает с меньшими энергетическими затруднениями, нежели обратная).

Для эндотермических реакций ( $\Delta H > 0$ ) ситуация противоположна:  $E_{\text{A},1} > E_{\text{A},2}$ , т. е. энергия активации прямой реакции больше, чем обратной (иначе говоря, прямая реакция протекает с большими, чем обратная, энергетическими затруднениями).



ис. 5.12. К определению физического смысла энергии активации ( $E_{\text{A}}$ ), также взаимосвязи энергий активации прямой ( $E_{\text{A},1}$ ) и обратной ( $E_{\text{A},2}$ ) реакций с тепловым эффектом ( $\Delta H$ ) экзо- (а) и эндотермической (б) реакции: ИР – исходные реагенты; ПР – продукты реакции; 0 – АК – активированный комплекс

ческой реакции ( $\lambda$ ) при различных температурах ( $T$ ) (рис. 5.13). С помощью графика определение энергии активации химической реакции  $E_{\text{A}}$

**a**

Рис. 5.12. К определению физического смысла энергии активации ( $E_{\text{A}}$ ), а также взаимосвязи энергий активации прямой ( $E_{\text{A},1}$ ) и обратной ( $E_{\text{A},2}$ ) реакций: ИР – исходные реагенты; ПР – продукты реакции; 0 – АК – активированный комплекс

реакции: ИР – исходные реагенты; ПР – продукты реакции;

АК – активированный комплекс

ис. 5.13. Графическое определение энергии активации химической реакции  $E_{\text{A}}$

мощью данного графика можно определить также величину предэкспоненциального множителя в уравнении Аррениуса – по величине отрезка, отсекаемого прямой  $\ln K = f(1/T)$  на оси ординат. В другом случае  $E_A$  определяют аналитически, подставляя в уравнение (5.49) значения констант скорости химической реакции

при двух различных температурах ( $T_1$  и  $T_2$ ). Преобразовав уравнение (5.49) в виде (5.51)

$$K_{T_3} = K_{T_1} \cdot \exp \left[ \frac{E_A}{R} \cdot \left( \frac{1}{T_1} - \frac{1}{T_3} \right) \right], \quad (5.51)$$

или

с его помощью можно рассчитать константу скорости химической реакции при температуре  $T_3$ , для чего необходимо знать величину  $E_A$ , а также значение при любой температуре  $T_1$ .

## ЛИТЕРАТУРА

1. Курс физической химии / Под ред. Я. И. Герасимова. – М.: Химия, 1970. – Т. 1; 1973. – Т. 2.
2. Стромберг А. Г., Семченко Д. П. Физическая химия. – М.: Высшая школа, 1999.
3. Киреев В. А. Курс физической химии. – М.: Химия, 1975.
4. Даниэльс Ф., Олберти Р. Физическая химия. – М.: Мир, 1988.
5. Карапетянн М. Х. Химическая термодинамика. – М.: Химия, 1975.
6. Голиков Г. А. Руководство по физической химии. – М.: Высшая школа, 1988.
7. Глазов В. М. Основы физической химии. – М.: Высшая школа, 1981.
8. Киреев В. А. Краткий курс физической химии. – М.: Химия, 1978.
9. Физическая химия / Под ред. К. С. Краснова. – М.: Высшая школа, 1995.
10. Еремин В. М. Основы химической кинетики. – М.: Высшая школа, 1976.
11. Шмид Р., Салунов В. Н. Неформальная кинетика. – М.: Мир, 1985.
12. Петров Г. С., Паньков В. В., Карпович В. В. Введение в физическую химию. – Минск: УП «Технопринт», 2003. – Ч. 1.
13. Шершавина А. А. Физическая и коллоидная химия. – Минск:  $(K_{T_1} \text{ и } K_{T_2})$   
 $K_{T_3} = K_{T_1} \cdot \exp \left[ \frac{\text{Уравнение } 5.51}{R} \left( \frac{1}{T_1} - \frac{1}{T_3} \right) \right]$ , 1995.
14. А. А. Равделя, А. М. Пономаревой. – Л.: Химия, 1983.
15. Киселева Е. В., Карапетянн М. Х. Справочник физико-химических величин / Под ред. А. А. Равделя, А. М. Пономаревой. – Л.: Химия, 1983.
16. Задачи по физической химии / В. В. Еремин, С. И. Карапетянн, Н. Е. Кузьменко, В. В. Лунин. – М.: Экзамен, 2002.
17. Практические работы по физической химии / Под ред. К. П. Мищенко, А. А. Равделя, А. М. Пономаревой. – Л.: Химия, 1982.
18. Дудчик Г. П., Жарский И. М. Равновесная электрохимия. Электроды и гальванические элементы. – Минск: БГТУ, 2000.
19. Дудчик Г. П., Жарский И. М. Термодинамика химического равновесия. – Минск: БГТУ, 2004.

## СОДЕРЖАНИЕ

<b>Предисловие</b> .....	3
<b>1.Основы химической термодинамики</b> .....	4
1.1. Основные понятия химической термодинамики .....	5
1.2. Первый закон термодинамики. Внутренняя Энергия, теплota, работа .....	7
1.3. Темпoта процессов при постоянном объеме ( $Q_v$ )	
и постоянном давлении ( $Q_p$ ). Связь между $Q_v$ и $Q_p$ для химических реакций .....	9
1.4. Расчет стандартного теплового эффекта химической реакции. Закон Гесса, следствия из него .....	11
1.5. Теплоемкость вещества при постоянном объеме и давлении ...	13
1.6. Зависимость теплового эффекта химической реакции от температуры. Уравнение Кирхгофа .....	15
1.7. Самопроизвольные и несамопроизвольные процессы. Второй закон термодинамики .....	18
1.8. Расчет изменения энтропии в различных процессах .....	21
1.9. Третий закон термодинамики. Постулат Планка. Абсолютная энтропия вещества, ее экспериментальное определение .....	24
1.10. Расчет изменения энтропии химической реакции при различных температурах .....	25
1.11. Термодинамические потенциалы .....	26
1.12. Характеристические функции. Уравнения Гиббса – Гельмгольца .....	31
1.13. Понятие о химическом потенциале .....	33
<b>2.Химическое равновесие</b> .....	36
2.1. Понятие о химическом равновесии. Константа равновесия химической реакции, способы ее выражения .....	36
2.2. Уравнение изотермы химической реакции .....	41
2.3. Вычисление состава равновесной смеси, равновесной степени превращения исходных реагентов и равновесного выхода продукта реакции .....	45
2.4. Зависимость константы равновесия химической реакции от температуры. Уравнение изобары Вант–Гоффа .....	48
2.5. Влияние различных факторов на положение химического равновесия. Принцип Ле Шателье .....	52
<b>3.Фазовое равновесие</b> .....	57
3.1. Фазовое равновесие. Основные понятия и определения .....	57
3.2. Условия равновесия в гетерогенных системах. Правило фаз Гиббса .....	60
3.3. Фазовые равновесия в однокомпонентных системах. Уравнение Капелейрона – Клаузуса .....	62
3.4. Диаграммы состояния однокомпонентных систем .....	67
3.5. Фазовое равновесие в двухкомпонентных системах. Идеальные и реальные растворы .....	70
3.6. Давление насыщенного пара над раствором. Закон Рауля. Закон Генри .....	74
3.7. Диаграммы состояния двухкомпонентных систем типа «жидкость – пар». Правило рычага. Законы Коновалова .....	77
3.8. Диаграммы состояния двухкомпонентных систем типа «твердое тело – жидкость» (диаграммы плавкости) .....	90
3.8.1. Диаграмма плавкости двухкомпонентной системы с неограниченной взаимной растворимостью компонентов в твердом и жидком состояниях .....	91
3.8.2. Диаграмма плавкости двухкомпонентной системы электтического типа .....	92
3.8.3. Диаграмма плавкости двухкомпонентной системы перитектического типа .....	94
3.8.4. Диаграмма плавкости двухкомпонентной системы с образованием конгруэнтно плавящегося химического соединения .....	96
3.8.5. Диаграмма плавкости двухкомпонентной системы с образованием инконгруэнтно плавящегося химического соединения .....	97
4.Электрохимия	99
4.1. Предмет электрохимии. Сильные и слабые электролиты. Закон разведения Остwaldа .....	99
4.2. Сильные электролиты. Активность, средние ионные активности и коэффициент активности. Ионная сила раствора .	102
4.3. Удельная, молярная и эквивалентная электрическая проводимость. Закон Кольрауша .....	105
4.4. Электроды. Электродные потенциалы .....	113
4.5. Классификация электродов .....	117
4.5.1. Электроды I рода .....	117

4.5.2. Электроды II рода .....	120
4.5.3. Окислительно-восстановительные электроды .....	122
4.6. Гальванические элементы. Электродвижущая сила гальванического элемента .....	123
4.7. Классификация гальванических элементов .....	125
4.7.1. Химический гальванический элемент с переносом ..	126
4.7.2. Химический гальванический элемент без переноса ...	128
4.7.3. Концентрационный гальванический элемент с переносом .....	130
4.7.4. Концентрационный гальванический элемент без переноса .....	133
4.8. Термодинамика гальванического элемента .....	134
<b>5.Химическая кинетика .....</b>	<b>136</b>
5.1. Предмет химической кинетики. Основной постулат химической кинетики .....	136
5.2. Применение основного постулата химической кинетики к необратимым реакциям .....	144
5.2.1. Необратимые реакции 0-го порядка .....	145
5.2.2. Необратимые реакции 1-го порядка .....	146
5.2.3. Необратимые реакции 2-го порядка .....	148
5.2.4. Необратимые реакции 3-го порядка .....	150
5.2.5. Необратимые реакции $n$ -го порядка .....	151
5.3. Методы определения порядка реакции .....	152
5.3.1. Метод подбора (подстановки) .....	154
5.3.2. Графический метод .....	155
5.3.3. Метод периода полупревращения .....	156
5.3.4. Дифференциальный метод Вант-Гоффа .....	158
5.4. Зависимость скорости и константы скорости химической реакции от температуры. Правило Вант-Гоффа.....	160
5.5. Уравнение Аррениуса. Энергия активации химической реакции, ее экспериментальное определение .....	161
<b>Литература .....</b>	<b>165</b>

Учебное издание

Кильдиюк Андрей Иванович  
Петров Геннадий Стефанович

## ФИЗИЧЕСКАЯ ХИМИЯ

Тексты лекций

Редактор *Е.И. Гоман*  
Компьютерная верстка *О.Ю. Шантарович*

Подписано в печать 07.09.2006. Формат  $60 \times 84^{1/16}$ .

Бумага офсетная. Гарнитура Таймс. Печать офсетная.

Усл. печ. л. 9,8 Уч.-изд. л. 10,1.

Тираж 300 экз. Заказ

Учреждение образования

«Белорусский государственный технологический университет».  
220050. Минск, Свердлова 13а.

ЛИ № 02330/0133255 от 30.04.2004.

Отпечатано в лаборатории полиграфии учреждения образования  
«Белорусский государственный технологический университет».  
220050. Минск, Свердлова, 13.

ЛП № 02330/0056739 от 22.01.2004.













